



報告番号 乙第ノ五二三

主論文

光学活性コバルト(Ⅲ)錯陽イオンの立体選択性
および光学活性陰イオンとの立体選択性的
イオン会合に関する研究

藤田美保

目 次

I. トリスジアミンコバルト(Ⅲ)錯体の、 L-酒石酸イオンとの間
の立体選択性的イオン会合

1. 序論 (1)

2. 水素交換速度における立体選択性と、イオン会合定数 (7)
の決定

2.1 実験

2.2 結果

2.3 考察

3. ^{13}C NMRの化学シフトにおけるイオン会合の影響 (28)

3.1 実験

3.2 結果と考察

4. SP-セファデックスカラムクロマトグラフィーにおける溶
離順とイオン会合の関係 (34)

4.1 実験

4.2 結果と考察

5. トリスジアミンコバルト(Ⅲ)錯体のCDスペクトル変化に
おける立体選択性 (42)

5.1 実験

5.2 結果

5.3 考察

6. 結論 (59)

II. 立体選択性イオン会合の応用：光学活性イオン交換体の合成とカラムクロマトグラフ法による金属錯体の分割への応用

1. 序論 (64)

2. L-酒石酸基をイオン交換基とする光学活性セファデックスイオン交換体(TA-セファデックス)の合成 (71)

2.1 実験

2.2 結果と考察

3. TA-セファデックスカラムによる $[Co(en)_3]^{3+}$ 錯体の直接分割と TA-セファデックスへの吸着状態の安定性 (80)

3.1 実験

3.2 結果と考察

4. D-酒石酸基をイオン交換基とする光学活性セファデックスイオン交換体(D-TA(ES)-セファデックス)の合成とその応用 (88)

4.1 実験

4.2 結果と考察

5. 結論 (102)

III. サルコシナトビス(エチレンジアミノ)コバルト(IV)錯体の立体

選択性と立体選択性イオン会合

1. 序論 (104)

2. 実験 (109)

3. 結果と考察 (114)

3.1 クロマトグラフィーにおける挙動と異性体の同定

3.2 各異性体の吸収スペクトルとCDスペクトル

3.3 ^{13}C NMRスペクトル

3.4 変旋光速度 (エビ化速度をもつサルコシナトの
窒素原子のまわりの絶対配置の反転速度)

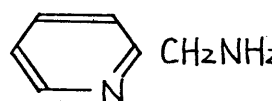
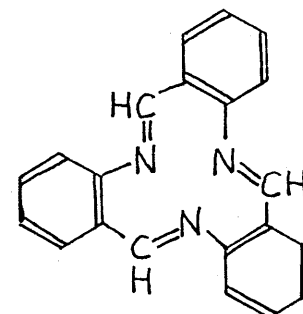
3.5 平衡時における異性体存在比と立体選択性イオン
会合

4. 結論 (145)

IV. 文献 (および副論文と参考論文のリスト)

(148)

本文中に使用される配位子の略号とその化学式

Abbreviation	Formula
acac	$\text{CH}_3\text{COCH}_2\text{COCH}_3$
N-Meala	$\text{CH}_3\text{NHCH}(\text{CH}_3)\text{COO}^-$
dien	$\text{H}_2\text{NCH}_2\text{CH}_2\text{NHCH}_2\text{CH}_2\text{NH}_2$
edta	$(\text{OOCCH}_2)_2\text{NCH}_2\text{CH}_2\text{N}(\text{CH}_2\text{COO}^-)_2$
en	$\text{H}_2\text{NCH}_2\text{CH}_2\text{NH}_2$
gly	$\text{H}_2\text{NCH}_2\text{COO}^-$
pic	
pn	$\text{H}_2\text{NCH}(\text{CH}_3)\text{CH}_2\text{NH}_2$
sar	$\text{CH}_3\text{NHCH}_2\text{COO}^-$
sen	$\text{CH}_3\text{C}(\text{CH}_2\text{NHCH}_2\text{CH}_2\text{NH}_2)_3$
tmd	$\text{H}_2\text{NCH}_2\text{CH}_2\text{CH}_2\text{CH}_2\text{NH}_2$
tn	$\text{H}_2\text{NCH}_2\text{CH}_2\text{CH}_2\text{NH}_2$
TRI	

I. トリスジアミンコバルト(Ⅲ)錯体の、L-酒石酸イオンとの間の立体選択性的イオン結合

1. 序論

光学異性体（対掌体あるいは鏡像体）は、互いの間で化学的、物理的性質が等しくて区別できないものである。これらは不斉な場におかれてはじめて区別ができるものである。この時不斉な場における光学異性体のおのが異なる性質を示すことをここでは立体選択性といふ。したがって後の章で述べる、同一分子内での立体規制によっていくつか配置（構造）をとることが可能にもかかわらず特定の構造のものだけを生成したりあるいはしなかつたりする場合の立体選択性とは明らかに異ったものである。

あらゆる種類の不斉の場においてある特定の光学異性体の組が同程度に立体選択性を示すというわけではなく、特定の不斉条件のもとでこの光学異性体間の立体選択性の差が拡大されるのである。今回の研究では問題となる光学異性体はトリスジアミン型のコバルト(Ⅲ)錯体であり、水溶液中で他の光学活性体が共存する場合のこれらの光学活性錯陽イオンの挙動をとりあつかう。

トリスエチレンジアミンコバルト(Ⅲ)錯体、 $[Co(en)_3]^{3+}$ 、はL-酒石

酸イオンと $[Co(en)_3]X$ (L-tartrate) 型^{*1)} (X はハロゲンイオン) のジアステレオマーをつくり、 Λ 異性体の塩は Δ 異性体のそれと比べて水に対する難溶性である。このことを利用して Werner が $[Co(en)_3]^{3+}$ を光学活性体に分割して以来(1912年)¹⁾、この $[Co(en)_3]^{3+}$ の例は非常によく知られた立体選択性の例である。すなちジアステレオマーが結晶する時に、錯体の Λ 異性体は Δ 異性体に比べて L-酒石酸イオンとの間で特別な相互作用が働くと考えられるのである。このように光学活性イオン間で、一方の対掌体のみが難溶性塩を形成する例は他にも多数存在し、それらは対掌体の分割に利用された。たとえば $(+)\text{546}-[\text{Co(edta)}]^-$ は $(-)\text{546}-[\text{Co(edta)}]^-$ に比べて $(+)\text{D}-[\text{Co}(\text{NO}_2)_2(\text{en})_2]^+$ と同様難溶性のジアステレオマーをつくるのもその一つの例である。ここの難溶性ジアステレオマーを形成する光学活性体の組合せは錯体の分割目的のためにどういった経験的に知られたものであるかについては一方の対掌体のジアステレオマーが難溶性になるかについこの原因是不明であった。

1966年に存する Mason は水溶液中における陰イオン添加時の CD スペクトル変化の原因を説明するためトリスジアミン金属錯体と酸素酸イオンとの結合に関する一つのモデルを提案した。²⁾ すなちトリスジアミン錯体の三回軸方向に配列した三本の N-H

*1) ここで L-tartrate (L-酒石酸イオン) は $(+)\text{D}-\text{C}_4\text{H}_4\text{O}_6^{2-}$ あるいは $2\text{R}, 3\text{R}-\text{C}_4\text{H}_4\text{O}_6^{2-}$ を示す。

が酸素酸イオンたとえば PO_4^{3-} イオンの三個の酸素と水素結合を通じてイオン対を形成するという考え方である。Saito は $\text{Z}(\text{+})\text{D}^-[\text{Co}(\text{en})_3]^{3+}$ (1957年)³⁾ と $(-\text{D})\text{Z}[\text{Co}\{(-)\text{pn}\}_3]^{3+}$ (1966年)⁴⁾ の絶対構造が X 線結晶解析により決定され、CDスペクトルと絶対構造との対応がつけられたことによってこの Mason はの研究後トリスジアミン錯体の立体選択性に関する研究が多くなされるようになつた。

Ogino は水溶液中で磷酸イオン、酒石酸イオンを過剰に共存させた時光学活性 $[\text{Co}(\text{en})_3]^{3+}$ と L-光学活性 $[\text{Co}(\text{pn})_3]^{3+}$ の電荷移動吸収帯における吸光度増加の測定を行ふべく解析から $[\text{Co}(\text{en})_3]^{3+}$ あるいは $[\text{Co}(\text{pn})_3]^{3+}$ とこれら陰イオンとの間のイオン会合定数を求めた (1967, 1969年)⁵⁾。この結果 L- $[\text{Co}(\text{en})_3]^{3+}$ と L-酒石酸イオンとの間の 1:1 イオン会合定数は L- $[\text{Co}(\text{en})_3]^{3+}$ のそれに比べて大きいという結果が得られ、水溶液中においても L-酒石酸イオンはジアステレオマー形成時と同様 A異性体とより強い相互作用を保持していることが明らかとなつた。彼はまた Mason はと同様 L-酒石酸イオンと共存させた時の ORD, CDスペクトル変化を測定し、これらにおけるも $[\text{Co}(\text{en})_3]^{3+}$ の L-酒石酸イオンに対する立体選択性が観測されることを見出している。

このような水溶液中における L-酒石酸イオンに対する光学活性 $[\text{Co}(\text{en})_3]^{3+}$ イオンの立体選択性の存在は、筆者らの初期の実験⁶⁾

すなはち重水溶液中で L-酒石酸イオンと共存させた状態での光学活性 $[Co(en)_3]^{3+}$ のアミノ基の水素交換速度の測定結果からも認められた。この結果によると同条件下で A 型異性体の場合の水素交換速度は D 型異性体の場合の三倍よりも小さくなる (1969年)。

こゝに加えて Yoneda は電気泳動の実験から L-酒石酸イオン共存時の $[Co(en)_3]^{3+}$ の立体選択性を、あわおの対掌体における泳動距離の差として観測した (1970, 1972年)⁷⁾。ただしこのような結果は Al^{3+} イオンが支持電解質溶液中に含まれてない時には見られないことから、純粋に $[Co(en)_3]^{3+}$ と L-酒石酸イオンの間の相互作用による立体選択性であるとはいえないであろう。

Norden は測定条件 (濃度比) を変えて Ogino との追試を行なった結果、 $[Co(en)_3]^{3+}$ は酒石酸イオンと 1:1 の外因イオン対を形成しやはり他の型のイオン対たゞえは 1:2 型のイオン対は存在しないことを確かめた (1972年)⁸⁾。そしてイオン会合定数として Ogino と同様の値を得た。彼はまた同時に CD スペクトル変化からもイオン会合定数を求めたがこゝには吸収スペクトルの測定から得られた値よりも小さな (約 0.6倍) ものがあった。

このように光学活性 $[Co(en)_3]^{3+}$ イオンと L-酒石酸イオン間のイオン会合に関する $[Co(en)_3]^{3+}$ の光学異性体間の立体選択性はイオン会合定数の数値の差として得られたが、しかしこの立体選

沢的イオン対形成の原因あるいは構造についてはほとんど言及されなく明るかではない。しかし Ogino らは⁵⁾このことにふれてくる。すなはち L-酒石酸イオンにおけるニコッカルボキシル基の酸素が $[Co(en)_3]^{3+}$ の三回軸方向にのびた N-Hとの水素結合にあたかり、ニコッカルボキシル基のトランス位にしたゴーシュ構造の L-酒石酸の $-OOC-C-COO^-$ が右向きのらせん状に配置していることが $[Co(en)_3]^{3+}$ との立体選択性イオン結合に重要な意味をもつてゐる。彼らはまた光学活性 $[Co(pn)_3]^{3+}$ と L-酒石酸イオンの結合定数を求めている。この結果によると $\Lambda-[Co\{(t)pn\}_3]^{3+}$ ($\Lambda-lb_3$) の結合定数は $\Lambda-[Co(en)_3]^{3+}$ に比べて少々大きいことに対する $\Delta-[Co\{(t)pn\}_3]^{3+}$ ($\Delta-0b_3$) は $\Lambda-lb_3$ 錯体に比べて約 $1/4$ と非常に小さい。アロビレンジアミンのメチル基は両者ともエオトリアル位にある三回軸方向における立体障害の原因とはならぬが、このことは $\Delta-0b_3$ 異性体のアミノ基の水素の配向と関係づけることが起きるかもしれない。すなはち $\Delta-0b_3$ 異性体における構造上 $\Lambda-lb_3$ 異性体と異なり錯体の三回軸に対する N-H基の平行性は著しく低く三回軸方向から接近する陰イオンとの水素結合には不利であることが説明づけることが可能である。

これらのことからトリスジアミンコバルト(III)錯陽イオンは酒石酸とのイオン対形成におけるモリン酸イオン、硫酸イオンと同様

先に述べた "Mason モデル" と類似の水素結合形成が起こることを
予想することは妥当であろう。 L-酒石酸イオンの場合にはこ
こで水素結合の構造が立体選択性の重要な原因の一つであることが
推定される。 上で述べた水素交換速度の測定結果もこの推定を支
持するものの一つである。

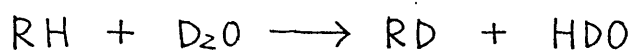
このような観点に立って以下の実験を行なったがこれらの主
な目的は次のようである。

- i) 重水溶液中にある水素交換速度の測定から光学活性 $[Co(en)_3]^{3+}$
のアミノ基の水素の挙動に関する知見を得ること。
- ii) トリスジアミンコバルト(Ⅲ)錯体の ^{13}C NMR における化学シフ
ト値変化と、 SP-セファデックスカラムクロマトグラフィーにおける溶
離順からここの錯体(異性体)のアミノ基の配向とイオン対形成能
(イオン対の安定性)の関係を得ること。
- iii) L-酒石酸イオンを含む類似ジカルボン酸イオンと共存させた
時の光学活性トリスジアミンコバルト(Ⅲ)錯体の CD スペクトル変
化の比較を通して考察から L-酒石酸イオンにおける水素結合様式に
関する知見を得ることである。

これらのことからトリスジアミンコバルト(Ⅲ)錯体(特に
 $[Co(en)_3]^{3+}$)と L-酒石酸イオン間の立体選択性的イオン結合の機構を
明らかにすることを本研究の目的とした。

2. 水素交換速度における立体選択性と イオン会合定数の決定

配位子に交換可能な水素（ここでは対象となるものはアミノ基の水素）を含む金属錯体（RHとする）を過剰の重水（D₂O）に溶解した時次のような同位体交換反応が起こる。



この時の交換反応速度は温度が同じであればこゝの水素の解離のしやすさに依存する。すなはちアミノ基の水素の酸性度に影響を与える要素に依存して異なるであろう。そこでこのような水素交換速度を測定することにより、アミノ基の水素の挙動いわばは錯体の水溶液中の挙動に関する知見が得られる可能性がある。本実験ではコバルト(Ⅲ)錯陽イオン、主として [Co(en)₃]³⁺、における交換速度の測定を行ない、こゝに及ぼす光学活性陰イオン添加の効果から錯陽イオンの立体選択性的イオン会合、特に光学活性 [Co(en)₃]³⁺ と L-酒石酸イオン間の立体選択性的イオン会合、に関する知見を得ることを目的とする。

2.1 実験

2.1.1 試料

トリスエチレンジアミンコバルト(Ⅲ)臭化物、[Co(en)₃]Br₃ · H₂O：

通常の方法によりラセミ体を合成し、又かさ L-酒石酸および D-酒石酸を用いて Busch の方法⁹⁾にしたがって $\Lambda(+)_D - [Co(en)_3]Br_3 \cdot H_2O$ と $\Delta(-)_D - [Co(en)_3]Br_3 \cdot H_2O$ に分離した。又かさの比旋光度、 $[\alpha]_D$ 、は $+125^\circ$ と -124° であった。

シスジニトロビスエチレンジアミンコバルト(IV)塩化物、cis-[$Co(NO_2)_2(en)_2$]Cl：ラセミ体を $K_3[Co(NO_2)_6]$ から合成し、これを L-タルトラクトアンチモン酸カリウム、 $K_2[Sb_2(L-C_4H_2O_4)_2]$ を用いて分離した。¹⁰⁾ 得られた $\Lambda(+)_D$ および $\Delta(-)_D - [Co(NO_2)_2(en)_2]Cl$ の比旋光度はそれぞれ $+43^\circ$ 、 -42° であった。

$(-)_D -$ エチレンジアミンテトラアセタトコバルト(IV)酸カリウム、 $(-)_D - K[Co(edta)] \cdot 2H_2O$ ：文献¹¹⁾ に従って合成して分離を行なった。得られたものの比旋光度、 $[\alpha]_{D46}$ 、は -1090° であった。測定時には五酸化リンを入れた真空デシケーター中で脱水したものを利用した。

L-酒石酸、L-酒石酸ナトリウム、フマル酸、フマル酸ナトリウム：市販の特級品を重水より再結晶(ニ氷酸基にしてカルボキシル基の水素を重水素化した後試料として用いた)。

重水(D_2O)：E. Merck 社製の含有率が 99.75% のものを用いた。

2.1.2 重水緩衝溶液

重酢酸緩衝溶液： 重酢酸重水溶液 (CH_3COOD , D_2O) に無水酢酸ナトリウムを適当量加えて pH 4.7~6.3 (この pH 値は後述するよろにみかけの pH, "apparent pH" である) の緩衝溶液とした。以下ではこの緩衝溶液を単に酢酸バッファーといふ。

重酒石酸緩衝溶液、重フマル酸緩衝溶液： 重水中に一定の割合で L-酒石酸とそのナトリウム塩を溶かして pH 一定の重酒石酸緩衝溶液を作製した。同様に重フマル酸とのナトリウム塩で重フマル酸緩衝溶液を作製した。これらを以下では酒石酸バッファー、フマル酸バッファーとよぶ。

2.1.3 測定装置

pH 測定： Hitachi-Horiba M-5型 pH X-タ- を用いた。測定誤差は pH 単位で ± 0.03 である。

比旋光度測定： 自動記録式の JASCO ORD/UV-5 により 1cm 石英セルを用いて測定した。

近赤外吸収スペクトル存さばに HDO による吸収の測定： ガラスアリズムのダブルモノクロメータ-MM12 を備えた Carl-Zeiss PMQ II型分光光度計により 0.1 cm あるいは 1.0 cm の石英セルを用いて測定した。

2.1.4 測定条件および方法

試料溶液の pH 測定： 通常の二種の標準緩衝液 (pH 4.01 と

pH 6.86) で調整した pH メーターを用い各測定試料溶液につけて
25°C で測定を行なった。この時得られた pH 値 (こちを以下では apparent pH と記す) と pD 値の間に次のような関係がある。⁽¹²⁾

$$pD = \text{apparent pH} + 0.40 \quad (25^\circ\text{C}, 99.5\% \text{ D}_2\text{O}) \quad (1)$$

この式で補正值 0.40 のかわりに Mikkelsen では 0.44 (22°C,
98% D₂O) の値を用いていますが、⁽¹³⁾ ここでは条件がより近いこと
から上のような Glasoe の補正式(1)を用います。こち
が重水溶液の測定で pH であるのは特に断りしない限り
"apparent pH" のことである。

水素交換速度の測定：重水中で水素交換反応が起こると HOD
が生成する (H 含有率が D₂O 中で大きくなる場合には H₂O が存在
しないが今回の実験条件のもとではこの H₂O の生成は無視
できる)。この HOD は水の近赤外吸収スペクトル (Fig. 1) から
わかるように 6000 cm⁻¹ 附近に比較的鋭い吸収極大 (O-H による
V₁ + V₃ の吸収) を示す。そこで水素交換速度はこの 6000 cm⁻¹ における
HOD の吸光度増加速度を測定することによって得られた。

測定操作は以下の通りである。

- i) 密栓が付いたサンプル瓶に緩衝溶液を約 3 ml はかりとり
25.0°C に保つておく (共存させる塩についてはあらかじめこの溶
液に一定量溶解させておく)。別に試料錯塩を一定量 (錯塩の種

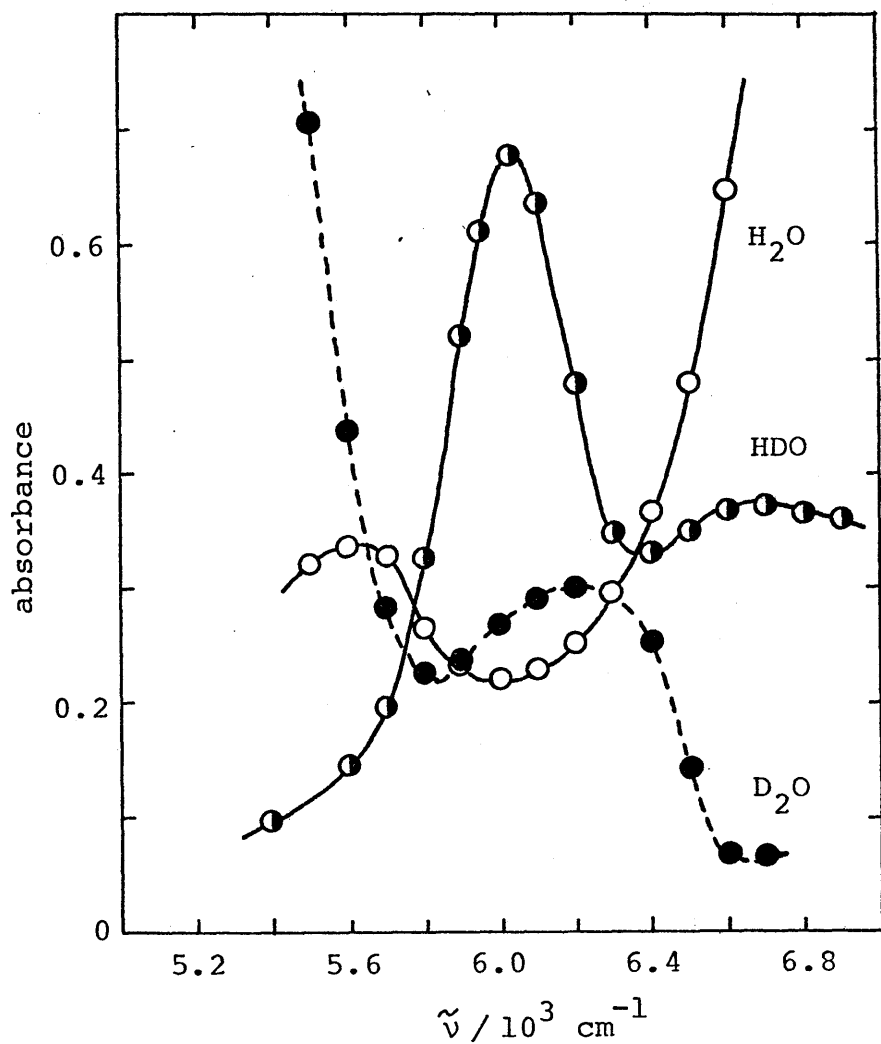


Fig. 1. Near infrared absorption spectra of water:
 ○, H_2O (0.1 cm cell, ref.: D_2O); ●, D_2O (1.0 cm, air); ⊖, HDO ($\sim 12\%$) [$\text{H}_2\text{O}-\text{D}_2\text{O}$ (6 : 94)] (1.0 cm, D_2O).

類により異なるが約 50 mg) はかりとておく。

ii) 試料錯塩をサンプルバン中の緩衝溶液に投入し溶解させる。

この時を時間 0 として反応時間の測定を開始する。

iii) 溶液をすり合せふた付きの 1.0 cm 石英セルに移し、これを
25.0 ± 0.1 °C に保ったセルホルダーに固定 ($\approx 6000 \text{ cm}^{-1}$) における吸光度 (A_t) を、1.0 cm セルに入れた D_2O を対照溶液として測定する。単一の交換速度をもつ試料についてはほぼ 10 分後 (ここでこれは半減期を示す) の吸光度を A_∞ とし、他のものについでは吸光度一定となつたと思われるところを A_∞ 値とした。

本実験のような重水素同位体交換反応は一次反応であるから次の速度式が成り立つ:¹⁴⁾

$$\ln(A_\infty - A_t) = -kt + c \quad (2)$$

ここでは A_t , A_∞ は時間 t , ∞ における HOD の濃度もしくはこへに比例する量である。本測定においては HOD 吸収ピークの吸光度である。 (2) 式により $\ln(A_\infty - A_t)$ の値を時間 t に対してプロットすることによって直線のこうばいから速度定数 k が求められる。

2.1 結 果

$[\text{Co}(\text{en})_3]^{3+}$ の場合重水中で重水素と交換するのはアミノ基の水素 12 個である。酢酸バッファー中と、このバッファー中に上酒石酸ナト

Table 1. First-order rate constants of hydrogen-deuterium exchange reactions of $[\text{Co}(\text{en})_3]^{3+}$ and $[\text{Co}(\text{NO}_2)_2(\text{en})_2]^+$ in D_2O solutions^{a)}

$[\text{Co}(\text{en})_3]^{3+}$ (0.03 M)		$10^4 k / \text{s}^{-1}$	
$[\text{L-tartrate}] / \text{M}$	pH ^{b)}	Λ	Δ
0.00	4.75	6.70	6.69
0.10	5.37	9.61	10.8
$[\text{Co}(\text{NO}_2)_2(\text{en})_2]^+$ (0.04 M) ^{d)}		$10^5 k / \text{s}^{-1}$	
$[\text{L}-[\text{Co}(\text{edta})]^-] / \text{M}^{\text{c)}$	pH ^{b)}	Λ	Δ
0.000	6.29	12.0	12.0
0.035	6.07	1.93	2.25

a) Acetate buffer solutions.

b) Apparent pH values of D_2O solutions (see text).

c) $(-)_{546}^{\text{-}}[\text{Co}(\text{edta})]^-$.

d) Smallest rate constants (see text).

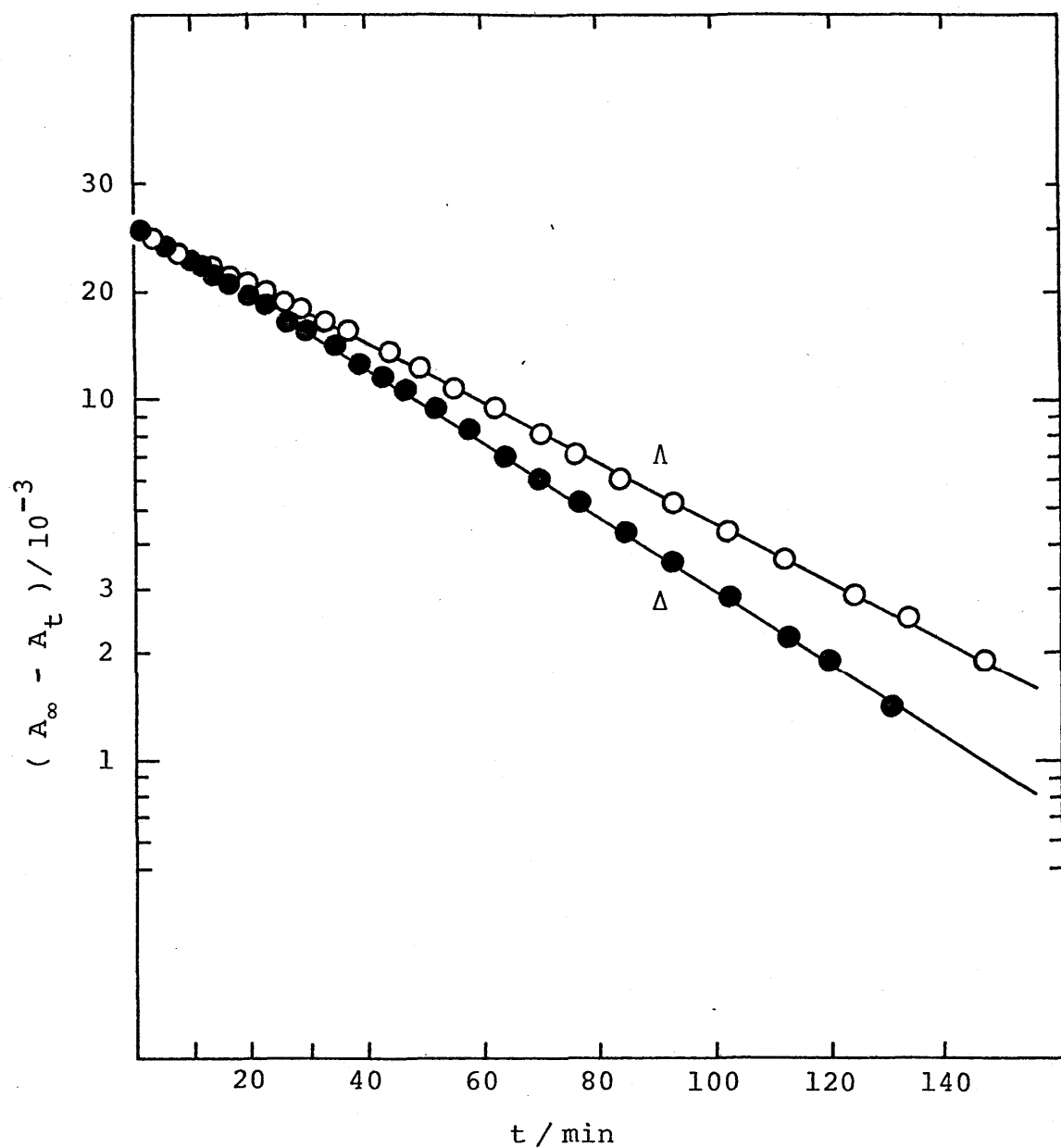


Fig. 2. Rates of hydrogen-deuterium exchange of $[\text{Co}(\text{en})_3]^{3+}$ (0.03 M) in the presence of L-tartrate ions (0.15 M): \circ , A-complex; \bullet , Δ -complex.

リウムを共存させた時、この錯体におけるアミノ基の水素交換速度の測定結果を Table 1 に、 $(-)$ -L-酒石酸バッファー中の測定の一例を Fig. 2 に示す。この図からわかるようにプロットはかなりよく(多くとも 3~4 大きさの範囲)直線上にある。

酢酸バッファー中ではすなはち L-酒石酸イオンの存在しない時には Δ 錯体と Λ 錯体は同一の速度を示すが、L-酒石酸イオンの存在のもとでは両者の間でさがいが見られ、 Λ 差性体の方が Δ 差性体に比べて交換が遅くなっている。このような水素交換反応速度における立体選択性は $(-)$ -546-[Co(edta)]⁻ を共存させた場合の *cis*-[Co(NO₂)₂(en)₂]⁺ のアミノ基の水素の交換速度におけるも観測された(Fig. 3, Table 1)。*cis*-[Co(NO₂)₂(en)₂]⁺においてはアミノ基の 8 倍の水素がすべて等価ではない。このことは Fig. 3 からわかるように單一の速度を示さないことにもう少しもあり、少くとも二以上の中交換速度がこの錯体には存在している。Table 1 に示したものは Λ とも Δ とも交換反応に対応する速度定数である。この速度はトリエニトロ基に対する *cis* 位にあるアミノ基の水素交換に対応するものである。¹⁵⁾

一方、酢酸バッファー中で $(-)$ -546-[Co(edta)]⁻ を共存させた場合 [Co(en)₃]³⁺ の水素交換速度測定結果を Table 2 に示す。この結果から $(-)$ -546-[Co(edta)]⁻ が存在する場合、全体として速度は小さく

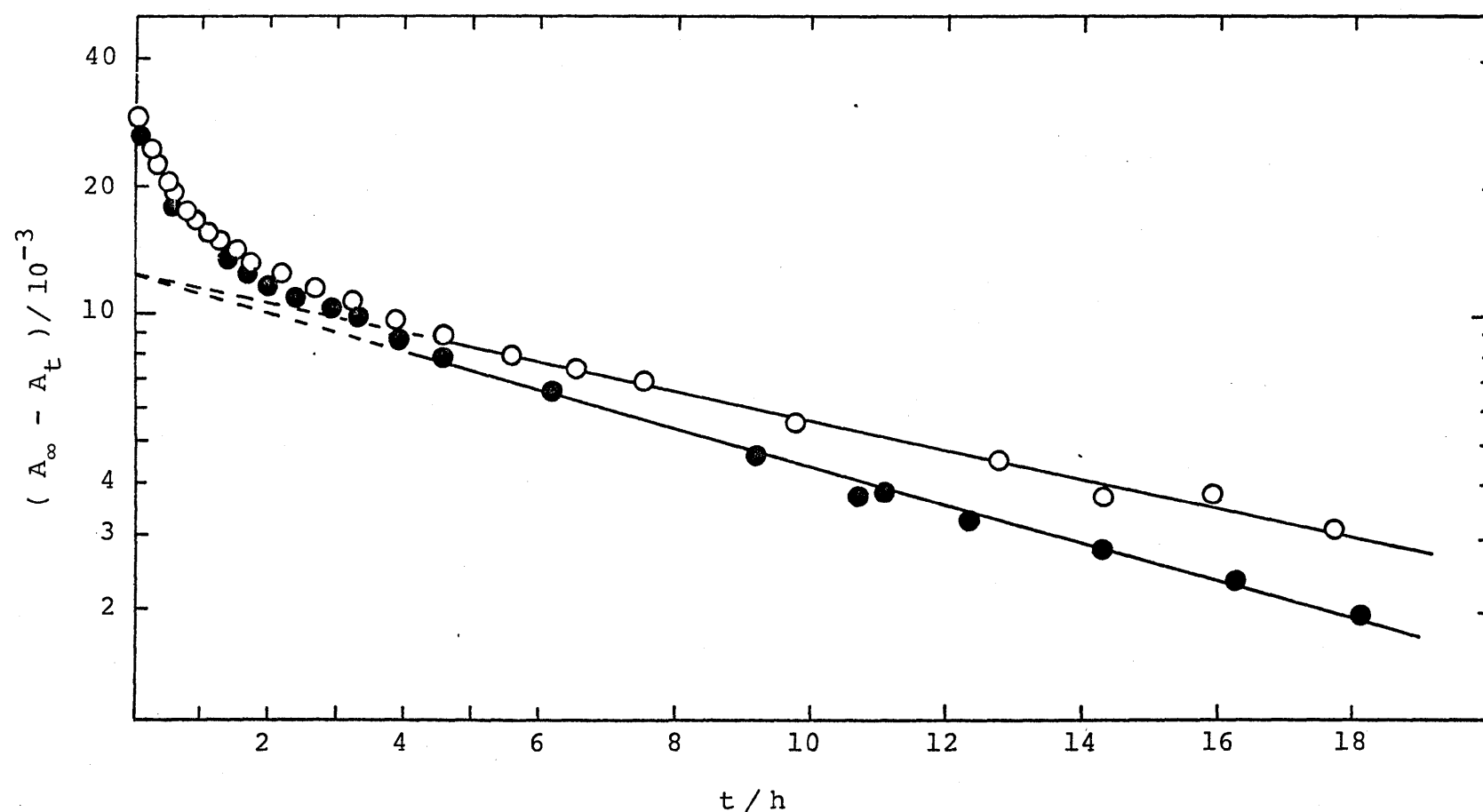


Fig. 3. Rates of hydrogen-deuterium exchange of $[\text{Co}(\text{NO}_2)_2(\text{en})_2]^+$ (0.04 M) in the presence of $(-)_{546}^{\text{-}}[\text{Co}(\text{edta})]^-$: ○, A-complex; ●, Δ -complex.

Table 2. First-order rate constants of hydrogen-deuterium exchange reaction of $[\text{Co}(\text{en})_3]^{3+}$ (0.03 M) in D_2O solutions^{a)}

$[\text{L}-[\text{Co}(\text{edta})]^-]/\text{M}$ ^{b)}	pH ^{c)}	$10^4 k/\text{s}^{-1}$	
		Λ	Δ
0.00	4.75	6.70	6.69
0.03	4.76	4.57	4.51

a) Acetate buffer solutions.

b) $(-\text{)}_{546}^{-} [\text{Co}(\text{edta})]^-$.

c) Apparent pH values of D_2O solutions (see text).

なるが $[Co(en)_3]^{3+}$ の Λ , Δ 異性体の間の交換速度定数に有意の差は見られないことがわかる。

pH を一定に調整して濃度を変化させた L-酒石酸バッファーおよびマル酸バッファー中で得られた $\Lambda - \Delta - [Co(en)_3]^{3+}$ の交換速度定数を Table 3 に示す。両バッファーとも濃度が増加するほどもに速度定数は減少しているが L-酒石酸イオンの場合の方がこの効果は大きい。L-酒石酸イオンが共存する時にはいずれも Λ 異性体が Δ 異性体に比べて速度減少の割合が大きく、水素交換反応速度の測定からも L-酒石酸イオンの $[Co(en)_3]^{3+}$ の各光学異性体に対する立体選択性が存在することは確かである。

2.3 考 察

序論でも述べたように $[Co(en)_3]^{3+}$ と酒石酸イオンなどに cis- $[Co(NO_2)_2(en)_2]^+$ × $[Co(edta)]^-$ の光学活性イオンの組み合せは立体選択性を示すことが古くから知られる例である。すなはち $\Lambda - [Co(en)_3]^{3+}$ と L-酒石酸イオンなどに $\Lambda - [Co(NO_2)_2(en)_2]^+$ × (-)546- $[Co(edta)]^-$ は他の対掌体の組み合せに比べていつも難溶性のジアステレオマーをつくることからわかるようにこねる光学活性イオン間にはより強い相互作用が働くことと推定される。水素交換反応の実験結果もこのことよく対応し、L-酒石酸イオンが

共存する場合には $\text{L}-[\text{Co}(\text{en})_3]^{3+}$ の異性体の方が、また $(-)_{546}-[\text{Co}(\text{edta})]^-$ が共存する場合には $\text{L}-[\text{Co}(\text{NO}_2)_2(\text{en})_2]^+$ が三次元の他の異性体に比べて大きく共存イオンの影響を受けて交換速度の減少を示している。一方、光学活性イオンが共存した場合でも $(-)_{546}-[\text{Co}(\text{edta})]^-$ の共存は $[\text{Co}(\text{en})_3]^{3+}$ の水素交換速度に対して予期どおりこの異性体間に差異を与えないことから、水素交換反応において見られた立体選択性は水溶液中の光学活性イオン間の相互作用のちがいをよく反映していると考えられる。光学活性イオン間の立体選択性的相互作用としてはまず立体選択性的イオン結合が考えられるが、アミノ基の水素交換速度に影響を及ぼす点からアミノ基の水素における水素結合が関与するイオン対形成を考えるが妥当である。

L -酒石酸イオンとフマル酸イオンはともに二つのカルボキシル基をもつ電荷は同じである。このため $[\text{Co}(\text{en})_3]^{3+}$ とのイオン結合において同様の挙動を示すはずである。実際、両者とも濃度を増加させた時には $[\text{Co}(\text{en})_3]^{3+}$ の水素交換速度を減少させる。しかし同じ条件下では L -酒石酸イオンの方がこの効果は大きい(Table 3)。このちがいは $[\text{Co}(\text{en})_3]^{3+}$ が主に水素結合を通してイオン結合しそうと考えると、 L -酒石酸イオンとフマル酸イオンの水素結合能のちがいから説明できるようになる。すなまち、

Table 3. First-order rate constants of hydrogen-deuterium exchange reactions of Λ - and Δ - $[\text{Co}(\text{en})_3]^{3+}$ in D_2O solutions^{a)}

[L-tartrate]/M ^{b)}	$10^4 k / \text{s}^{-1}$		[fumarate]/M ^{c)}	$10^3 k / \text{s}^{-1}$
	Λ	Δ		Λ, Δ
0.00614	13.7	13.9	0.0240	3.05
0.0191	11.3	11.9	0.0248	3.00
0.0254	10.5	10.6	0.0359	2.53
0.0487	7.63	8.23	0.0467	2.38
0.0664	6.02	6.70	0.0700	2.02
0.0988	4.97	5.28	0.1079	1.73
0.1035	4.77	5.17	0.1228	1.51
0.1225	3.93	4.42		
0.1485	2.72	3.28		
0.2045	2.55	3.05		

a) The $[\text{Co}(\text{en})_3]^{3+}$ concentration was 0.03 M in all cases.

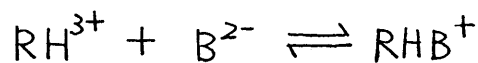
b) Tartrate buffer solutions, pH 5.00 ± 0.03 .

c) Fumarate buffer solutions, pH 5.33 ± 0.03 .

I: イオン会合を仮定した場合フマル酸イオンにおける構造的には
カルボキシル基の半分しか水素結合にあずからないと
に対して酒石酸イオンでは少なくとも一個所以上(二つのカルボキ
シル基と二つの水酸基)が可能であり、より安定な水素結合をつ
くりやすいと思われるからである。

交換速度定数の測定側から L-酒石酸イオンおよびフマル酸イオ
ンと $[Co(en)_3]^{3+}$ の間のイオン会合定数を以下の仮定に基づいて方
法にもとづいて求めた。

i) 次のようなイオン会合平衡が存在するとする:

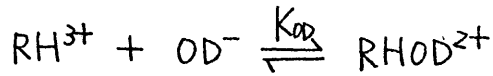


ここで RH^{3+} と B^{2-} は主として錯陽イオンとバッファイオン
(L-酒石酸イオンあるいはフマル酸イオン)である。会合定数, K ,
は次式で与えられる:

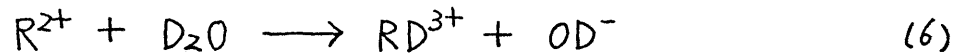
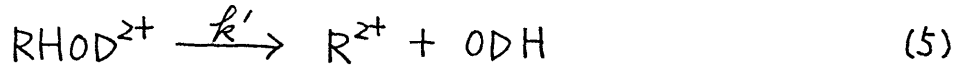
$$K = \frac{[RHB^+]}{[RH^{3+}][B^{2-}]} \cdot \frac{f_1}{f_3 f_2} = \frac{x}{(c_A - x)(c_B - x)} \cdot \frac{f_1}{f_3 f_2} \quad (3)$$

ここで c_A と c_B は主として RH^{3+} と B^{2-} の全濃度であり, x はイ
オン対, RHB^+ , の平衡濃度である。 f_i ($i=1, 2, 3$) は各分子
は $-z$ の電荷をもつイオンの活動度係数である。

ii) 水素-重水素交換は次のようなステップを経て進行すると假
定する:



$$K_{\text{OD}} = \frac{[\text{RHOD}^{2+}]}{[\text{RH}^{3+}][\text{OD}^-]} \cdot \frac{t_2}{t_3 + t_1} \quad (4)$$



k' の速度定数をもつステップ (5) は律速段階であり、ステップ (6) は非常に速く進む。また活動度係数は同電荷 (IV) のイオンに対して同一であるとみなす。

iii) イオン対 RHB^+ の水素交換速度は RH^{3+} のそれと比べて十分遅いとする、観測された C_A に一次である交換速度はステップ (5) の速度と以下のように関係づけられる:

$$k \cdot C_A = k' [\text{RHOD}^{2+}] \quad (7)$$

式 (4) × (7) から

$$k \cdot C_A = k' \cdot K_{\text{OD}} [\text{RH}^{3+}] \frac{t_3}{t_2} [\text{OD}^-] f_1 \quad (8)$$

一方 (3) 式を変形すると

$$[\text{RH}^{3+}] = C_A \cdot \left\{ 1 + (C_B - x) \cdot \frac{t_3 t_2}{t_1} K \right\}^{-1} \quad (9)$$

(8) 式に (9) 式を代入すると次式が得られる:

$$k(t_2/t_3) = k' K_{\text{OD}} [\text{OD}^-] t_1 \left\{ 1 + (C_B - x) \cdot \frac{t_3 t_2}{t_1} K \right\}^{-1} \quad (10)$$

あることは

$$\log k(t_2/t_3) = \log k_{OD} + \log([OD^-]t_1) - \log\left\{1 + (c_B - x)\frac{t_3 t_2}{t_1} K\right\} \quad (11)$$

この式で k_{OD} は $k' K_{OD}$ である。 K_{OD} 値と $[OD^-]t_1$ (すなはち OD^- イオンの活動度^{*2)}) は今回の測定では一定であるから測定値から得られる $\log\{k(t_2/t_3)\}$ 対 $\log\{(c_B - x)(t_3 t_2/t_1)\}$ のプロットは $-\log(1+x)$ 対 $\log x$ の曲線にあたる事になる。この曲線の $c_B \rightarrow 0$ および $c_B \rightarrow \infty$ に対する漸近線の交点の座標から会合定数 K と k_{OD} 値を求めることができる。

活動度係数 t_2 は次のような Debye-Hückel の拡張式を用いて計算した：

$$\log t_2 = - \frac{Az^2 \sqrt{I}}{1 + Ba\sqrt{I}} + \delta I \quad (12)$$

この式に対し $A = 0.512$, $B = 0.329 \times 10^8$, $a = 6 \text{ Å}^\circ$, $\delta = 0.1 z^2$ の各値を用いた。今回の測定試料溶液のイオン強度(I)は L-酒石酸イオンを含むもので 0.18 から 0.64 まで、フマル酸イオンを含むものにつれて 0.12 から 0.43 まで変化している。そこですべての測定結果は (12) 式を用いて $I = 0.1$ に補正した。

最初に $(c_B - x)(t_3 t_2/t_1) = c_B (t_3 t_2/t_1) \propto I = 6c_A + 3c_B$ という近似を用いて上のようないわゆる "アーフィティティング" を行ない K の近似値

*2) $[OD^-]t_{OD}$ は $pD = pH(\text{apparent}) + 0.40 \propto K_w(D_2O) = 0.160 \cdot K_w(H_2O)^{1/2}$

の式を用いて apparent pH の値から求めることができる。

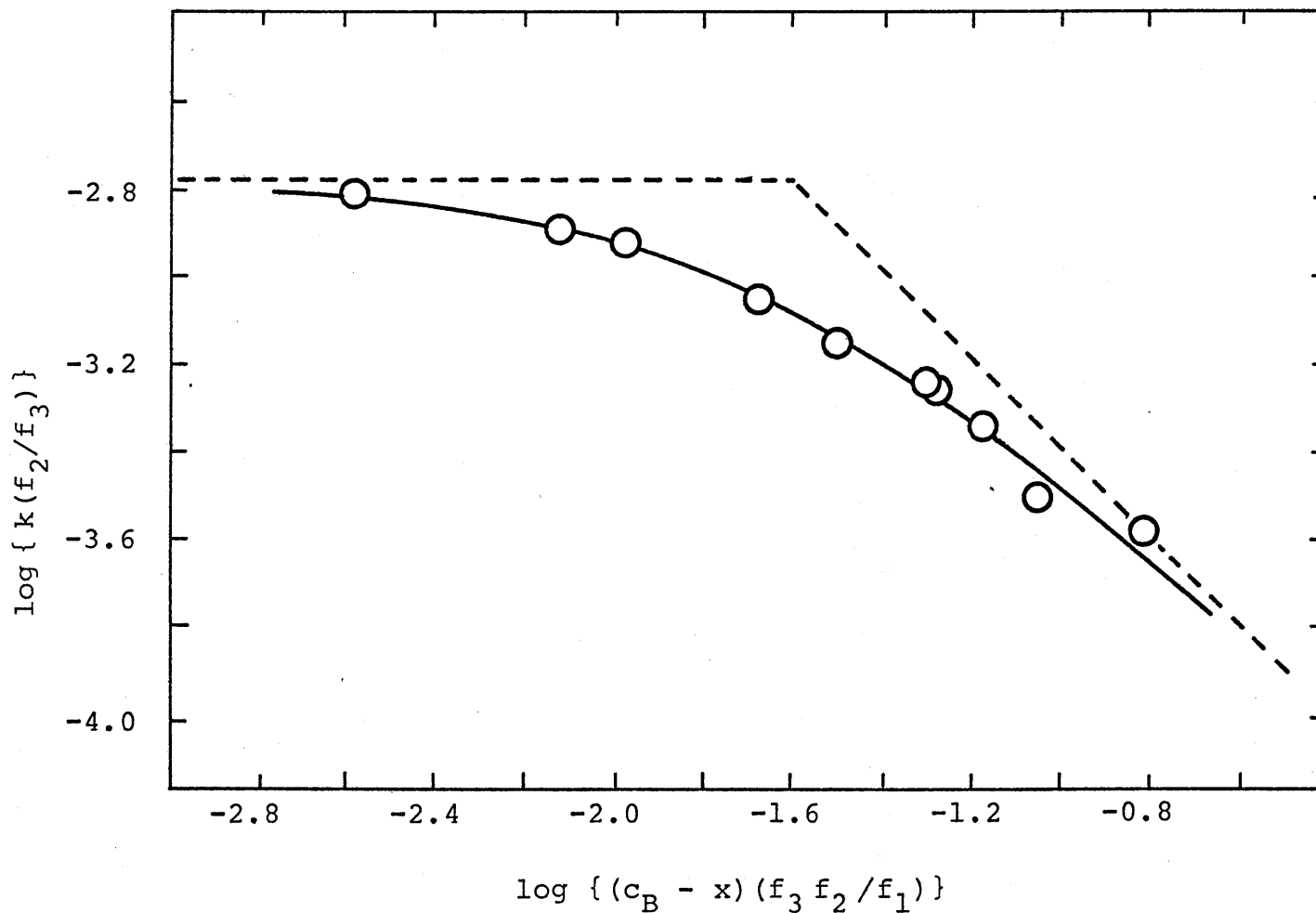


Fig. 4. The curve-fitting for the kinetic data on the $\text{L}-[\text{Co}(\text{en})_3]^{3+}$ -L-tartrate(2-) system: ○, experimental values; —, the normalized curve; ---, asymptotes.

き求めた。このKの値を使つて(3)式からイオン対濃度Xを計算し、 $I = 6C_A + 3C_B - 6X$ により t_1 , t_2 , t_3 を再計算した。補正された $\log \{k(t_2/t_3)\}$ 対 $\log \{(C_B - X)(t_3 t_1/t_1)\}$ アロットに対する第二次回目のカーブフィッティングを行なうことによつてより近似的高いKの値が得られた。このK値を用ひてさらに上の操作を行ない第三次回目のカーブフィッティングにより新しいKの値を得たが実験誤差の範囲内と前の値と一致した。

Fig.4はA-[Co(en)₃]³⁺とL-酒石酸イオンの系の場合につけてこのよう逐次近似のカーブフィッティングを示したものである。また得られたKと k_{D} の値をTable 4にまとめある。この表には分光度法で求められたOginoら⁵⁾ 最近得られたYonedaら¹⁷⁾の値をいっしょに示してある。他の文献値と同様水素交換速度の測定から得られた[Co(en)₃]³⁺とL-酒石酸イオンとの会合定数は予期したとおりA異性体の方が大きい。今回得られた会合定数は分光度法によつて求められた二種の文献値の中間の値を示してゐる。より小さな値を得ているOginoらの実験ではイオン強度を一定に($I = 0.1$)すため過塩素ナトリウムが加えられてゐる。一方、YonedaらはL-酒石酸イオン以外の陰イオンを含まない条件で実験を行なつておりイオン強度変化に伴うイオン活動度の補正是ほぼ筆者らと同様の式を用ひて行なつてゐる。(Table 4の注を参照)。

Table 4. Values of the association constant,
 K , and the rate constant, k_{OD} , at 25 °C

Ion-pair	K			$10^{-6} k_{OD} / M^{-1} s^{-1}$ This work
	This work	Ogino ^{a)}	Yoneda ^{b)}	
Λ + L-tart(2-)	40	26 ± 2	55.8 ± 1.4	4.2
Δ + L-tart(2-)	32	21 ± 2	50.4 ± 1.8	4.1
$\Lambda(\Delta)$ + fumarate(2-)	16			4.5

a) Measured at $I = 0.1$ (adjusted with NaClO_4). (Ref. 5)

b) Corrected to $I = 0.1$ using the equation, $\log f_z = -A z^2 \sqrt{I} / (1 + Bz\sqrt{I})$,
 with the value of $A = 6 \text{ \AA}$. (Ref. 17)

Yoneda は、 $[\text{Co}(\text{en})_3]^{3+}$ と L-酒石酸イオンとの会合定数の Ogino の値が小さいのは ClO_4^- イオンとのイオン会合を無視したことによる原因があると主張している。筆者らの実験においても $[\text{Co}(\text{en})_3]\text{Br}_3 \cdot \text{H}_2\text{O}$ を試料として使用したことにより水溶液中で L-酒石酸イオンのほかに一定量の Br^- イオンが加わるから、この Br^- が $[\text{Co}(\text{en})_3]^{3+}$ とイオン会合しそうと仮定するところ得られた L-酒石酸イオンとの会合定数はこの影響で少し小さく見積もられるかもしない。

一方、測定方法が異なるところも指摘しなければならない点がある。A- $[\text{Co}(\text{en})_3]^{3+}$ (あるいは△異性体) と L-酒石酸イオンのイオン会合定数を比較してみると、UVスペクトル法では Ogino⁵⁾ と Norden⁸⁾ によると $K = 26$ (22) であるが CDスペクトル法では Norden は⁸⁾ $K = 16$ (15), Yoneda は¹⁸⁾ $K = 13$ (11) (△異性体の値は△異性体に対するものである) の値を示すのであり CDスペクトル法では UVスペクトル法に比べて一様にかなり小さな会合定数が得られる。又故に測定方法が異なるれば単純に比較できないかもしれない。

$[\text{Co}(\text{en})_3]^{3+}$ と L-酒石酸イオンの会合定数はフマル酸イオンとの相比べて約二倍大きいが、前に述べたように $[\text{Co}(\text{en})_3]^{3+}$ と水素結合する際に L-酒石酸イオンの方が構造的に有利であることに

帰因するのである。

Palmer & Basolo は酢酸バッパー中ににおける $[\text{Co}(\text{en})_3]^{3+}$ の水素交換反応に対する $k_{\text{OD}} = 2.4 \times 10^6 \text{ M}^{-1} \text{s}^{-1}$ の値を与えている。¹⁹⁾ この値と比較して今回得られた $k_{\text{OD}} = \sim 4.3 \times 10^6 \text{ M}^{-1} \text{s}^{-1}$ は少し大きいが、OD-イオンの濃度を求める方法が両者の間で異なることと考慮するとほぼ一致していると言えるのである。

3. ^{13}C NMR の化学シフトにおけるイオン会合の影響

水溶液中の錯イオンの NMR におけるある原子のシグナルの化学シフト値は、このイオンをとりまく種々の外的な環境の変化に伴って変ることが知られる。この原因の一つに錯イオンのイオン対形成の影響が考えられる。たとえば Martin & Fung は ^{59}Co NMR の化学シフト値の測定から $[\text{Co}(\text{en})_3]^{3+}$ とリン酸イオンの間のイオン会合を研究した。²⁰⁾ すなはち彼らは水溶液中で共存するリン酸イオンの濃度が増加するにつれて $[\text{Co}(\text{en})_3]^{3+}$ の ^{59}Co NMR シグナルが高磁場側にシフトしていくことを見出した。これ、このシフトは $[\text{Co}(\text{en})_3]^{3+}$ とリン酸イオンの会合によるものであると仮定して ^{59}Co の化学シフト値の測定結果の解析からこれらのイオン間の会合定数を求めた。この会合定数は他の方法で

得られた値と比べると当なものがかったことから上述べた高磁場側へのシフトはイオン対形成によるものであると言ふこともよいであろう。一方、同様の測定において共存する塩素イオン濃度を増加させた場合にも ^{59}Co シグナルはシフトする傾向を示したがシフトの方向はリン酸イオンの場合とは逆に低磁場側である。

他の核の NMR 測定においてもこのような共存塩の濃度増加に伴う NMR 化学シフト値の一様の変化が期待できる。そこでこの測定から目的とする錯イオンと共存イオンの間のイオン対形成に関する知見を得ることのできる可能性がある。そこで本実験ではトリスジアミンコバルト(Ⅲ)錯体水溶液に陰イオンを共存させた時の錯体のメチレン基における ^{13}C NMR の化学シフト値変化を測定してイオン結合の効果を調べた。

3.1 実験

試料溶液はトリスジアミンコバルト(Ⅲ)錯体の混塩酸塩水溶液(0.1 M)に共存させるべき陰イオンのナトリウム塩を 0 から 1.4 M までの濃度範囲で溶かして作製した。

^{13}C NMR の測定には日本電子製 JNM FX-60 型を用いた。測定条件は以下の通りである。

測定温度、 35°C (プローブ内の温度); 試料管、内径 0.5 cm の

内管を入った内径 1.0 cm のガラス管； 外部標準、内管中の D₂O (ロックシグナル用) に溶かしたジオキサン (ただしジオキサンの炭素原子のシフト値が TMS から -67.50 ppm であることを用いてすべての結果を TMS からのシフト値に換算した)

3.2 結果と考察

共存塩の存在しない時と、三水砒同濃度 (1.0 M) の碳酸ナトリウムと L-酒石酸ナトリウム水溶液に溶かした時の各トリスジアミンコバルト(III) 錫体における各炭素原子の化学シフト値を Table 5 に示す。この表の中でも、 β は $[\text{Co}(\text{tn})_3]^{3+}$ の、三水砒の空素原子に結合しているメチレン基とカルボニル基の中央のメチレン基を示すものである。

碳酸ナトリウムあるいは L-酒石酸ナトリウムを共存させた時メチレン基の炭素原子のシグナルはいずれも明瞭に低磁場側にシフトしているのがわかる。しかし L-酒石酸イオンの場合 $[\text{Co}(\text{en})_3]^{3+}$ の八面体型と A 両異性体に対する全く同じ化学シフトおよびシグナルの半価幅を示し、立体選択性を示さなかった。配位した空素原子に隣接するメチレン基の炭素原子のシフト値を比較すると、硫酸イオンは L-酒石酸イオンに比べてより大きく三水砒の炭素原子のシグナルを低磁場側へシフトさせているという傾向がある。

Table 5. ^{13}C NMR chemical shifts (ppm from TMS)^{a)}

Complex (0.1 M)	none (H ₂ O)	Na ₂ SO ₄ (1.0 M)	Na ₂ (L-C ₄ H ₄ O ₆) (1.0 M)
[Co(en) ₃] ³⁺	-CH ₂ -	45.68	45.93
<i>fac</i> -[Co(pic) ₃] ³⁺	-CH ₂ -	50.95	51.08
<i>tel</i> ₃ -[Co(pn) ₃] ³⁺	$\begin{cases} -\text{CH}_3 \\ -\text{CH}_2- \\ \\ -\text{CH}- \end{cases}$	$\begin{array}{ll} 17.49 & 17.99 \\ 51.28 & 51.33 \\ 55.29 & 55.29 \\ 55.40 & \end{array}$	$\begin{array}{ll} 17.98 & \\ 51.51 & \\ 55.26 & \end{array}$
[Co(tn) ₃] ³⁺	$\begin{cases} -\text{CH}_2-(\alpha) \\ -\text{CH}_2-(\beta) \end{cases}$	$\begin{array}{ll} 38.74 & 38.83 \\ 25.46 & 25.46 \end{array}$	$\begin{array}{ll} 38.80 & \\ 25.59 & \end{array}$

a) All values are negative (downfield shift).

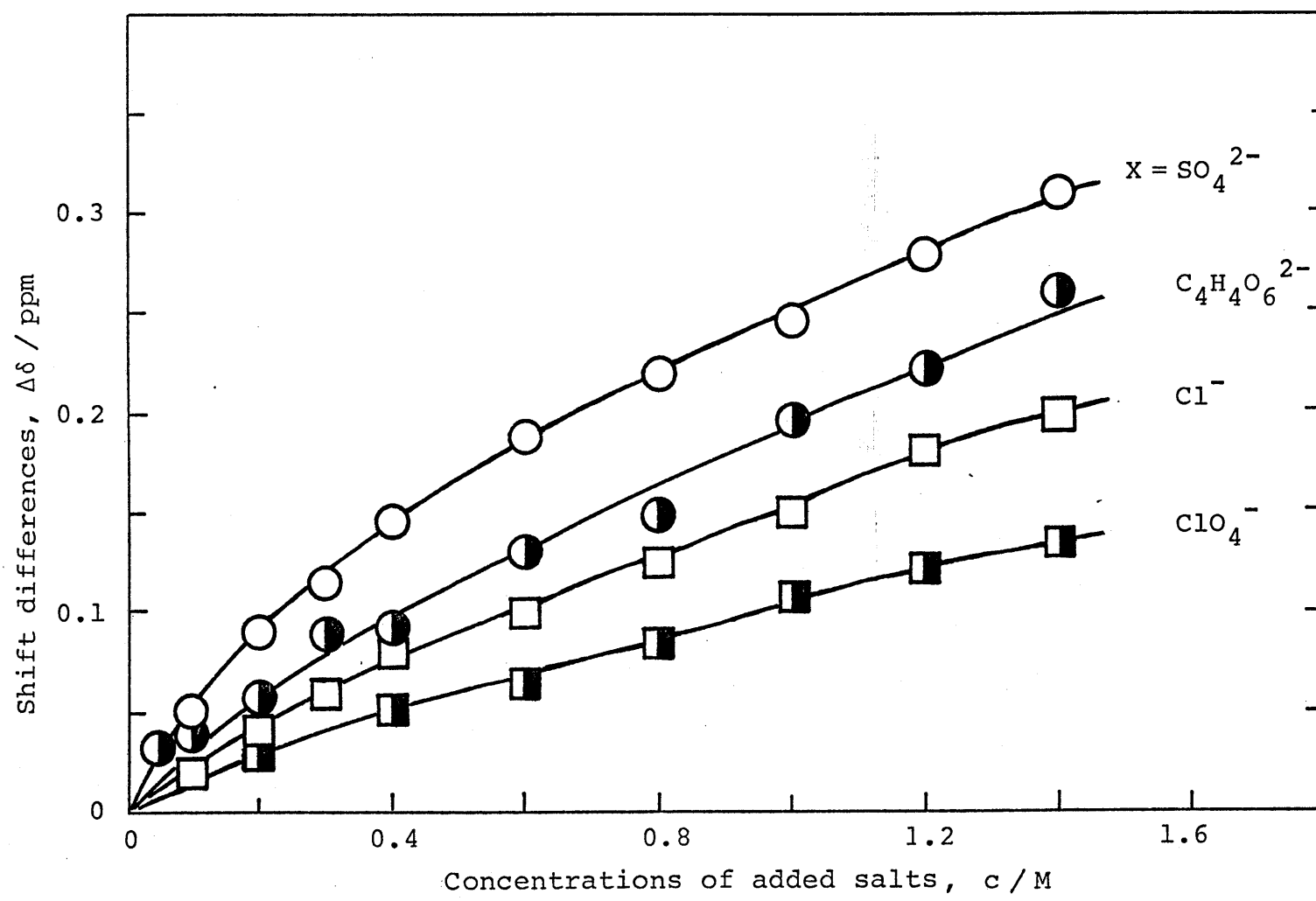


Fig. 5. Effects of the concentration of added salts ($\text{Na}_n \text{X}$) on chemical shift differences of $[\text{Co}(\text{en})_3]^{3+}$.

このことをさすにはつきり示すものが Fig. 5 である。この図は $[Co(en)_3]^{3+}$ のメチレン炭素原子の化学シフト値の、共存イオン濃度に対する依存性を示すものである。いま小の塩の場合も添加イオンの濃度が増加するにつれてより位磁場側にシフトしてゆき、この図では示さないが一定濃度以上で一定値となる。

Ogino らによれば $[Co(en)_3]^{3+}$ と硫酸イオンの会合定数は L-酒石酸イオンとのそれと比べて二倍ほど大きいこと、⁵⁾ そして Katayama らによれば過塩素酸イオンは $[Co(en)_3]^{3+}$ とイオン会合するとしても会合定数は塩素イオンとのそれと比べて小さること²¹⁾ を考慮すると今回の ^{13}C NMR の実験で観測された $[Co(en)_3]^{3+}$ の化学シフトに対する共存塩の効果は主として $[Co(en)_3]^{3+}$ と問題となるこの陰イオンとのイオン対形成によるものであると考えられる。そしてイオン会合度の高いものは、いわゆる安定なイオン対を形成するものはほど大きな位磁場側シフトを示すと考えられる。

Table 5 からわかるように fac- $[Co(pic)_3]^{3+}$ および $[Co(tn)_3]^{3+}$ の窒素原子に近いメチレン炭素原子のシグナルは硫酸イオンあるいは L-酒石酸イオンが共存する場合に位磁場側へのシフトは比較的小しくかつ硫酸イオンと L-酒石酸イオンとの差はない。このことはこらの錯体と硫酸イオンあるいは L-酒石酸イオンとの

会合度が比較的低いことを示しているかも知れない。この推定は次の項で述べるカラムクロマトグラフにおけるこうした錯体の挙動からの推定とも一致する。

4. SP-セファデックスカラムクロマトグラフにおける溶離順とイオン会合の関係

SP-セファデックスは架橋されたデキストランにスルオアロビル基が導入されたものである。強酸性陽イオン交換体の一種である。²²⁾ これを担体（固定相）とするカラムクロマトグラフは陽イオン交換クロマトグラフである。

このクロマトグラフによつて同電荷の陽イオンの混合物を分離することを考へた場合、まず目的とする陽イオン混合物をカラム上部に吸着させ、電解質水溶液を溶離液として流す。この時にこうした各陽イオンにおける溶離液中の陰イオンに対するイオン対形成能が異なるれば、イオン対形成能の大きな陽イオンほどイオン会合に伴つてかけ上の陽電荷が減少することになる。その結果この陽イオンは陽イオン交換基に対する吸着能の低下のために溶離速度が増加すると考えられる。このようなイオン会合と溶離順の関係は、トリスジアミンユバート(IV)錯体に限れば SP-セファデ

シクスカラムを用いたクロマトグラフィーにおける次のような結果がさも確かである。

i) $[\text{Co}(\text{en})_3]^{3+}$ を 0.2M 硫酸ナトリウムと 0.2M L-酒石酸ナトリウムの混和液に溶離する時 $[\text{Co}(\text{en})_3]^{3+}$ を溶離させるのは 0.2M 硫酸ナトリウムと 0.2M L-酒石酸ナトリウムの順序は Z^{23} , この溶離順は前にすこし述べたように $[\text{Co}(\text{en})_3]^{3+}$ とこれら陰イオンの結合定数の大きさの順⁵⁾ と一致する。

ii) また 0.2M L-酒石酸ナトリウムを溶離液とする場合には $[\text{Co}(\text{en})_3]^{3+}$ のバンドは完全に二つに分かれ、すなはち光学異性体に分離される。²³⁾ この時これら異性体の溶離順は I 異性体と II 異性体であり、この場合も溶離液中の L-酒石酸イオンとの結合定数の大きさの順と一致する。

iii) $[\text{Co}(\text{dien})_2]^{3+}$ を 0.15M L-酒石酸ナトリウムで溶離すると三種の幾何異性体に分離され、これらは溶離順は sym-facial, unsym-facial と mer 異性体である。²⁴⁾ 0.15M 硫酸ナトリウムあるいは 0.1M リン酸ナトリウムで溶離した場合にも同様な分離の様子と溶離順を示す。一方、これら異性体とリン酸イオンとの結合定数の大きさの順は sym-facial, unsym-facial と mer 異性体である²⁵⁾ やはり溶離順と対応する。

これらのことからトリスジアミンコバルト四錯体あるいはこれ

と類似した錯陽イオンを比較する時溶離液中の陰イオンとの会合度が大きいものはどの溶離速度が大きいといえるであろう。特に酸素酸イオンのように水素結合能力の大きい陰イオンが、立体選択性の有無を別にしここらの錯陽イオンに対しておたがいに類似した挙動を示すことから、安定な水素結合を形成できるか否かがイオン会合に大きく寄与しこゝると考えられる。

こゝらのことに基づいてイオン会合によよぼすトリスジアミンコバルト(IV)錯体の構造とリカルケアミノ基の水素の配向との関係を溶離状況から求めることを試みた。

4.1 実験

構造のうちからべるトリスジアミンコバルト(IV)錯体を三種類ほぼ同量に含む混合物を SP-セファデックスカラム ($\phi 1.5 \times 77\text{ cm}$) の上部に吸着させ 0.16M 硫酸ナトリウムで溶離した。カラムからの溶出液は約 6 ml ごとウフラクショント集めで吸光度を測定して溶離曲線を得た。 $[\text{Co}(\text{pn})_3]^{3+}$ の各異性体と $[\text{Co}(\text{en})_3]^{3+}$ は光学異性体（A 異性体）を用い、溶出液の CD スペクトルの測定によつて溶離帶をこゝらの各錯体および各異性体に帰属した。また溶離帶の重ねたものにつひくは同一条件下で別々に溶離を行つて溶離曲線を得た。

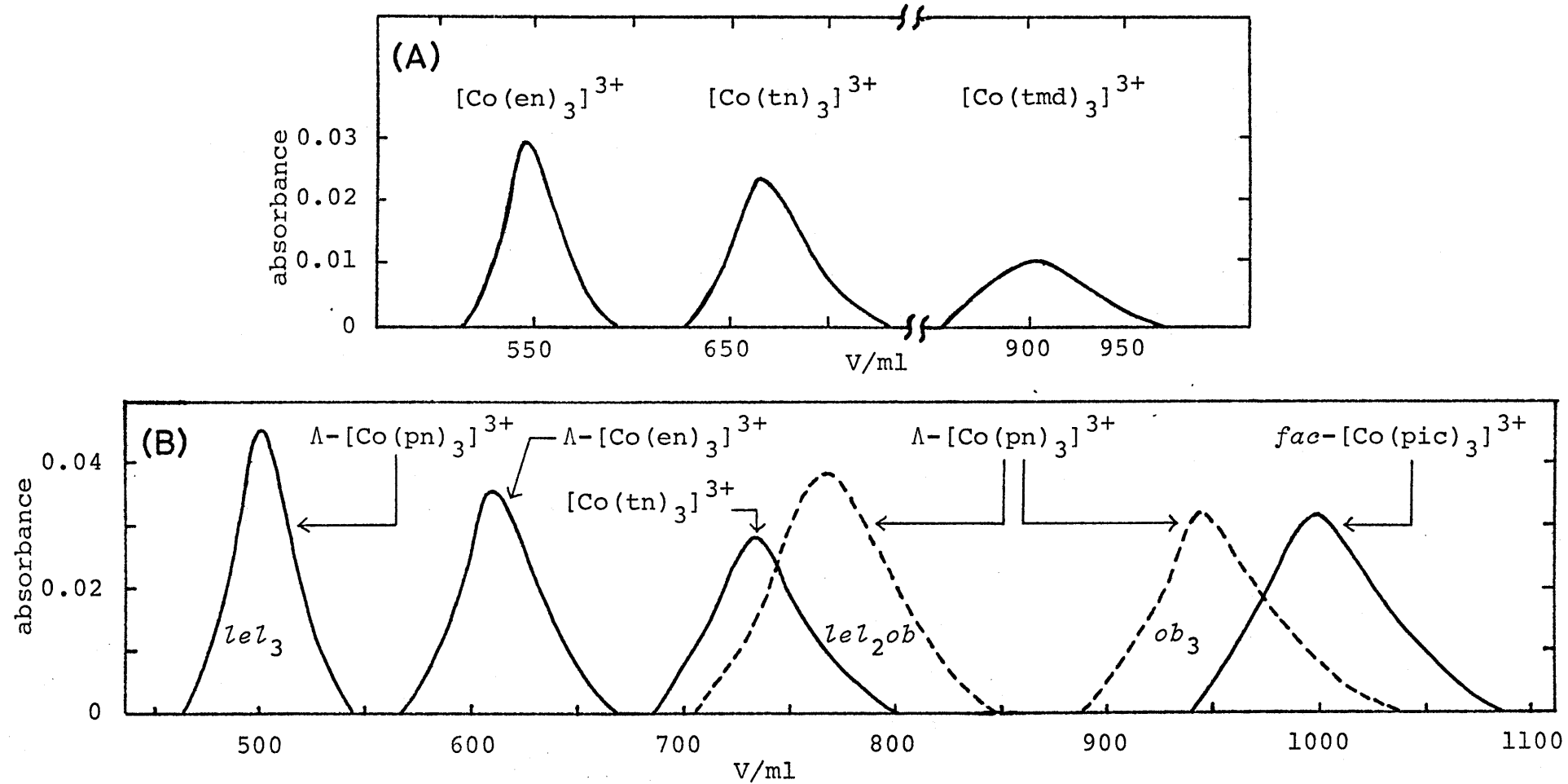


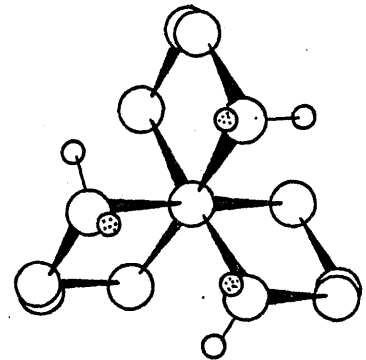
Fig. 6. Elution orders of $[\text{Co}(\text{diamine})_3]^{3+}$ eluted with acidified 0.16 M Na_2SO_4 (pH 2~3) (A) and with 0.16 M Na_2SO_4 (B) on a SP-Sephadex column ($\phi 1.5 \times 77 \text{ cm}$).

一方、 $[Co(tmd)_3]^{3+}$ 錯体は中性溶液中でも少解してゆくが、
硫酸酸性 (pH 2~3) とした 0.16 M 硫酸ナトリウムとの場合と
同ドカラムでの溶離を行なつた。この時中性である 0.16 M 硫酸ナト
リウムを溶離液として用いた場合と比較するために $[Co(en)_3]^{3+}$ と
 $[Co(tn)_3]^{3+}$ の錯体も同時に混合して溶離を行なつた。

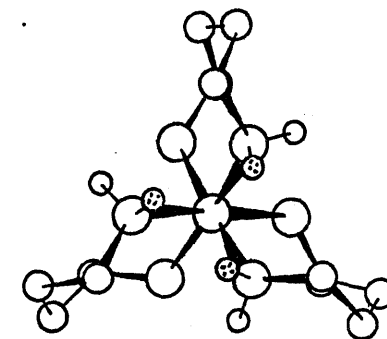
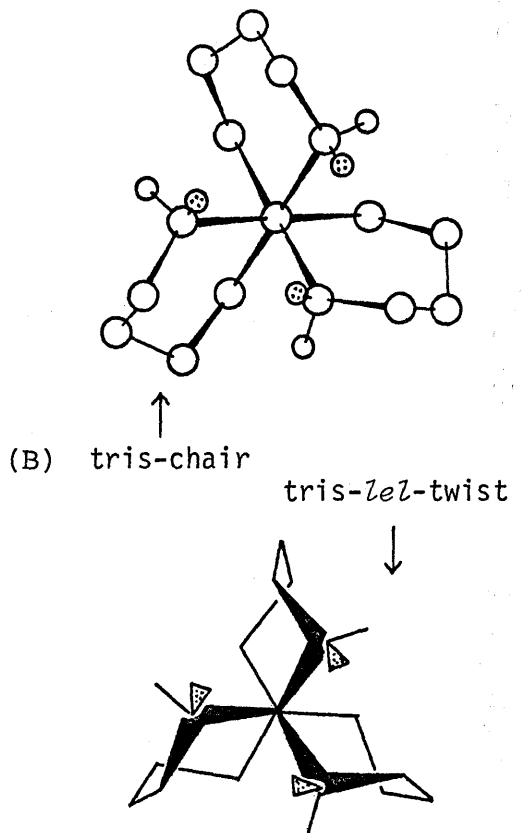
4.2 結果と考察

得られた溶離曲線を Fig. 6 (A), (B) に示す。 (A) と (B) が共通に溶
離された $[Co(en)_3]^{3+}$ と $[Co(tn)_3]^{3+}$ の (A), (B) における溶離位置の比較
から、溶離液を硫酸酸性とした場合にも錯体間の溶離順の相対的
な関係はほぼ同様であるといえよう。 乏故 $[Co(tmd)_3]^{3+}$ が中性
の 0.16 M 硫酸ナトリウムでの溶離できることはすればその溶離順は
 $[Co(pn)_3]^{3+}$ (ob_3 異性体) といたる同一であると考えられる。

ここに用いた錯体は必ずしも三回軸あるとは擬似三回軸を有す
るものあり、この軸の方向に伸びるものは比較的にこの方向に
向むける三本の N-H の組を二組あるものは一組 (fac- $[Co(pnC)_3]^{3+}$ の
場合) もむける。 $\Lambda-[Co\{(+)\text{pn}\}_3]^{3+} (\text{lef}_3)^{4)}$, $\Lambda-[Co\{(+)\text{pn}\}_2\{(-)\text{pn}\}]^{3+} ($
 $\text{lef}_2 \text{ob})$ と $\Lambda-[Co\{(-)\text{pn}\}_3]^{3+} (\text{ob}_3)^{26})$ は乏小乏しいメチル基がエタ
リアル位にあるという構造的な要請のためキレート環のコンフ
-メイション (配座) が固定されむける。そのため lef_3 異性体では三



(A) $\Lambda\text{-}[\text{Co}(\text{en})_3]^{3+}$



(C) $\Lambda\text{-}[\text{Co}(\text{tmd})_3]^{3+}$

Fig. 7. Perspective views of $\Lambda\text{-}[\text{Co}(\text{diamine})_3]^{3+}$ determined by the X-ray analyses, except for the tris-1el-twist form of $\Lambda\text{-}[\text{Co}(\text{tn})_3]^{3+}$.

本のN-Hが平行な方向からずれないと構造をとる。 $[Co(en)_3]^{3+}$ はキレート環のコンフォーメイションが lcl 配座をとる場合には $[Co(pm)_3]^{3+}$ の lcl_3 異性体と同様三本のN-Hは三回軸とほとんど平行であるが(Fig. 7(A)),²⁷⁾ 後者に比べてキレート環のコンフォーメイションの lcl 構造と of 構造との間のエネルギー差が小さく必ずしも lcl 構造に固定されない。一方、 $[Co(tmd)_3]^{3+}$ 錯体の場合X線結晶解析の結果によると D_3 対称の構造をとる。(Fig. 7(C)).²⁸⁾ ドライディングス子模型による考察でも最も安定なものはやはりこの構造であり、かつこの場合キレート環のコンフォーメイションの自由度もかなり小さいようにみえるから水溶液においてもこの構造が保持されると思われる。さしこう述べた三本のN-Hの組は三回軸に対する平行性はさくなくなり、このようなく三回軸に平行な方向からのずれは $[Co(en)_3]^{3+}$ に比べて大きく $A-[Co\{t\}pm\}]^{3+}(of_3)$ と同様ほどにならざる。

結局これらのことと溶解順と比較して分子とより対応が存在しないことがわかる。すなまち、トリスジアミンユバレト(IV)錯体の場合三回軸に対してもより平行性のよい三本のN-Hの組をもつものほど溶解速度が大きいといえる。これら2つの錯体とは三回軸方向から持続する硫酸イオンと三本のN-Hがあいまく同時に水素結合することによりイオン対を形成するものと思われる。この故に小

この三本のN-Hにおける三回軸方向への平行性が安定なイオン対形
成の、一つの大きな条件であると表します。

$\text{fac}-[\text{Co}(\text{pic})_3]^{3+}$ 錯体の場合離溶速度が非常に小さることも上の
表でよく説明できます。この錯体には擬似三回軸方向にのべる三
本のN-Hの軸は一つのサである。SP-セアテックスイオン交換体は
硫酸イオンと類似するスルファン基をもつものであるからこの錯体
はこねう三本のN-Hの存在する三回軸方向の一つの側にあり吸
着しこうると表します。さうあれば離溶液中の硫酸イオンと
は安定な水素結合を伴なないところの弱いイオン結合（イオン
結合）しかござりない事になります。なぜならこの錯体の三回軸方向
のもう一方の側にはピリジン環が存在しこうかさばつゝか
うである。このためイオン交換体への吸着は弱まりにくくしたが
って離溶は遅くなるとあります。

$[\text{Co}(\text{tn})_3]^{3+}$ 錯体の水溶液中の構造あるいはイオン結合に関する
ことは第二章のところまとめ述べることにする。

トリスジアミンユバート(IV)錯体における三回軸方向にへき出した
三本のN-Hの平行性が水素結合を通してこの硫酸イオンとのイオン
対形成における重要であるということは、水素結合するために可
能な部位が一分子内に三個以上存在する他の陰イオン（特に多
価イオン）に対する同様であると表します。

L-酒石酸イオンとのイオン対形成とはこのことはトリスジアミンコバルト(IV)錯体の光学異性体間の立体選択性のうがいにも重要な影響を及ぼすのである。たとえば SP-セファデックスカラムクロマトグラフ法における碳酸ナトリウム水溶液により早く溶離されるところの $[Co(pn)_3]^{3+}$ (l,l,l_3) と $[Co(en)_3]^{3+}$ 錯体は、L-酒石酸ナトリウム水溶液を溶離液として分離を試みた場合他のトリスジアミンコバルト(IV)錯体と比べて効率よく達成されるという事実はこの推定をうなづかせるようになる。

5 トリスジアミンコバルト(IV)錯体の CD スペクトル変化における立体選択性

トリスジアミンコバルト(IV)錯体の水溶液中の CDスペクトルは共存するイオンによっては大きく変化することが知られる。Mason はトリスエチレンジアミンコバルト(IV)錯体あるいはトリスプロピレンジアミンコバルト(IV)錯体について、各種の陰イオンを共存させた場合の一連の CDスペクトル変化を調べた。²⁾ これら五員環トリスキレート錯体においてハロゲン化合物イオン等の電荷のものはほとんど CD変化を示さないが、他の陰イオンたとえばリン酸イオン、硫酸イオン、亜セレン酸イオンは大きな C

CD変化をオーバー吸収帯に対応するCDスペクトルに与えることを見出した。同様のCDスペクトル変化はSmithとDouglasによらずも観測されたが、彼らはまた $[Co(gly)(en)_2]^{2+}$ 錯体も同様のCDスペクトル変化を示すことを確かめた。²⁹⁾

一部の例外があるが上記述べたCDスペクトル変化はオーバー吸収帯(正八面体場における $T_{1g} \leftarrow A_{1g}$ の遷移による吸収帯)に対応するCDスペクトルにありて低波数側のE成分の比較的小さな強度減少と高波数側にあるA₂成分の大きな強度増加ということに特徴がある。多数のトリスジアミンコバルト(IV)錯体についてこのようなCD変化は観測されており、逆に硫酸イオン、リン酸イオン、亜セレン酸イオンを共存させた時のCDスペクトル変化から経験的にA₂成分の帰属に応用されるほどである。

MasonとNormanはこのようなCD変化の原因として錯陽イオンと酸素酸イオンの間の水素結合を伴うイオン対形成を考慮した。²⁰⁾すなはち五員環キレートをもつトリスジアミン錯体にtrigonalあるいはtetrahedralな酸素酸イオンを加えた場合、キレート環による立体障害の少ない三回軸方向からこなうのイオンが接近し、 lal_3 型配座をとることによって錯体の三回軸と平行にのべた三本のN-H×N-H...O型の水素結合を同時につくすというのである。

X線結晶解析の結果によると $[Co(en)_3]^{3+}$ は結晶中では初期の配

座解析からも予想されるよう³⁰⁾に三つのエチレンジアミンのキレート環が lsl 配座をとっている (Fig. 7)²⁶⁾。新しい配座解析の結果では lsl_3 型と lsl_2 型ではほとんど同じく $\langle \rangle$ の安定性をもつと考えられる³¹⁾。水溶液中では主として lsl_2 型配座のものが多く存在するといわれている³²⁾。しかしリン酸イオンと共存せた状態では lsl_3 型配座の方が主要成分となる。³³⁾ また、 $[Co(en)_3]_2(HPO_4)_3 \cdot 9H_2O$ の結晶中では Mason のモデル構造のようにリン酸水素イオン (HPO_4^{2-}) が錯体の三回軸上に位置している³²⁾。酸素原子により水素結合しているとみなされる構造が見られたこと、³³⁾ Sanneski & Urbach³⁴⁾ は $[Co(en)_3]^{3+}$ 錯体を合成、分割してこの CD スペクトルを測定したところこの錯体が $[Co(en)_3]^{3+} - PO_4^{3-}$ イオン対と類似構造をもつモデル化合物であるとの予想があり、リン酸イオン共存時ににおける $[Co(en)_3]^{3+}$ の CD スペクトルとよく似た CD スペクトルを与えたことからも Mason のモデルのようだ、トリスジアミンコバルト(IV)錯体が三回軸方向にのべた三本の N-H を通して酸素酸イオンと水素結合することによりイオ対を形成することは大いにありうることである。しかしこのイオ対形成の結果これがどのように CD スペクトル変化を起すかといふことはまだ明確でないが、その原因があげられる。

はイオン対形成の際に水素結合に有利な配座すなうとコントローラーイション転換の比較的容易なトリスジアミンキレート環において $l_{\text{el}}l_{\text{el}}$ 型配座に整列することである（いわゆる ll 配座規制）。錯体の三回軸に平行にのべた、三つのキレート環からの三本のN-Hが同時にこの方向からの酸素酸イオンの三個の酸素原子と水素結合をつくるとすると、これをN-Hが一個ごとに三回軸方向への平行性を失う（あるいは構造的に平行なN-Hをもたない）ことは上のような水素結合の安定性を乏しくことになる。事実、失に述べた溶離順の結果はこのことを確かに示している。

L-酒石酸イオンは酸素酸イオンの一種であり、これを共存させた時に $[\text{Co}(\text{en})_3]^{3+}$ はリン酸イオンあるいは碳酸イオンと共存せよた時と同様のCDスペクトル変化を起こすことなどが知られる。^{2,5)} そこでL-酒石酸イオンとはじめとしてこれを類似のジカルボン酸イオンと共存せよた時の光学活性トリスジアミンコバルト(IV)錯体のCDスペクトル変化を比較して検討することにより $[\text{Co}(\text{en})_3]^{3+}$ とL-酒石酸イオンのイオン対構造に関する知見を得ることを本実験の主目的とした。

5.1 実験

5.1.1 試薬

$[\text{Co}(\text{en})_3]\text{Br}_3 \cdot \text{H}_2\text{O}$ の光学異性体は 2.1.1 と同じものを用いた。

$\Lambda(+)_D - [\text{Co}\{(+)\text{Pm}\}_3]\text{Br}_3 \times \Delta(-)_D - [\text{Co}\{(-)\text{Pm}\}_3]\text{Br}_3$ は文献に従い、³⁵⁾ 合成したものがである。これらの異性体の $[\alpha]_D$ 値は $+221^\circ$ と -223° であった。 L -タルトラニル酸は Montzka ³⁶⁾ の方法により合成した。元素分析値(計算値): C, 52.9 (53.3); H, 4.89 (4.92); N, 6.04 (6.22) %。他の試薬は市販の特級品を用いた。ジカルボン酸類はナトリウム塩を利用してさるものはそのまま用いたが α, β -酒石酸と L -タルトラニル酸は必要に応じて当量の水酸化ナトリウムを加えて中和して用いた。

5.1.2 CDスペクトル変化の測定

ジカルボン酸イオンを 0 から 0.1 M までの濃度を含む一連の水溶液に錯体の光学異性体(臭化物)を 0.01 M の濃度を溶かした試料溶液を作製した。ここの試料溶液について 1 cm 石英セルを用いて $25 \pm 1^\circ\text{C}$ の室温中で第一吸収帶の CDスペクトルを測定した。測定装置には日本分光 ORD/UV S を用いた。

5.2 結果

$\Lambda - [\text{Co}(\text{en})_3]^{3+}$ 水溶液の第一吸収帶に対応する CDスペクトルを Fig. 8 (f) に示す。実線は臭化物水溶液の CDスペクトルである。よく知られるように $T_{1g} \leftarrow A_{1g}$ の遷移に対応するものがあり、

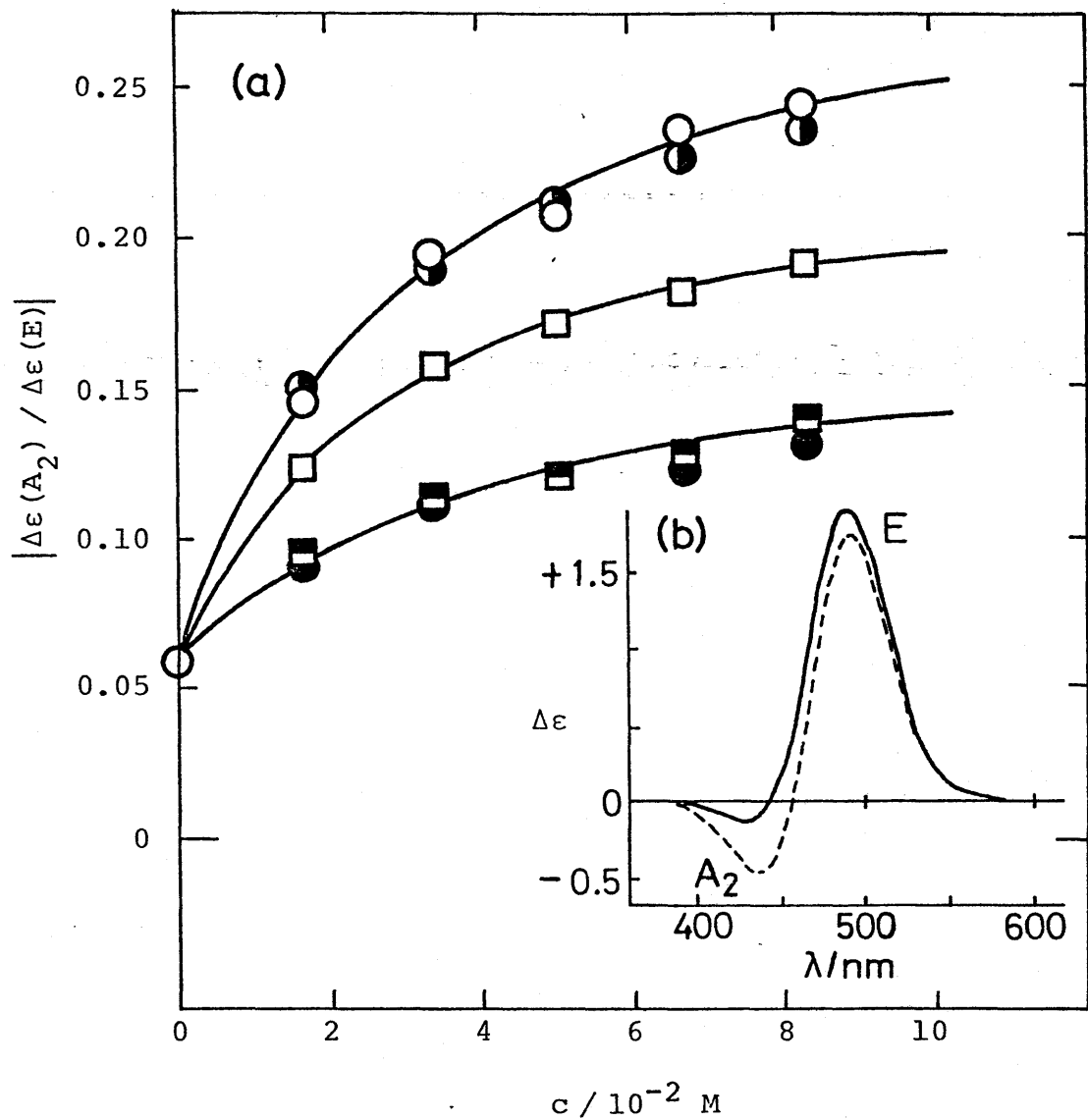


Fig. 8. Effects of the concentration of added dicarboxylate ions (X^{2-}) on the $|\Delta\epsilon(A_2) / \Delta\epsilon(E)|$ values of Λ - and Δ - $[\text{Co}(\text{en})_3]^{3+}$ (0.01 M) (a). \circ : Λ , $X = L\text{-tartrate}$. \square : Δ , $X = L\text{-tartrate}$. \bullet : Λ and Δ , $X = meso\text{-tartrate}$. \blacksquare : Λ and Δ , $X = L\text{-malate}$. \bullet : Λ and Δ , $X = succinate$. CD spectral change of Λ - $[\text{Co}(\text{en})_3]^{3+}$ (b): —, Λ -complex in water: ---, Λ -complex in 1.0 M sodium L-tartrate solution.

Table 6. Values of $|\Delta\epsilon(A_2) / \Delta\epsilon(E)|$ in the absence
and presence of carboxylate and other anions^{a)}

Anion	$\Lambda - [\text{Co(en)}_3]^{3+}$	$\Delta - [\text{Co(en)}_3]^{3+}$
none	0.06	0.06
bromide	0.06 ± 0.01	0.06 ± 0.01
fumarate(2-)	0.09	0.09
succinate(2-)	0.14	0.14
<i>meso</i> -tartrate(2-)	0.23	0.23
L-tartrate(2-)	0.24	0.19
H(L-tartrate)(1-)	0.19	0.15
H ₂ (L-tartrate)	0.06 ₇	0.07 ₀
L-malate(2-)	0.14 ₈	0.14 ₀
L-tartranilate(1-)	0.16	0.12
<hr/>		
	$\Lambda - [\text{Co}\{(+)\text{pn}\}_3]^{3+}$	$\Delta - [\text{Co}\{(-)\text{pn}\}_3]^{3+}$
none	0.30	0.30
succinate(2-)	0.41	0.41
L-tartrate(2-)	0.62	0.50

a) The concentrations are 0.01 M in the complexes and 0.084 M in the added anions.

長波長側の正の CD ピークは E 成分に、短波長側の負の CD ピークは A₂ 成分に帰属される。ここのビーグは実際の E と A₂ 成分の強度とのものとあらずしてはなく、約 500 cm⁻¹ 附近に存在するほぼ同強度 ($\Delta \varepsilon = (\pm \text{約 } 15)$) の異符号の E 成分と A₂ 成分の打ち消し合った結果の残りの成分为溶液中の CD スペクトルとして観測されるやうである。³⁷⁾

この図が点線で示したもののは水溶液に L-酒石酸イオンが共存した時の CD スペクトルである。ジカルボン酸イオンを水溶液中に含む時、強度変化の程度の差はあるがすべて同様の傾向のスペクトル変化が起こる。すなはち E 成分の強度が減少し、A₂ 成分の強度が増加する。このような CD スペクトルの強度変化は添加するイオン濃度に依存する。そこで強度変化の比較を容易にするために CD スペクトルの A₂ 成分の極大値と E 成分の極大値との比 ($|\Delta \varepsilon(A_2) / \Delta \varepsilon(E)|$ により表す) をとり、これを添加した L-酒石酸イオンのみと同様の骨格をもつジカルボン酸イオンの濃度に対してプロットしたもののが Fig. 8 (a) である。また Table 6 は光学活性トリスジアミンコバルト(Ⅲ)錯体に一定濃度のジカルボン酸イオンおよび他のイオンを加えた時の測定値をまとめたものである。

L-酒石酸イオンは $[\text{Co}(\text{en})_3]^{3+}$ の人異性体に対する△異性体に比べて大きな変化を示す水素交換と同様 CD スペクトル変化があり

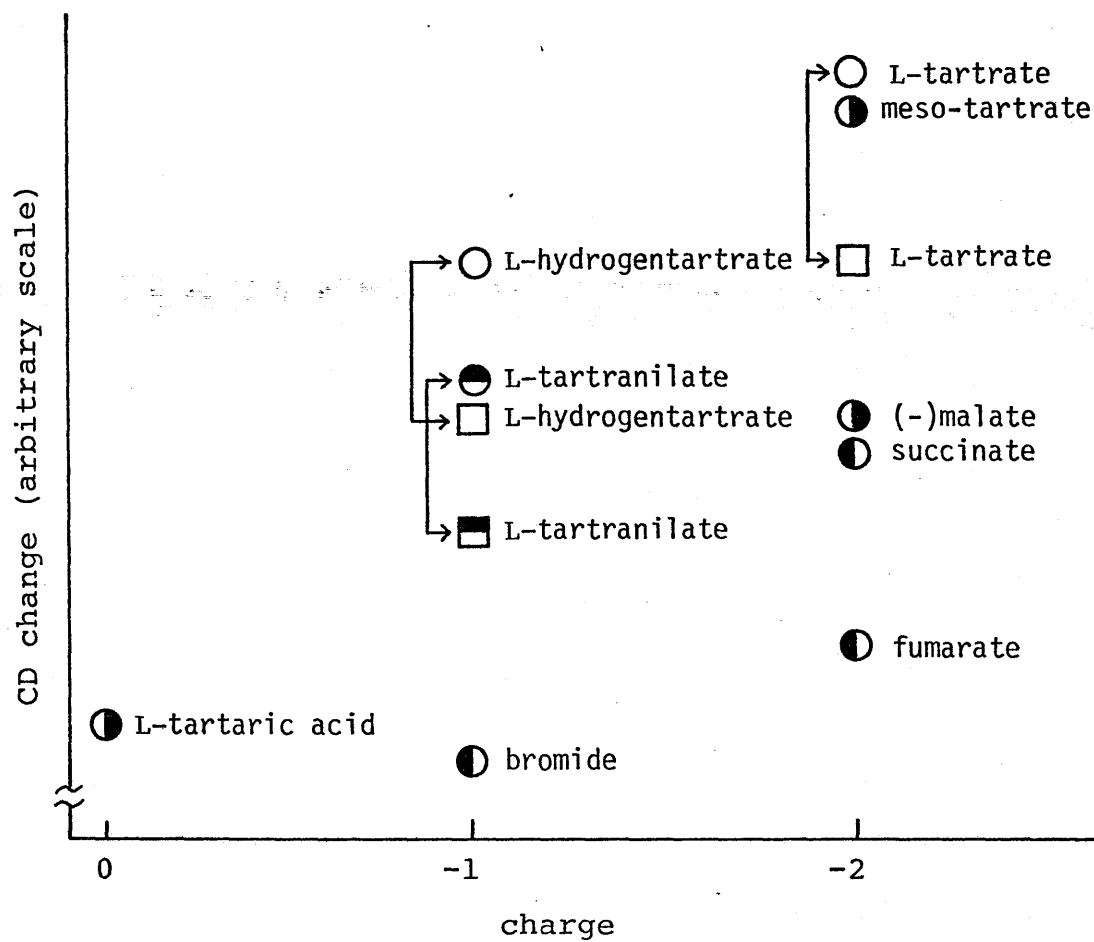


Fig. 9. Dependence of CD change ($|\Delta\epsilon(A_2)/\Delta\epsilon(E)|$) of $[\text{Co}(\text{en})_3]^{3+}$ on the charges of the added anions.

A pair of symbols connected with an arrow are for the enantiomers: Λ , circle; Δ , square.

乙も立体選択性を示すが L-酒石酸, $H_2(L-C_4H_4O_4)$, そのものは臭素イオンと同様ほとんど CDスペクトル変化に寄与せず、従って立体選択性も示さない。光学活性な L-リンゴ酸イオンはコハク酸イオンと同様の比較的小さな CD変化だけを与える立体選択性を示さない。一方、X- α -酒石酸イオンは立体選択性をもたらすが存在すべきほどに L-酒石酸イオンの $A-[Co(en)_3]^{3+}$ に対する効果ほど大きくないの CD変化を示す。L-酒石酸イオンの一つのカルボキシル基が酸アニドで置換された構造をした L-タルトラニル酸イオン (-1価) は Table 6 からわかるように明らかに立体選択性を示している。L-酒石酸水素イオン (-1価) もほぼこれと同様の CD変化と立体選択性を示す。しかしこれらイオンとも L-酒石酸イオンに比べて同濃度における与える CD変化の大きさはほぼ 2/3 である。これはおそらくこれらのイオン間の電荷のちがいによるものであろう。そこでこのことを明確にするため Table 6 中の $[Co(en)_3]^{3+}$ に関する $|\Delta\epsilon(A_2)/\Delta\epsilon(E)|$ の値を乙軸にとてこのイオンの電荷ごとにかけプロットしたもののが Fig. 9 である。この図から L-タルトラニル酸イオンと L-酒石酸水素イオンは $[Co(en)_3]^{3+}$ の A異性体と E異性体に対して L-酒石酸イオンに匹敵する立体選択性を示すことがわかる。

$A-[Co\{(+)\text{Pn}\}_3]^{3+}$ と $A-[Co\{(-)\text{Pn}\}_3]^{3+}$ は CDスペクトル変化に関する

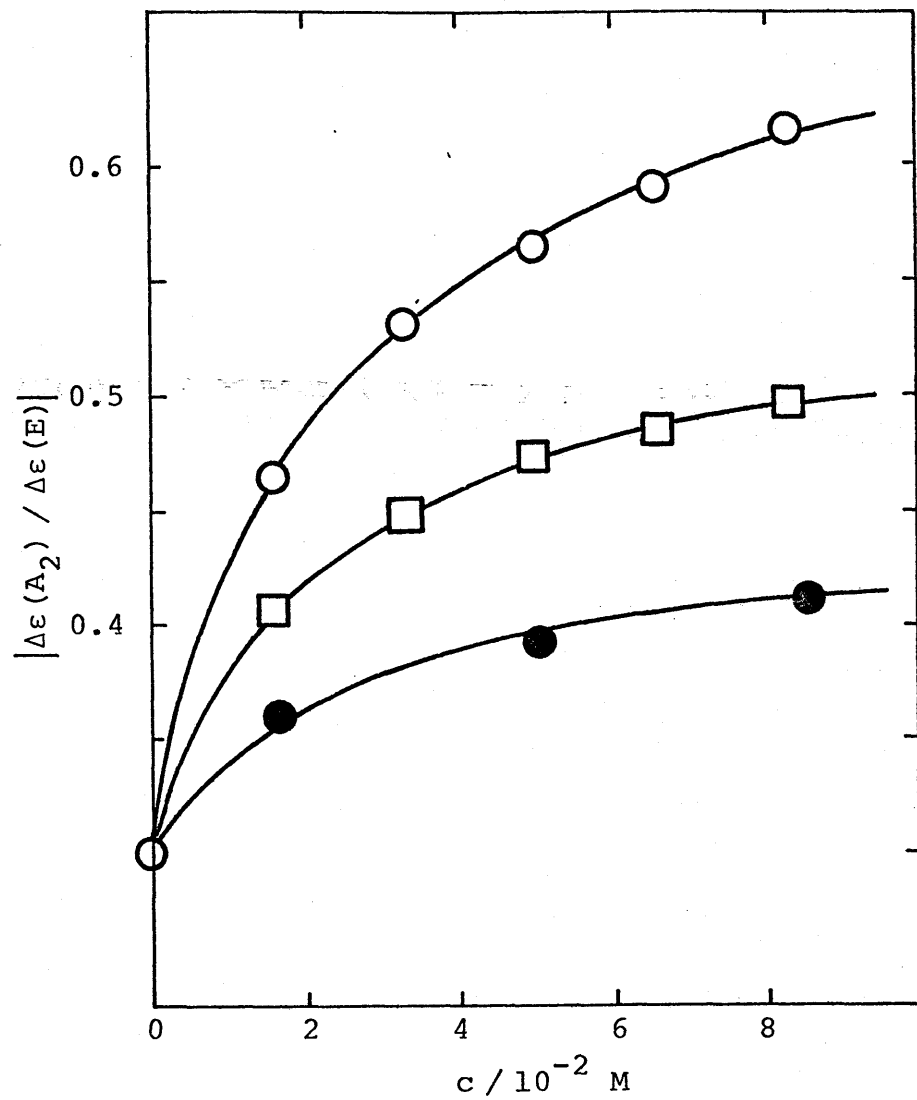


Fig. 10. Effects of the concentration of added L-tartrate and succinate ions on the $|\Delta\epsilon(A_2) / \Delta\epsilon(E)|$ values of $\Lambda-[Co\{(+)\text{pn}\}_3]^{3+}$ and $\Delta-[Co\{(-)\text{pn}\}_3]^{3+}$ (0.01 M).

○ : Λ , L-tartrate. □ : Δ , L-tartrate. ● : Λ and Δ , succinate.

$\text{Z}-[\text{Co}(\text{en})_3]^{3+}$ と $\Delta-\text{[Co}(\text{en})_3]^{3+}$ の場合のミルと同様の傾向を示した。測定結果を Fig. 10 と Table 6 に示した。これららの錯体の L-酒石酸イオンに対する立体選択性は $[\text{Co}(\text{en})_3]^{3+}$ との類似性によらず全く同様に説明ができると考えられる。

5.3 考察

酒石酸イオンは一分子中に二つのカルボキシル基と二つの水酸基をもつてあり、これららの酸素原子はいずれも錯体の N-H と水素結合が可能である。トリスジアミンコバルト(IV)錯体にあって、問題となるのは直交する方向に配向しているからこれららの N-H は三回軸方向からの陰イオンに対して水素結合には関与しないと考えるべきよりである。そこで、酒石酸イオンが水素結合する時二通りの可能性がある。第一の方法は二つのカルボキシル基と一つの水酸基により、第二の方法は二つの水酸基と一つのカルボキシル基とにより水素結合を行う可能性である。これららがどうあるかを実験結果から考察することにする。

臭化ナトリウムと酒石酸自身(非解離のもの)はほんの少くの CD 変化を引き起こすだけであることをうかるボキシル基の解離したものが(すなまつ -COO^-) CD 変化を引き起すために必要

である。構造的に、同時に二つのカルボキシル基と水素結合にあずかる存在のフマル酸イオンは水素交換反応の測定結果から予測されるように小さなCD変化を示すのであるが、二つのカルボキシル基と水素結合が可能だと思われるコハク酸イオンはフマル酸イオンよりは大きなCD変化を示した。L-リンゴ酸イオンは水素結合可能なものとしない二つのカルボキシル基と一つの水酸基を有している。しかしコハク酸イオンと同様のCD変化を示すのである。

これららの結果からカルボキシル基とトリスジアミンコバルト(Ⅲ)錯体のCDスペクトル変化に主要な働きをなすことを示しているとみえる。(しかししながら、L-酒石酸水素ナトリウムを加えた時にはさほど大きなCD変化をきたさない。このL-酒石酸水素ナトリウム水溶液のpHは約3.4である。このpHでは酸解離定数から計算すると酒石酸水素イオン64%, 酒石酸(非解離のもの)30%, 三乙酸酒石酸イオン6%である。このうち酒石酸自身はCD変化に寄与しない、解離した酒石酸イオンはわずかであるからニホによる寄与も無視できよう。だから上ののような大きなCD変化はL-酒石酸水素イオン(-価)によって生じたものであるといえる。この場合にL-酒石酸イオンに匹敵する立体選択性を $[Co(en)_3]^{+}$ の各異性体に対する表示から、L-酒石酸イオ

ンのニ>目のカルボキシル基は $[Co(en)_3]^{3+}$ との水素結合によってなすり立つ、立体選択性によって重要なものはない^{*3)}。

L-酒石酸イオンを共存させた時に 31C 特に錯体がノ異性体の時に最も大きな CD 变化が起こること (Fig. 9), 31C この酒石酸イオンはリニゴ酸イオンとニ>目の水酸基を導入した構造であることを考えると結局二番目の水酸基がイオン結合に 31C D スペクトルを大きく変化させることに重要な役割を演じていることになる。

次に L-酒石酸イオンにおけるニ>の水酸基と一つのカルボキシル基の酸素原子が、*lcl* 型配座をとったトリスジアミンコバルト(IV)錯体の問題と存り、三本の N-H 基と水素結合しているトリアイオン対構造が推定される。

このイオン対モデルは立体選択性的 CD スペクトル変化を十分説明することができる。 Fig. 11 は L-酒石酸イオン存在下に関連イオ

*3) このことは次のような実験事実から支持される。 すなはち、 $[Co(en)_3]^{3+}$ は前にすでに述べたように SP-セファテックスカラム ($\phi 1.2 \times 100 \text{ cm}$) で、 0.15 M L-酒石酸ナトリウムを溶離液と用いて完全分離されながら (光学異性体に対応する二つのバンドに分かれ) が、この時 0.32 M L-酒石酸水素ナトリウムを用いて全く同様に分離されることを筆者は見出した (Fig. 30(B))。³⁸⁾

L-tartrate²⁻ meso-tartrate²⁻ L-malate²⁻ succinate²⁻

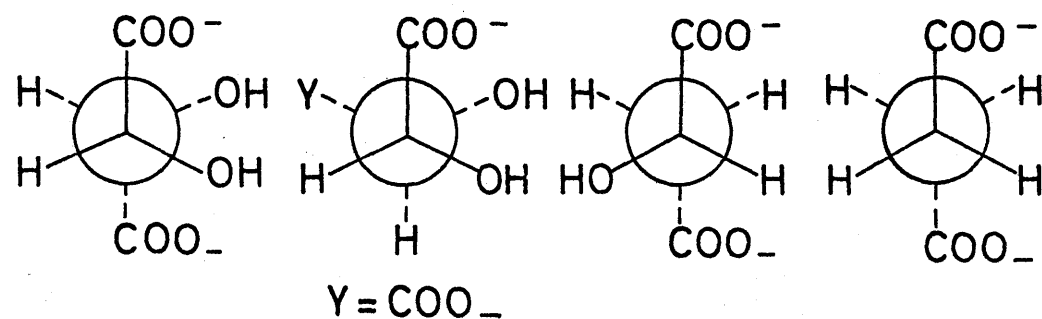
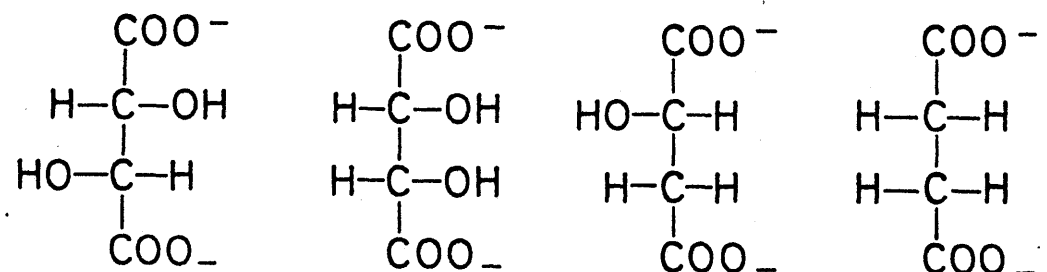


Fig. 11. Schematic representation of the structures of tartrate and related ions.

ンの構造を示したものである。L-酒石酸イオンの COO^- , OH そして OH 基が時計回りの方向に配列している。このことより異性体に対する大きな CD 変化を引き起こすことが立体選択性に寄与しているとする。L-酒石酸水素イオンと L-タルトニル酸イオンはこの配列に関して L-酒石酸イオンと全く同様であるからトリスジアミンユバルト(IV)錯体に対する当然立体選択性を保持しているであろう。メチル酒石酸イオンは二種の不斉炭素原子 ($R \neq S$) を持つあり、S配置の炭素原子に結合したカルボキシル基と水素が入るからこれが L-酒石酸イオンと異なる点である。さうであるから Fig. II でもかくように時計回りの COO^- , OH, OH の配列に関して L-酒石酸イオンと変わることではなくて L-酒石酸イオンと同様へ異性体に対する大きな CD 変化を与える。また Δ 異性体に対する上とは逆に S配置の炭素原子に結合する COO^- と OH そして R配置の炭素原子に結合した OH を用いねば上の場合とは対掌的な関係となりやけり大きな CD 変化を引き起こすことになるであろう。

筆者らの研究発表後, Kushiらは $\Lambda(\text{+})_D\text{-}[\text{Co}(\text{en})_3]\text{Br}\cdot(L\text{-C}_4\text{H}_4\text{O}_4)\cdot 5\text{H}_2\text{O}$ の X線結晶解析を行なった。³⁹⁾ この結果を Fig. 12(B) に示す。Λ異性体の三回軸方向にのべた三本の N-H (ただしこの図では水素原子は書かれてない) が向い合う位置に L-酒石酸イオンの

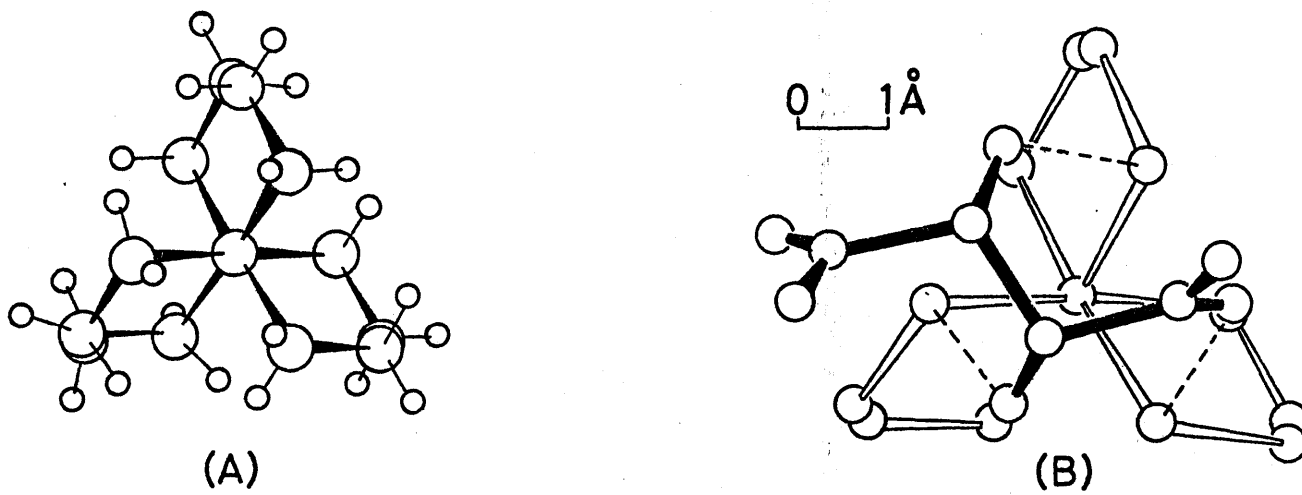


Fig. 12. Perspective views of $\Lambda\text{-}[\text{Co}(\text{en})_3]\text{Cl}_3 \cdot \text{H}_2\text{O}$ (A) and $\Lambda\text{-}[\text{Co}(\text{en})_3]\text{Br}$ (L-tartrate) (B) along the C_3 axis, determined by the X-ray analyses.

一つのオルボキシル基と二つの水酸基の酸素原子が存在して水素結合を形成することがある。少なくて多結晶中では上記述べたような水素結合様式が存在することをこのことは示してあり、この構造が溶液中においても存在することの可能性を支持するものである。

Fig. 11 (A) からわかるように $[Co(en)_3]^{3+}$ の A 異性体では三回軸方向に向かう三本の N-H は少し三回軸から傾いており反時計回りに旋回している。一方、Δ 異性体では逆にこなこは時計回り方向にねじれています (lal₃ 型 $[Co(Pn)_3]^{3+}$ 錫体の A と Δ 異性体の場合も全く同様な状況である)。したがってこのことが L-酒石酸イオンとの立体選択性的イオン結合に関するものであるようにみえる。しかしながら、このような N-H のねじれの方向のちがいによる L-酒石酸イオンに対する立体選択性への寄与は $[Co(tn)_3]^{3+}$ と $[Co(tmd)_3]^{3+}$ の場合との比較からたゞ之存在したとしても非常に小さな寄与であると考えられる。このことは $[Co(tn)_3]^{3+}$ 錫体のキレート環のコンフォーメーションと関連して次の章で述べることにする。

6. 結論

上に述べた各実験の結果は $[Co(en)_3]^{3+}$ と酸素酸イオン (リン酸)

イオン)のイオン会合に対する Mason のイオン対モデル(水素結合によるイオ会合モデル)が酸素酸イオンの一種である酒石酸イオンとのイオン会合の場合にもあとはまるこことを示すとともに、 $[Co(en)_3]^{3+}$ の光学異性体に対する L-酒石酸イオンが立体選択性を示す原因をも明らかにしている。すなうす、L-酒石酸イオンの共存が $[Co(en)_3]^{3+}$ の H-D 交換速度におよぼす効果、L-酒石酸ナトリウムを溶離剤とするカラムクロマトグラフーにおける溶離の順序、さらに L-酒石酸イオンの共存が $[Co(en)_3]^{3+}$ の CD スペクトルにおよぼす影響は一致して L-酒石酸イオンが $[Co(en)_3]^{3+}$ の Λ 异性体に対する選択性に強い相互作用をもつことを示した。また $[Co(pm)_3]^{3+}$ の各異性体の L-酒石酸ナトリウムによる溶離順の比較や $[Co(en)_3]^{3+}$ の CD スペクトルにおよぼす各種ヒドロキシカルボン酸イオンの影響の比較はイオン対の構造推定を可能にした。

つぎに各実験からの結論およびこれをふまえださる、 $[Co(en)_3]^{3+}$ と L-酒石酸イオンとのイオン会合が特に立体選択性にある理由すなうす立体選択性イオン会合の機構について明るかにするこことを要約する。

水溶液中における $[Co(en)_3]^{3+}$ のアミノ基の水素交換速度はイオン対を形成することにより減少する。L-酒石酸イオン共存の場合このイオン会合効果は立体選択性である、Λ 异性体では Δ 异性

体に比べて交換速度はより小さくなる。このような水素-重水素交換速度の測定結果の解析により $[\text{Co}(\text{en})_3]^{3+}$ の八異性体をさばく△異性体と L-酒石酸イオンとの 1:1 イオン会合定数に対して 0.3 から 4.0 までに 32 (ただし I=0.1) と、立体選択性を反映した値を得ることができた。

^{13}C NMRスペクトルの測定において $[\text{Co}(\text{en})_3]^{3+}$ の炭素原子のシグナルはイオン会合にともないて低磁場側にシフトする (ただし最大で約 0.3 ppm のシフト) ことがわかった。L-酒石酸イオンと共存させた時八異性体と△異性体の間の化学シフト値に差がないこと、L-酒石酸イオンによる立体選択性の効果はみられない。しかし、各種のトリスジアミンコバルト(四)錯体の ^{13}C NMRスペクトルと同一酸素酸イオンを共存させた比較の場合相対的に大きな低磁場側シフトを示すものはこの陰イオンとの会合度が高いがあるのはそのイオン対が安定であるという傾向があつた。

SP-セファデックスカラムクロマトグラフィーにおける溶離順の傾向から、お互いに同様な骨格構造をもつトリスジアミンコバルト(四)錯体のうち錯体の三回軸反りしは近似的な三回軸の方向へのすべて三本の N-H が構造上この方向に平行にそろってあるものは容易に平行にそろうことのできる錯体は、硫酸イオンあるいは酸素酸イオンとのイオン会合度が高くしたが、これより不安定なイオン

対を形成するため有利であることはもちろん、硫酸イオンを含め乙酸素酸イオンとのイオン対形成においてこれら三本のN-H基の配列状態は重要な要素であることがわかった。

$[Co(en)_3]^{3+}$ の水溶液中のCDスペクトルは酸素酸イオンの共存により非常に変化する。特にL-酒石酸イオンの場合にはこの変化は Δ 異性体と Λ 異性体のCDスペクトルに対する立体選択性である。このようなCDスペクトル変化の測定結果から、 $[Co(en)_3]^{3+}$ を含むトリスジアミンコバルト(IV)錯体とL-酒石酸イオンが水素結合をとる際、このイオン会合する二つのイオン構造を表した場合、L-酒石酸イオンにおけるこのような水素結合に関するところではニつの水酸基の酸素原子と一つのカルボキシル基の酸素原子があることがわかった。

結局、 $[Co(en)_3]^{3+}$ の光学異性体とL-酒石酸イオンとのイオン会合が立体選択性的イオン対形成であるためにはL-酒石酸イオンにおける上のような水素結合様式が非常に大きく寄与しているからであることは従来多くの報告がある。一方、錯体側における三回軸方向に並ぶ三本のN-HがL-酒石酸イオンの三個の酸素原子との水素結合に関するところ、これら三本のN-Hが安定な水素結合を形成するところがまた立体選択性的イオン会合であることに重要な条件である。したがって、三回軸に対する平行性の

より三本のN-Hを+/-する、 $[Co(en)_3]^{3+}$ を含めたトリスジアミンユバルト(IV)錯体は磷酸イオンなどの酸素酸イオンと安定なイオ対をつくることができかつ、L-酒石酸イオンに対するのはこの光学異性体間にありて比較的大きな立体選択性を示すものと考えられ
る。

Ⅱ. 立体選択性イオン会合の応用：光学活性イオン交換体の合成とカラムクロマトグラフ法による金属錯体の分離への応用

1. 序論

液体クロマトグラフ法により金属錯体のラセミ体を分離する試みは古くからなさへこきた。最初に行なった例は植田らのバナナ法⁴⁰⁾である。すなはち彼らは錯体のラセミ体水溶液に右水晶の粉末を加えおくと上澄液が旋光性を示すようになることを見出したのである。

液体クロマトグラフ法で分離を行なうためには鏡像体を区別するためには不斉な条件（キラリティー）がえん人剤（担体）あるいは溶離剤に与えられなければならぬ。初期によく用いられたのはえん人剤にキラリティーをキラキラを用いる方法であった。この目的のために不斉構造をもつ天然物質が容易に得られることがよく利用されこいた。この場合、上の水晶の例をうごあつたが、このほどえん人が不斉吸着によるものであった。電荷をキライオン性のラセミ錯体につけては他の光学活性錯イオンあるいは光学活性イオンとの間でジアステレオマーを生成させジアステレオマー間の物理化学的性質の差をとえば溶解度差を利用して分離がきく

しました、自然水晶等他の方法による可能性があるから上のようないくつかの吸着による分離が試みられたのはほとんどが無電荷錯体を対象とするものであった。

右水晶(あるいは左水晶)の粉末が不溶吸着性を有することが確かめられたからこのような水晶の粉末のカラムを用いてクロムあるいはユバールト無電荷錯体の分離の試みが行なわれたが、必ずしも人の手で分離されたことはなかった。^{41), *4)} この他に左の人刺と左 D-(+)-ラクトースを用いて有機溶媒を溶離液としてトリス(アセチルアセトナト)金属錯体の部分分離が行なわれた。⁴²⁾ テンションあるいはヤリロースは D-(+)-グルコースの高分子重合体であるため不溶構造をもつて外数の水酸基をもつてゐるため極性に富んでいて液体クロマトグラフィーにおける錯体を区別する比較的良効な左人刺の一種である分離の試みに用いた例が多数ある。実際、錯体には左が 3-ブロモカンファースルファン酸がテンションカラムを用いてほぼ完全分離部分を得られる。⁴³⁾ 錯体にはジガイモテンションのカラム($\phi 2.2 \times 170\text{ cm}$)により mer- および fac-[Co(gly)₃]が水および塩化メリウム水溶液を溶離液として部分分離された例がある。⁴⁴⁾

一方、イオン性金属錯体を液体クロマトグラフ法で分離する試みは比較的少ない。従来このような試みが少なかつたのはこれを

の錯体は前にも述べたように他の分剖法が有効である場合と比較的多いこと大きな要因であると思われるが、その他にイオン交換性とか不齊構造をもつ洗浄剤(担体)の種類が少ないとモードの原因があると考えられる。

Krebs はデンアントカラムで各種錯体の分剖を試みたが、この中にはイオン性金属錯体も含まれてあり部分分割には成功した⁴³⁾。Taylor と Busch はデンアント粒とセルロースのカラムを用いてニッケル錯体($[Ni(TrI)(H_2O)_3]^{2+}$)の分剖を試みており、デンアント粒カラム($\phi 2.2 \times 60\text{ cm}$)の場合濾出液の前端部と後端部で、多少かどはあるが完全分剖部分を得た。⁴⁴⁾ Brubaker は CM-セルロース(カルボキシル×チルーセルロース)カラム($\phi 2.2 \times 38\text{ cm}$)で、0.1M 食塩水を溶離液として三価のコバルト三核錯体($[Co_3L_6]^{3+}$)を溶離してほとんど完全分割に近い濾出液部分を得た。⁴⁵⁾

Yoshikawa と Yamasaki はイオン交換性セルロースカラム(P-セルロースと DEAE-セルロース)を用いて塩酸水溶液を溶離液として $[Co(en)_3]^{3+}$, $[Co(edta)]^-$, $[Co(dien)_2]^{3+}$ の各イオン性錯体の分剖

*4) しかしながらこころに対する注意深い追試の結果、少なくとも初期に行なわれた水晶による不齊吸着の実験結果は誤りであったという報告がその後出された。A. Amariglio, H. Amariglio, and X. Duval, Helv. Chim. Acta, 51, 2110 (1968).

を試み、部分分離法はあつたがここの錯イオンの分離に対して
液体クロマトグラフィーが実用的に適用できる可能性を示した。⁴⁸⁾

次に彼らは L-酒石酸代 $[Co(en)_3]^{3+}$ のより分離剤であるニトロ
目¹²、溶離液に光学活性な L-酒石酸ナトリウム水溶液を用いる
P-セルロースのカラムクロマトグラフーによって $[Co(en)_3]^{3+}$ の溶
離を行なった。この結果かなりの割合で完全分離部分を得るま
で分離効率を向上させることができた。²³⁾ さうに担体を SE-ある
いは SP-セアデックスカラム($\phi 1.1 \times 120\text{ cm}$)では光学異性体に対
応する二つのバンドに完全に分かれ溶離させ完全分離に成功し
た。²³⁾

$[Co(en)_3]^{3+}$ の場合、塩酸溶液あるいは塩化ナトリウム溶液を溶
離液とした場合には P-セルロースと SE-セアデックスカラムとも
に先に溶離させるのは D 異性体である。一方、L-酒石酸ナトリウ
ムが溶離する時には逆に L 異性体が溶離されるからこの場合に鏡
像体を区別するのは今まで述べた例のように担体自身の不齊構造
すなまちこの場合には骨格をもつログルコースではなくて溶離液
中の光学活性 L-酒石酸イオンである。この故にははじめに述べ
たように溶離液の側に不齊な条件を与えた液体クロマトグラフ法
の一種である。

その後、第二章でも述べたが SE-あるいは SP-セアデックスを

担体とするカラムクロマトグラフは L-酒石酸ナトリウムあるいは
は L-タルトラトアンチモン酸ナトリウム水溶液を溶離液としコ
バルト錯体その他を分離する目的に広く実用的に使われるようになつてきつた。

最近、このようなセファデックス法以外に陽イオン交換樹脂 (Dowex 50W × 8) カラムを用いて L-タルトラトアンチモン酸ナト
リウム水溶液を溶離液とし $cis(0)trans(N)cis(NH_3)-[Co(gly)_2(NH_3)_2]^+$
の完全分離例が報告された。⁴⁹⁾

液体クロマトグラフ法により錯体を分離する場合一般に以下の
ような利点がある。

- i) 完全分離の判定が容易である。すなはち、ラセミ体を溶離し
て完全に溶離帯が分かれた時は明白である、もうしない時も後
述べるようにならに流出液の吸光度と CD 強度からかけの不斉係数
(χ 値) すなはち $\Delta\epsilon/\epsilon$ 値を測定すれば判定できる。
- ii) すぐ述べたように無電荷錯体 (非イオン性錯体) にも適用
できる。
- iii) 分離可能な構造かどうかの判定 (光学活性証明法) に用いる
ことができる。すなはち、非常にわずかな分離効率 (旋光度
あるいは CD 強度) が測定できればよい (先端部と後端部で符号
を示せばもうと確かとなる)。これらよりの分離度は不斉条件

をえたカラムクロマトグラフによりほどの錯体につけて到達可能である。

ここのことに加之て、担体にイオン交換性セファデックスを用いる長所とて次のよう存ることがあげられる。

a) カラムが密につきて物理的に溶離が困難になることが少ない。セファデックスは球形状(ビーズ状)に整形されつゝかつきのサインズキスの如くからアルロースやデンアントの場合と異なりカラムの目詰まりが少なく、したがつて溶離速度を一定に保ちやすい。

b) セファデックスは白色であり、金属錯体は一般に着色していることが多いからカラム内の溶離状況を容易に観測することができる。

上のような液体クロマトグラフ法による分離法における改良すべき点としては次のことがあげられる。

1) 溶離剤として多量の光学活性体を必要とするなど。このため現在は溶離剤の種類が制約され L-酒石酸あるいはその誘導体の塩が使われることが多い。実際上、この他の光学活性体を多量に用ひることは困難である。

2) 滴出液中には常に溶離剤の光学活性体が含まれていること。

そこで滴出液中のこの含まれている錯体のCDスペクトルを測

定する場合には本来の CD スペクトルとは異ったスペクトルを生むことが起こりうる。

こゝの短所はカラムの担体自身に不齊構造をもたせれば改善されることがあるが、セファデックスを含め今までのように担体の骨格部分の不齊性を利用するものは鏡像体の区別には不十分である。立体選択性は小さくしたが、分離効率を低くめた。

以上のような背景からセファデックスにイオン交換基と立体選択性の大きい光学活性基を導入できれば液体クロマトグラフ法（今回の場合イオン交換性セファデックスカラムクロマトグラフィー）による長所を生かすことができる。また、このような光学活性セファデックス（イオン交換基が光学活性であるセファデックス）における溶離剤にさへ光学活性体を使用することによって担体と溶離剤の双方からの立体選択性を利用し分離効率を向上させることは可能であるかもしれない。

L-酒石酸イオンはトリス(ジアミン)コバルト(IV)錯体あるいはその類似錯体に対する大きな立体選択性を示すことが判明し、SP-セファデックスカラムクロマトグラフィーにおける良好な分離剤であることが L-酒石酸基をセファデックスに結合させた光学活性イオン交換体之合成することを最初の目的とした。そして、このイオ

ン交換体のコバルト錯体の欠割に対する応用を検討すること、さらにこのカラムにおける錯体の溶離(欠割)状態から、錯体の酒石酸イオンとの立体選択性あるいは溶液中の錯体の構造に関する知見を得ることも目的とした。

2. L-酒石酸基をイオン交換基とする光学活性

セファデックス(TA-セファデックス)の合成

イオン交換体の骨格となるものとして標題に示したとおりセファデックス(Sephadex)を用いた。このセファデックスはデキストランとエピクロルヒドリンを用いて架橋したもので(デキストランはD-グルコースの重合体で90~95%が α -L, D-グルコシド結合である), 全体として三次元の網目構造をもつ水に不溶である。²²⁾ その構造(三次元状にあらわしたもの)をFig. 13に示す。このセファデックスは圓からわかるように数多くの水酸基を保有しておりニ級アルコールの一種である。すなうて述べた SP-あるいは SE-セファデックスはこのような水酸基のうちいくつかがボスルフオロヒル基($-O-(CH_2)_3-SO_3H$)あるいはスルフオエチル基($-O-(CH_2)_2-SO_3H$)で置換されたものである。

一方, L-酒石酸は水酸基をもつやけりニ級アルコールの一種で

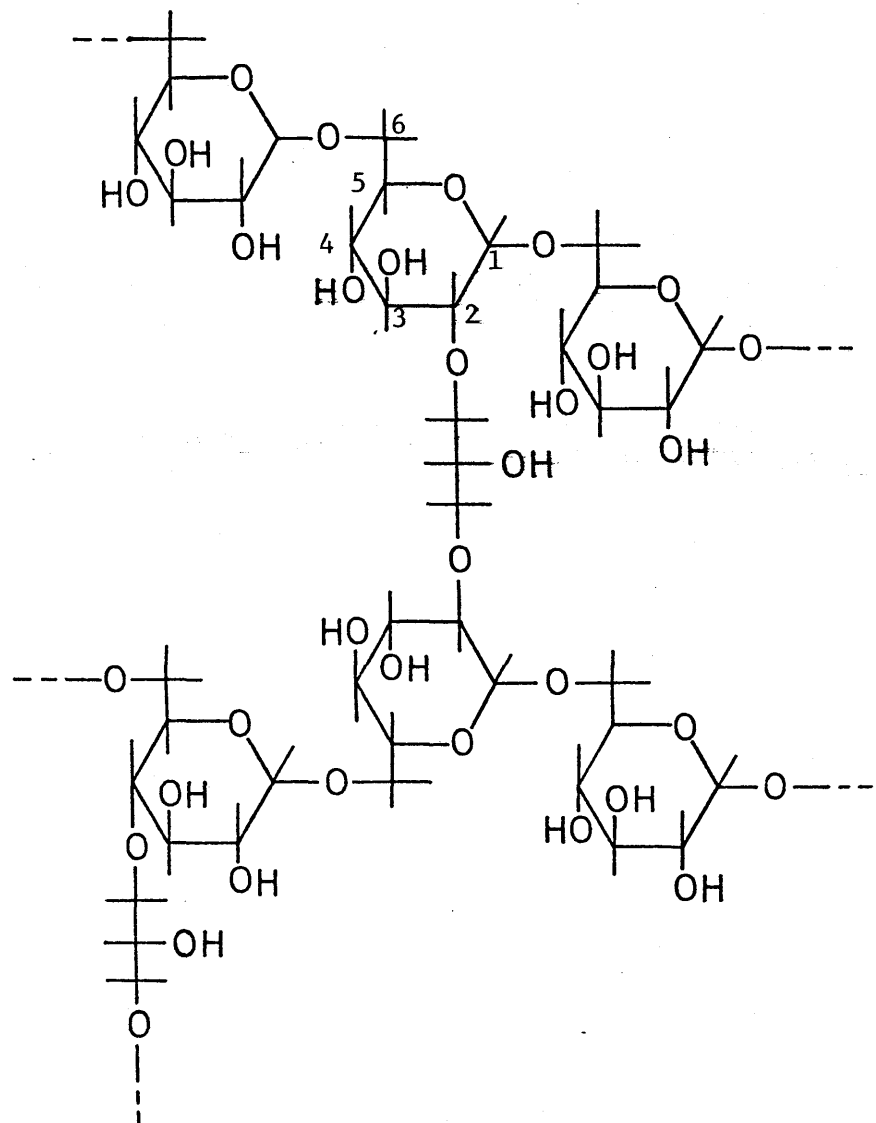
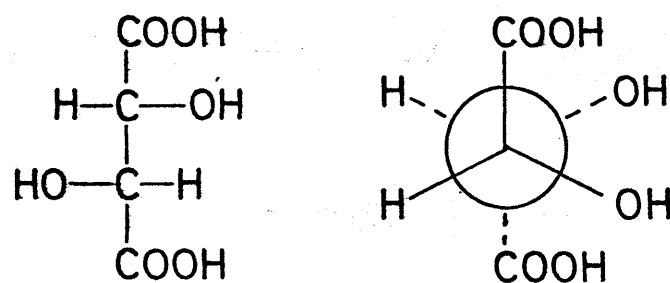


Fig. 13. Schematic representation of the structure of Sephadex (Bridged dextran).



L-Tartaric acid

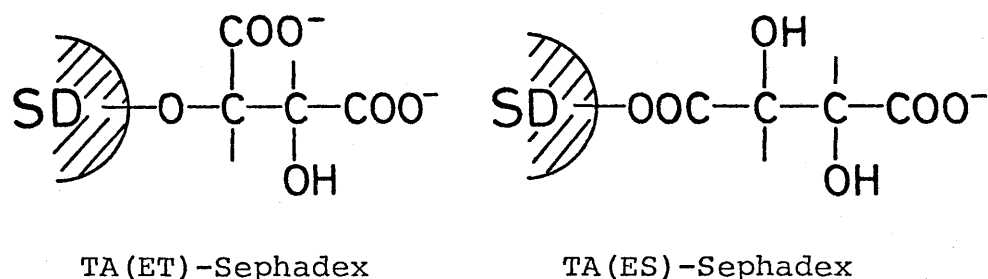


Fig. 14. Schematic representation of the structures of L-tartaric acid and two kinds of TA-Sephadex.

あると同時にカルボン酸の一種であるから、二級アルコールであるセアデックスと反応した場合にはエーテルあるいはエステルを生ずることが期待される。かくして L-酒石酸基を導入したセアデックスには二種類のものが存在しうる。このうちエーテル結合によつて結合したものと TA(ET)-セアデックスと L-酒石酸基を導入したセアデックスとよぶことにする。

これら二種の TA-セアデックスの構造を Fig. 14 に示す。この図で SD と書かれたものは骨格であるセアデックス部分を示す。こゝの TA-セアデックスはイオン交換基がカルボキシル基であるからいづれも弱酸性陽イオン交換体の一種である。

2.1 実験

TA(ET)-セアデックス： セアデックス(G-10) 60 g を 120 ml の L-酒石酸ジエチルに加えよくかくはんした。この混合物にかくはんしながら濃硫酸 2 ml を少しずつ滴下して加えた。約 80 時間 60°C で加熱、かくはん後混合物を過して水でよく洗った。これに 0.1 M 水酸化ナトリウム水溶液を加えて L-酒石酸ジエチルを加水溶解させると同時に結合した L-酒石酸基をナトリウム型とした。生成物を水からエタノールで洗い約 80°C で乾燥した。これの一部をとり $[Co(en)_3]^{3+}$ に対する交換容量を測定した。交換容

量を上げるために最初のセファデックス(G-10)のかわりに、部分的にエーテル化されたセファデックスを用いて上述の操作をくり返した。

TA(ES)-セファデックス： セファデックス(G-25)40gを160mlの5M L-酒石酸水溶液に加えてよくはんし、十分にぼうじゅんさせた。3週後、3紙上にハリゲー乾燥器中にあき約110°Cに保つて乾燥と同時に加熱した。約4時間後生成物を水でよく洗い0.5M 硫酸ナトリウム(あるいは0.1M 炭酸水素ナトリウム)中に移してかくはん(ナトリウム型とした。この混合物を3週いた後、水でエタノールで洗い約80°Cで乾燥した。そして3の一部をとり $[Co(en)_3]^{3+}$ に対するイオン交換容量を測定した。この部分的にエステル化した生成物を用いてさほど二回上の操作をくり返した。

$[Co(en)_3]^{3+}$ に対するイオン交換容量の測定： 乾燥したTA-セファデックス(ナトリウム型のもの)の一定量(約0.5g)をはかりとり+水でぼうじゅんさせた後過剰の $[Co(en)_3]Br_3$ 水溶液を加えて飽和まで吸着させた。十分水洗いた後1M塩化ナトリウムで溶離し、溶出液をXスフラスコに受け水を加えて一定量(100ml)とした。この溶液の470nmにおける吸光度を測定し、TA-セファデックス1.0g(Na型、乾燥重量)あたりの $[Co(en)_3]^{3+}$ の吸着量を求めた。

^{13}C NMRスペクトルの測定： ナトリウム型にいたTA(ES)-

Table 7. Exchange capacity of TA-Sephadex for $[\text{Co}(\text{en})_3]^{3+}$ ^{a)}

(A) TA(ET)-Sephadex

react.times	1	2	3
run 1	0.12	— ^{b)}	0.24
run 2	— ^{b)}	0.17	0.22

(B) TA(ES)-Sephadex

react.times	1	2	3	4
run 1	0.21	0.31	0.45	
run 2 ^{c)}	— ^{b)}	— ^{b)}	0.34	0.43

(C) D-TA(ES)-Sephadex

react.times	1	2
run 1	0.11	0.17
run 2 ^{d)}	0.29	0.33

a) Capacity unit: mmol / g

b) Capacity not measured.

c) Made to react with 70 g of Sephadex and 500 ml of a 5 M L-tartaric acid solution.

d) Made to react with 40 g of Sephadex and 200 ml of a 5 M D-tartaric acid solution.

セアデックスと TA(ET)-セアデックスに飽和量の $[Co(en)_3]^{3+}$ を吸着させた後十分に水で洗って余分の $[Co(en)_3]^{3+}$ を除いて水にけんぞくさせたものを測定試料とした。その他に未反応のセアデックス(G-25)と水でぼうじゅんさせた对照試料とした。

測定装置とその方法は第1章の3・1項の場合と同様である。

2・2 結果と考察

得られた TA-セアデックスの $[Co(en)_3]^{3+}$ に対するイオン交換容量を Table 7 の(A), (B)に示す。TA(ET)-セアデックスでは合計三回のエーテル化反応をくり返してイオン交換容量 0.24 mmol/g のものを得た。出発物質のセアデックスは白色であるが得られた TA(ET)-セアデックスは少し黄色味を帯びている。このような色は反応をくり返すことにより少しづつ増加していくようになる。もう一度同じ条件で反応を行なって前の結果を再現することができた(run 2)。Table 7 (A)からわかるように TA(ET)-セアデックスでは反応をくり返してイオン交換容量を増加させることは比較的困難である。一方、TA(ES)-セアデックスの場合は三回エステル化反応をくり返してイオン交換容量 0.45 mmol/g のものを得ることができた。Table 7 (B)のrun 2 は出発物質の量を増やして反応を行なったものであるが全部で四回エステル化を行なう

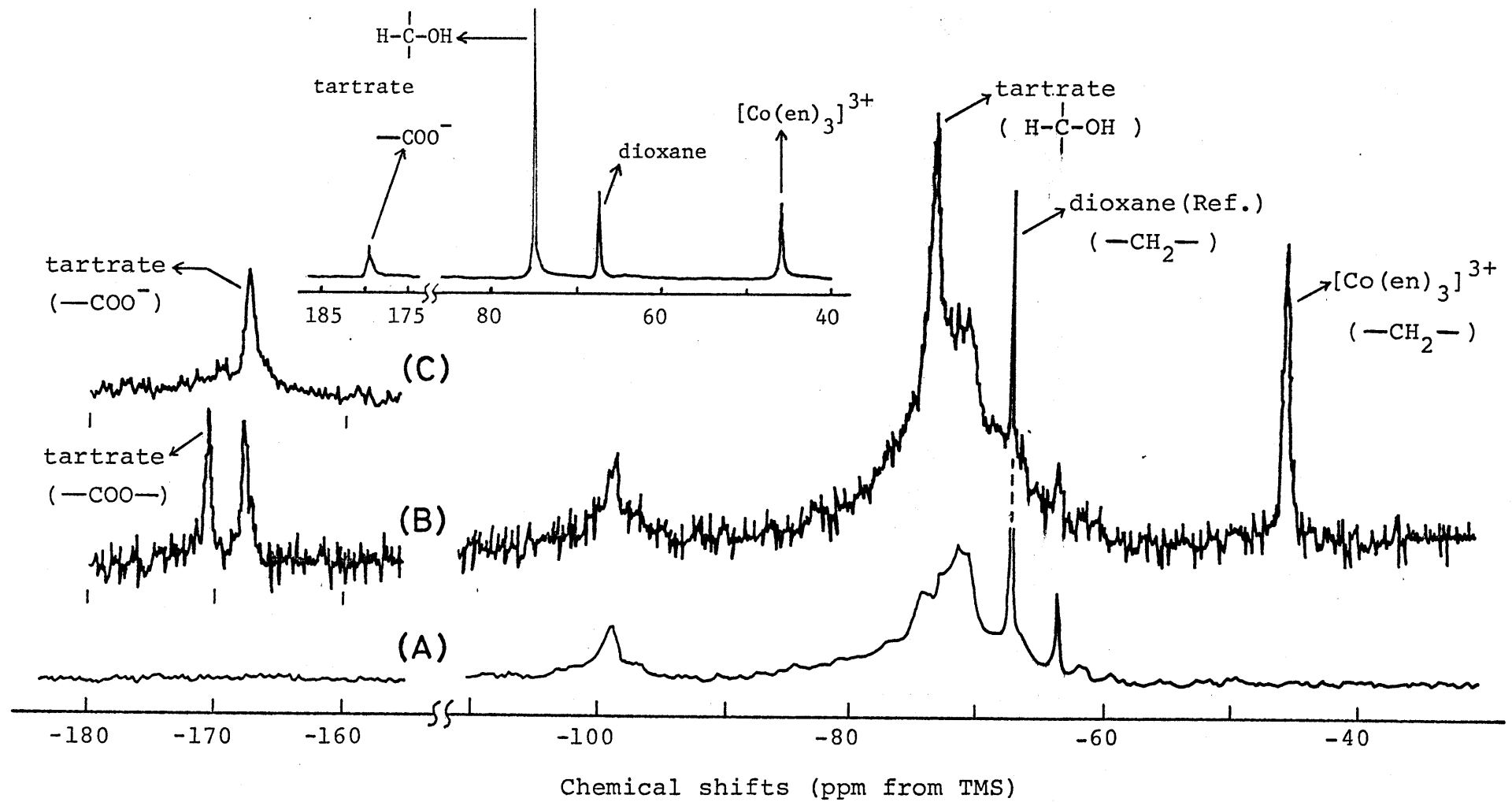


Fig. 15. ^{13}C NMR spectra of Sephadex and TA-Sephadex: (A), Sephadex G-25; (B), TA(ES)-Sephadex; (C), TA(ET)-Sephadex.

The upper spectrum, $[\text{Co}(\text{en})_3]^{3+}$ in sodium L-tartrate solution.

で 0.43 mmol/g のものを得たにすぎない。この場合にはセアデシクスの量が増加したため十分に加熱せんなくこの反応が進まなくなつたものと考えられる。エステル化反応で得られた TA(ES)-セアデシクスはわずかに黄色味がかかり、このままで白色に近いものである。

合成した TA-セアデシクスの ^{13}C NMRスペクトルを Fig. 15 に示す。TA(ET)-セアデシクスのスペクトル(C)における高磁場側の部分(-30 ~ -110 ppm)は(B)のスペクトルとほとんど同じであるが、Fig. 15 では省略している。また左上に示したスペクトルは参考のためにかけた L-酒石酸ナトリウム水溶液における $[\text{Co}(\text{en})_3]^{3+}$ のスペクトルである。

TA(ES)-セアデシクスと TA(ET)-セアデシクスとともに -45 ppm 附近には $[\text{Co}(\text{en})_3]^{3+}$ のメチレン基の炭素原子のシグナルが、-73 ppm 附近にはセアデシクス骨格の炭素原子によるシグナルに重なる L-酒石酸のメチン炭素原子(H-C-OH) のピークがあらわれている。さらに -63 ppm 附近と -98 ppm 附近的ピークはセアデシクス骨格の炭素原子によるシグナルである。このシグナルは両 TA-セアデシクスによればほぼ同様であるが、-170 ppm 附近のオルボキシリル基の炭素原子に対応するシグナルは両者で明らかに異なる。すなはち、TA(ET)-セアデシクスの場合一本のピー

クがあらわるのとあるが TA(ES)-セアデックスはほぼ 1:1 の強度比をもつ二本のピークが観測される。ここのカルボキシル炭素原子によるシグナルの様子は予期されたとおりである。なぜなら TA(ET)-セアデックスはほぼ等価であるカルボキシル基が二つ存在するけれども TA(ES)-セアデックスにはエステル結合しているカルボキシル基と遊離のカルボキシル基と二種の非等価な二種のカルボキシル基が存在するはずだからである。ここのカルボキシル基の炭素原子のスペクトルの比較から TA(ES)-セアデックスのカルボキシル炭素原子の二本のシグナルうち位磁場側のものがエステル結合に関与しているカルボキシル基の炭素原子のシグナルであると帰属される。

かくして ^{13}C NMR スペクトルの測定結果から TA(ES)-セアデックスと TA(ET)-セアデックスとありの L-酒石酸基が主としてエステル結合とエーテル結合により結合していることが確かめられた。

3. TA-セアデックスカラムによる $[\text{Co}(\text{en})_3]^{3+}$ 錫体の直接分離と TA-セアデックスへの吸着状態の安定性

合成した二つのタイプの TA-セアデックスのカラムを用いて $[\text{Co}(\text{en})_3]^{3+}$ 錫体の直接分離はないうち、光学活性体を含まない溶離液を用いて固定相(担体)中の光学活性基だけの寄与により分離

することを試し、TA-セアテックス両者の交割効率を比較して検討した。

また $[Co(en)_3]^{3+}$ の、セアテックス陽イオン交換体のイオン交換基への吸着は陰イオンとの間のイオン結合と類似しており、一方前章の結果から $[Co(en)_3]^{3+}$ 錫体におけるメチレン基の炭素原子の ^{13}C NMRシグナルはこの錯イオンがイオン結合するのに伴なってZ位磁場側へシフトすることがわかる。以上から吸着状態の $[Co(en)_3]^{3+}$ の ^{13}C NMR化学シフトを測定することによりこのような吸着状態の安定性を比較することができると考えられる。そこで今回合成した TA-セアテックスを含め各種のセアテックス陽イオン交換体に吸着させた $[Co(en)_3]^{3+}$ の ^{13}C NMR化学シフト値を測定した。

3.1 実験

カラムクロマトグラフ：ナトリウム型（TA(ET)-セアテックス（交換容量、 0.24 mmol/g ）と TA(ES)-セアテックス（交換容量、 0.31 mmol/g ）の両カラム（ $\phi 1.5 \times 78\text{ cm}$ ）に $[Co(en)_3]^{3+}$ 水溶液を流しこみカラムの上部に $[Co(en)_3]^{3+}$ の吸着層が約 0.5 cm になったところまでカラム上部にこぼれた余分の錯体水溶液をとりさり臭化ナトリウム水溶液を洗浄液として流した。濾出液を 4 ml ずつ分取し

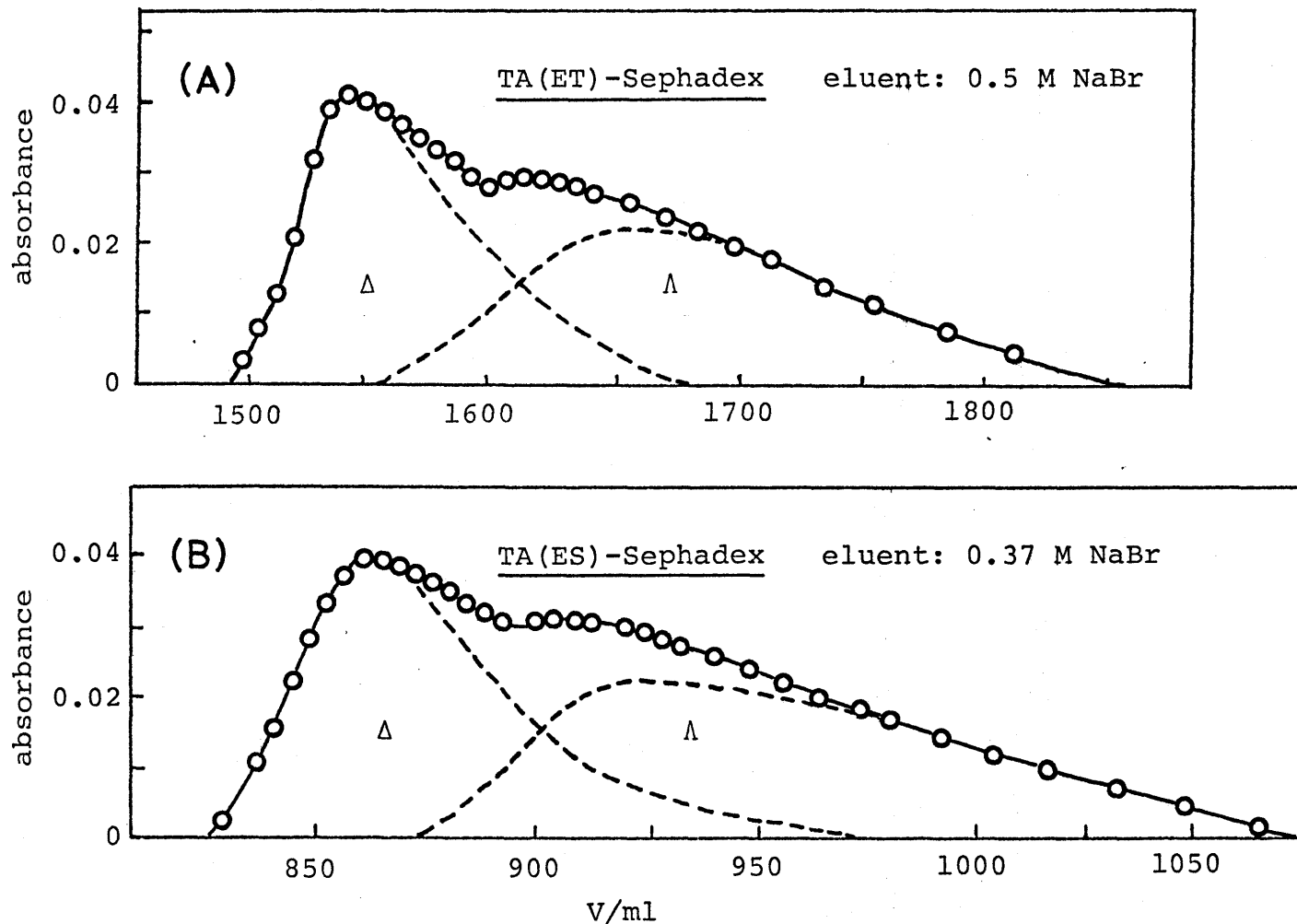


Fig. 16. Elution curves of $[\text{Co}(\text{en})_3]^{3+}$ on columns ($\phi 1.5 \times 78 \text{ cm}$) of TA(ET)-Sephadex (A) and TA(ES)-Sephadex (B).

このおのののにつけて $[Co(en)_3]^{3+}$ のオーヴ吸收帶の極大波長 (470 nm) の吸光度を測定した。硫酸ナトリウム水溶液（濃度は臭化ナトリウムの場合の約 $1/3$ である）を溶離液として用いたときも同様に溶離を行なった。吸光度の測定には日立 101 型分光光度計を用いた。 ^{13}C NMR スペクトルの測定法はすこにこの章の 2 項のところと述べたとおりである。

3.2 結果と考察

臭化ナトリウム水溶液を溶離液として用いた $[Co(en)_3]^{3+}$ の溶離の結果得られた溶離曲線を Fig. 16 に示す。硫酸ナトリウム水溶液を溶離液に用いた場合にもこの図と同様の溶離曲線を与えたから溶離剤のちがいは今回の溶離結果には影響を及ぼさない（ただし後で述べる分離効率に対する影響も小さいであろう）。

両カラムにおける先に述べた溶離順におよぼすイオン結合の効果から予想されるおり、異性体が人異性体より早く溶出されくる。 $[Co(en)_3]^{3+}$ の光学異性体の CD 強度 ($\Delta\epsilon$ 値) はすこし知られるから、分取された各フラクション溶液の 490 nm における CD 強度と 470 nm の吸光度の測定結果を用いて各分取フラクションにおける分離率が求められる。これにより溶離曲線を各異性体に対応するものに分けたものが Fig. 16 中に破線で示したも

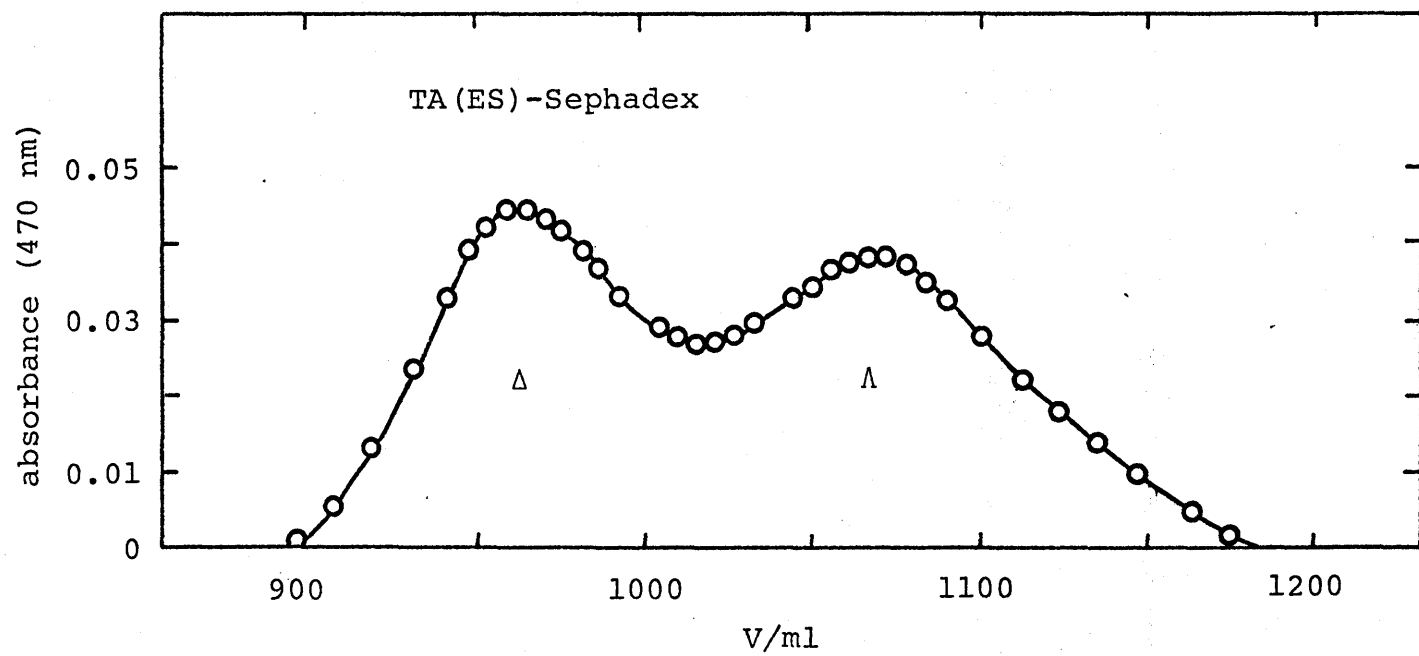


Fig. 17. Elution curve of $[\text{Co}(\text{en})_3]^{3+}$ on a column ($\phi 1.5 \times 76 \text{ cm}$) of TA (ES) - Sephadex (0.45 mmol/g). Eluent: 0.15 M Na_2SO_4 .

のである。どううのカラムの場合にも溶離曲線の最初と終りの方に相当するフラクションは完全分離(光学純度100%の対掌体に分かれること)が達成されることはかかる。イオン交換容量をさうに増加させたTA(ES)-セファデックス(交換容量, 0.45 mmol/g)のカラムを用いた場合には溶離曲線の分離がさうに進み、ラセミ体のほとんど完全分離されるようになる(Fig. 17)。この場合カラムをもう少し長くすれば溶離曲線は各異性体に対応する二つのバンドに完全に分かれざるう。

SP-セファデックスカラムについて $[Co(en)_3]^{3+}$ を 0.4 M 塩化ナトリウムで溶離した時 TA-セファデックスと同様に△異性体が先に、△異性体が後に溶離されることはなかれど、こゝがこの場合先端部で△の分離率はせいぜい数%である。⁴⁸⁾ 之故、セファデックス骨格の不齊性による $[Co(en)_3]^{3+}$ の分離への寄与は無視ざるものである。

今回の結果は人工的に合成された光学活性イオン交換体を担体として用いたカラムクロマトグラフィーによる金属錯体の直接分離の最初の例であると考えられる。

Fig. 16 の(A), (B)の溶離曲線を比較するとこゝにはほとんど同程度の分離効率であるようだ。しかし、TA(ES)-セファデックスの出発物質であるセファデックス(G-25)は TA(ET)-セファデックス

ス(G-10)に比べてほうじゅん度が2.5倍も大きい。だからイオン交換容量はTA(ES)-セアデックスの方が多少大きいことを考慮して全体とTA(ES)-セアデックスは単位体積当たり相対的に少いイオン交換容量であるが、分割効率が相対的に大きいといえる。

このようにTA(ES)-セアデックスがTA(ET)-セアデックスに比べて $[Co(en)_3]^{3+}$ に対する立体選択性が大きいことは前章の結果ともよく一致する。すなはちTA(ES)-セアデックスにおいてL-酒石酸基はカルボキシル基一つと水酸基二つをL-酒石酸イオンと交換する状態で保持しているから、L-酒石酸イオンと同様に $[Co(en)_3]^{3+}$ に対する立体選択性に作用を及ぼすのである。

かくして非常に簡単な方法で合成できることからも $[Co(en)_3]^{3+}$ を分割する目的のためにはTA(ES)-セアデックスを用いることが望ましいといえよう(ただしエステル結合があるから溶離条件が限られるという短所がある)。

TA-セアデックスを含む各種のセアデックス陽イオン交換体に $[Co(en)_3]^{3+}$ を吸着させ ^{13}C NMRスペクトルをとり $[Co(en)_3]^{3+}$ のメチレン基の炭素原子の化学シフト値を測定した結果を、水溶液中におけるシフト値(-45.68 ppm)と比較したもののがTable 8 である。これらの中のセアデックス陽イオン交換体に吸着された $[Co(en)_3]^{3+}$ の化学シフト値はイオン交換基と100%会合した $[Co(en)_3]^{3+}$ のシ

Table 8. ^{13}C Chemical shifts of $[\text{Co}(\text{en})_3]^{3+}$
sorbed on the Sephadex derivatives

Sephadex Derivatives	$\delta^{\text{a})}$
none (aq. soln.)	-45.68
CM-Sephadex	-45.79
SP-Sephadex	-45.77
TA (ET)-Sephadex ^{b)}	-45.87
TA (ES)-Sephadex ^{c)}	$\Delta-$ -45.91
"	$\Delta-$ -45.91

a) Shifts in ppm from TMS: negative, downfield.

b) Capacity: 0.22 mmol $[\text{Co}(\text{en})_3]^{3+}$ /g.

c) Capacity: 0.40 " "

フト値とみなすことができる。

この表からわかるようにすべてのセファデックス陽イオン交換体において低磁場側へのシフトが観測されている。セファデックス陽イオン交換体のイオン交換容量は全くそれ異なるがこの大きさの差がシフト値には影響をあたさないと考えられる。なぜなら陽イオン交換体の交換容量にせよアドリケン $[Co(en)_3]^{3+}$ が吸着されてしまうと、SP-セファデックスの交換容量(0.65 mmol/g)はTA(ET)-セファデックスに比べて三倍ほど大きいにかかるず低磁場側へのシフトは後者に比べて小さくなるのである。測定されたシフト値を比較してわかるようにTA-セファデックスよりもTA(ES)-セファデックスの場合にモロとも大きく低磁場側にシフトしている。このことは $[Co(en)_3]^{3+}$ がL-酒石酸基に吸着した状態はTA(ES)-セファデックスにおけるより安定であることを示しているようにみえる。

4. D-酒石酸基をイオン交換基とする光学活性セファデックスイオン交換体(D-TA(ES)-セファデックス)の合成とその応用

TA(ES)-セファデックスカラムクロマトグラフィーによる直接分離法は $[Co(en)_3]^{3+}$ の分離に関するFig. 17 がわかるように十分実用

可能であると思ふが、従来の SP-セファデックスカラムクロマトグラフィー(溶離液、0.15M L-酒石酸ナトリウム)に比べて分離効率は3%以上にすぐれることはいえない。そこで本法ごとに分離効率をあげるためにイオン交換基と溶離液の両方に光学活性体を用いる方法を試した。すなはち、L-酒石酸基のかわりにD-酒石酸基をもつTA(ES)-セファデックス(以下 D-TA(ES)-セファデックスとよぶことにする)を合成し、このカラムごとL-酒石酸ナトリウム水溶液を溶離液として錯体の分離を試した。

4.1 実験

D-TA(ES)-セファデックスの合成方法は用いる酒石酸がD-酒石酸すなはち($-D-C_4H_6O_6$ あるいは $2S,3S-C_4H_6O_6$ であることを除けばほとんどのTA(ES)-セファデックスの場合と同様である。またカラムクロマトグラフィーの方法もすでにこの章の第3項で述べたものと同様である。

溶出液からトリス(トリメチレンジアミン)コバルト(III)錯体、 $[Co(en)_3]^{3+}$ の各異性体の単離は次のように行なった。

完全分離部分の溶出液を3%の異性体別に集め水希釈後小容量のSP-セファデックスカラムに通して錯体を吸着させた。このカラムに十分過剰の0.01M塩酸を流してカラムの錯体未吸着

部分(ナトリウム型と存在するなど)をすべて水素型とした。

1M塩酸錯体を溶媒として用ひての光学異性体の1M塩酸溶液を得た。こゝの溶液を五酸化リンと水酸化カリウムを入れた真空デシケーター中に減圧下に蒸発させ乾固して1-アミド-[Co(en)₃]Cl₃を得た。

吸光度は日立101型分光光度計で測定した。用偏光二色性(CD)スペクトルの測定には日本分光J-20型を用いた。

4.2 結果と考察

D-TA(ES)-セファデックスの合成：合成の結果得られたD-TA(ES)-セファデックスの[Co(en)₃]³⁺に対する交換容量をTable 7(c)に示す。セファデックス(G-25)40gとD-酒石酸水溶液(2.6M)160mlを用いて二回エステル化をくり返して交換容量0.17mmol/gのものを得た(run 1)。こゝで得られたD-TA(ES)-セファデックスは少し淡黄色をおびた白色のキラである。達成されたイオン交換容量が先に述べたTA(ES)-セファデックスの場合と比較して小さくは用いたD-酒石酸水溶液の濃度が低かったためである。5MのD-酒石酸水溶液を用いて反応を行なった時には第一次のエステル化で0.29mmol/gにまで交換容量が増加した(run 2)。さうに3液中のD-酒石酸を回収して第二次の反応を行なったところ交換

容量 0.33 mmol/g のものを得た。

D-TA(ES)-セアデ"タクスカラムによる $[\text{Co}(\text{en})_3]^{3+}$ の分離： イオン交換容量 0.29 mmol/g の D-TA(ES)-セアデ"タクスカラム ($\phi 1.5 \times 77 \text{ cm}$) を用いて $[\text{Co}(\text{en})_3]^{3+}$ の溶離を行なった。溶離液に 0.11 M 硫酸ナトリウムを用いた場合すなはち直接分離の場合には TA(ES)-セアデ"タクスカラム (0.31 mmol/g) を用いた場合とほとんど同じで、ちがつたが異性体の溶離順は逆になり L 异性体が先に、 D 异性体が後に溶出される。このことはまたセアデ"タクス自身の不斉性がこの錯体の分離には寄与している置換基があるところの酒石酸基により分離がなされることは確かにあるものである。

一方、溶離液に 0.12 M L-酒石酸ナトリウムを用いると Fig. 18 に示すように溶離曲線は光学異性体に対応する二つともつに完全に分離し、全部のラセミ体が完全分離された。

まことに述べたように Yoshikawa と Yamasaki は SP-セアデ"タクス(C-25; 交換容量, 0.65 mmol/g)のカラム ($\phi 1.2 \times 110 \text{ cm}$) を用いて 0.15 M L-酒石酸ナトリウムを溶離液としてクロマトグラフ法で $[\text{Co}(\text{en})_3]^{3+}$ の分離を行なった。²³⁾ この場合も溶離曲線が完全に分離したが、これと同程度の分離はもう少し交換容量の小さな D-TA(ES)-セアデ"タクス (0.17 mmol/g) を用いても達成することができた(溶離液, 0.06 M L-酒石酸ナトリウム)。

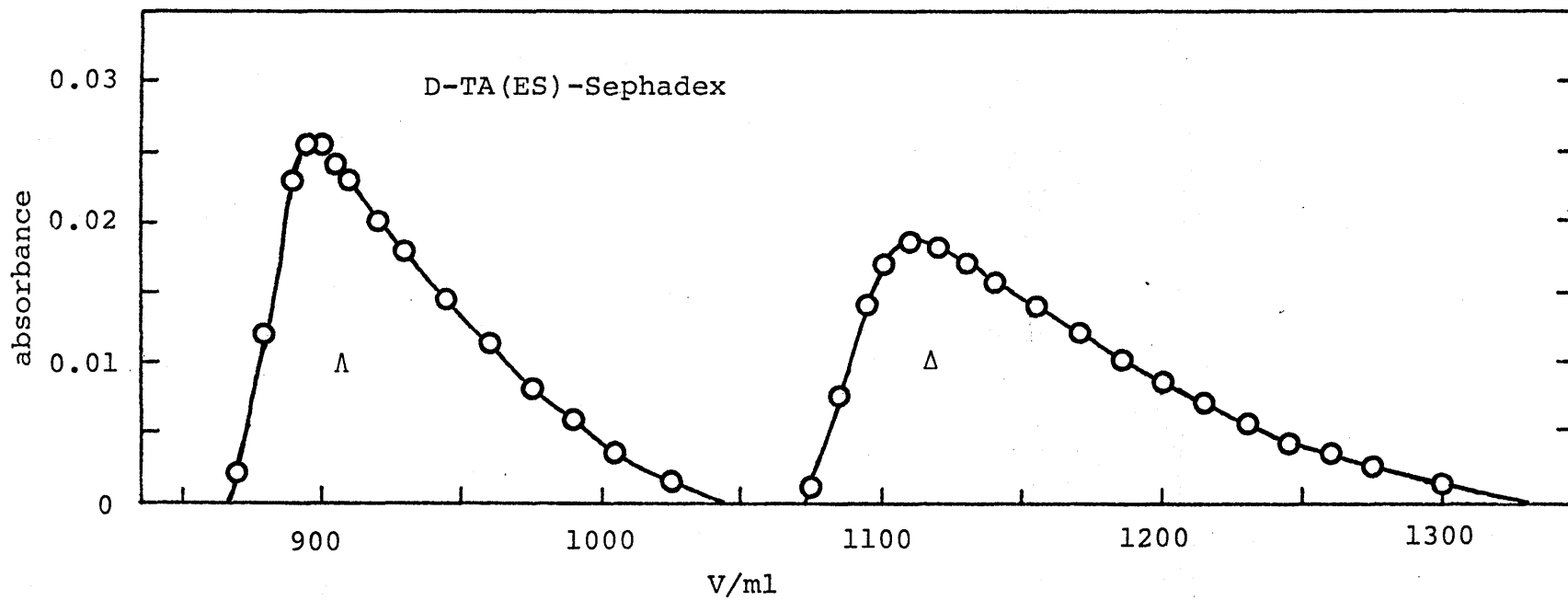


Fig. 18. Elution curve of $[\text{Co}(\text{en})_3]^{3+}$ on a column ($\phi 1.5 \times 77 \text{ cm}$) of D-TA(ES)-Sephadex (0.29 mmol/g). Eluent: 0.12 M $\text{Na}_2(\text{L}-\text{C}_4\text{H}_4\text{O}_6)$.

SP-セファデックス(C-25)の架橋度は TA(ES)-セファデックスの骨格であるセファデックス(G-25)と同様であるから、うばうじゆん度は今回 D-TA(ES)-セファデックスと同程度であることと、(C) D-TA(ES)-セファデックスのイオン交換容量が SP-セファデックスのそれの $1/2 \sim 1/3$ であることを考慮すると本法は SP-セファデックス法に比べてかなりすぐれてゐるといえよう。このような高い効率の $[Co(en)_3]^{3+}$ の分割は D-酒石酸基と、溶離液中の L-酒石酸イオンとによる二重の立体選択性が働いたためと思われる。すなはち、溶離液中の L-酒石酸イオンは Λ 異性体と強く結合して早く溶離されるよう作用し、一方 D-酒石酸基は Δ 異性体と安定な結合を保つ Δ 異性体の溶離を妨げる方に作用する。かくしてこの効果により Λ 異性体と Δ 異性体のカラム上での分離が促進されるのである。

D-TA(ES)-セファデックスカラムによる $[Co(tn)_3]^{3+}$ の分割： イオン交換容量 0.33 mmol/g の D-TA(ES)-セファデックスカラム($\phi 1.5 \times 96\text{ cm}$)を用いて 0.11 M L-酒石酸ナトリウムを溶離液とし $[Co(tn)_3]^{3+}$ の分割を試した。溶離曲線を Fig. 19(A)に示した。

この錯体の光学純度 100% である対掌体のCD強度(Δε値)はまだ確定されていないようである。そこで、今回の溶出液の分割率を推定するためには溶出液の各フラクションについて見かけの不

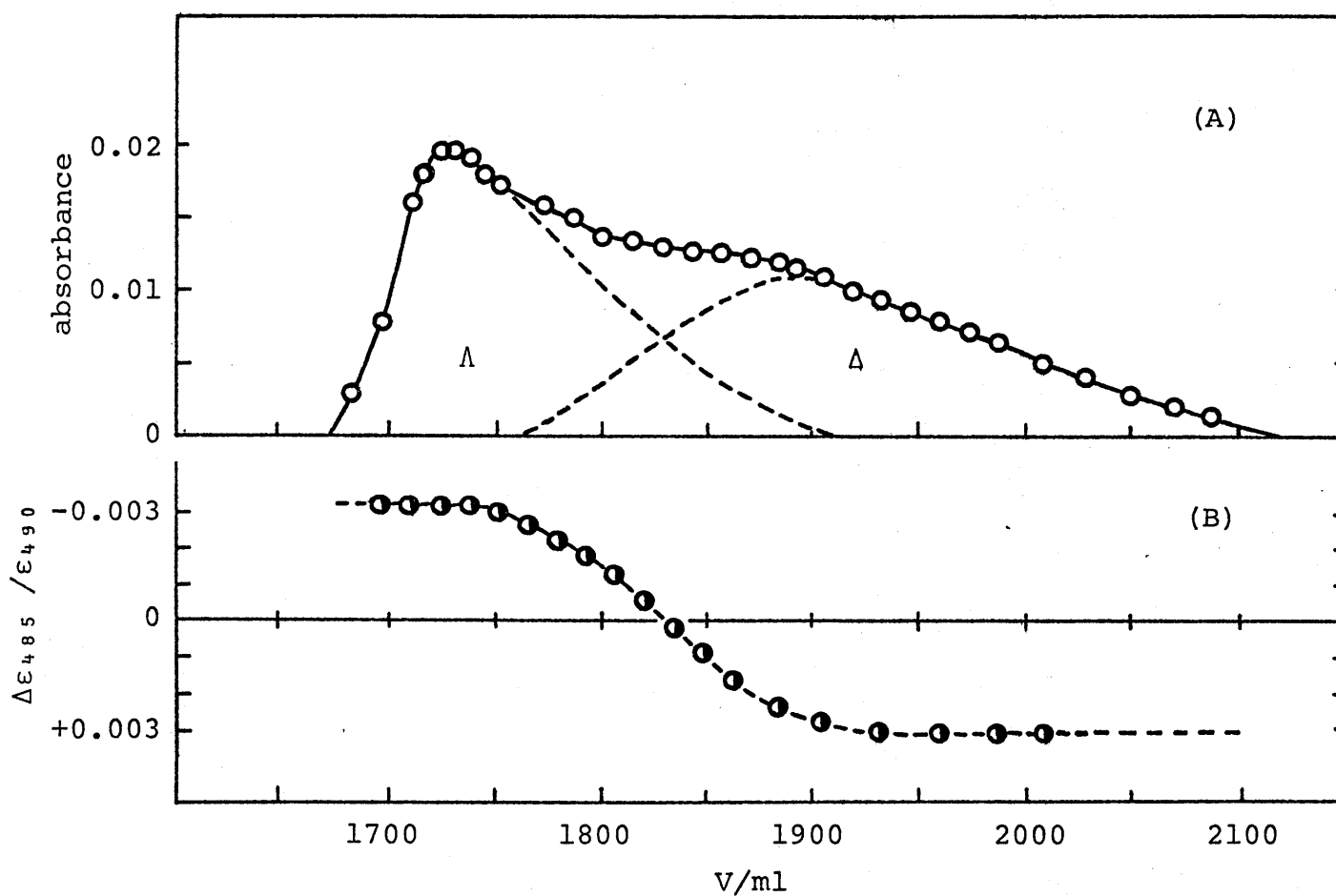


Fig. 19. Elution curve of $[\text{Co}(\text{tn})_3]^{3+}$ (○) on a D-TA(ES)-Sephadex column ($\phi 1.5 \times 96$ cm) and the corresponding curve in terms of the apparent dissymmetric factor (●). Eluent: 0.11 M sodium L-tartrate.

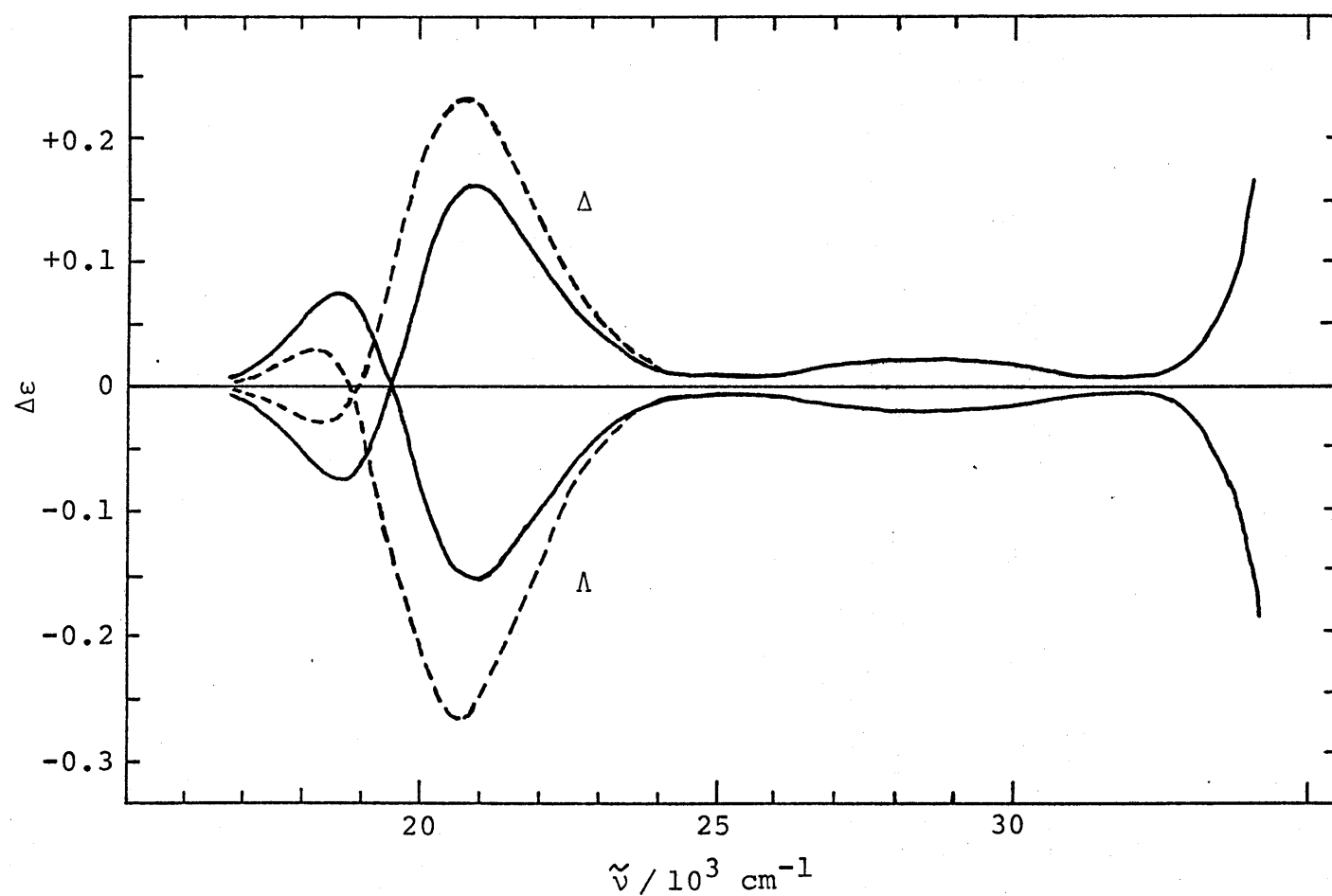


Fig. 20. The CD spectra of L- and Δ-[Co(tn)₃]Cl₃ in water (—) and in the presence of a large excess of sodium L-tartrate (----).

赤外吸収度をもつた値 ($\Delta\varepsilon_{485}/\varepsilon_{490}$) を測定した。この結果を Fig. 19 (B) に示す。この値の絶対値が最大となる一定値となるフラクション (= 1) はその濾出液中に含まれる錯体は光学純度 100 % とみなすことができるからこの一定値となった $\Delta\varepsilon$ 値をもとに 12 各濾出液フラクションにおける分割率を計算して実測の溶離曲線を各異性体に対応するものに分けた。それと Fig. 19 (A) の中に破線で示す。光学異性体の溶離順は A 异性体が先、B 异性体が後である。この図からかなりの割合でラセミ体が完全分離されることが明らかである。この錯体は SP-セファテックスを用いる従来の方法ではほとんど分離不可能であるから、カラムクロマトグラフ法により今回がはじめて完全分離できた例である。

$[Co(tn)_3]^{3+}$ の光学異性体の CDスペクトルおよび水溶液中における構造： 分割された $[Co(tn)_3]Cl_3$ の CDスペクトルは Fig. 20 の中で実線で示さるよう完全に対掌的であり、得られた異性体が光学純度 100 % であることを示している。この CDスペクトルにおける極大値とその波数を、他の研究者によつて得られたものと比較して Table 9 に示す。一方、0.11M L-酒石酸ナトリウム水溶液中における $[Co(tn)_3]^{3+}$ の CDスペクトルを Fig. 20 に破線で示す。錯体の濃度に対して L-酒石酸イオンの濃度は約 280 倍であり大過剰となるからここに示された CDスペクトルは L-酒

Table 9. The $\Delta\epsilon$ values at the CD peaks of $\Delta-[Co(tn)_3]Cl_3$

$\nu/10^3 \text{ cm}^{-1}$	$\Delta\epsilon_{\max}$		
	This work	Judkins ^{a)}	Gollogly ^{b)}
18.7	-0.081	-0.062	-0.08
20.9	+0.165	+0.124	+0.17
28.0	+0.020		

a) Ref. 50

b) Ref. 51

石酸イオンとイオン対を形成した $[Co(tn)_3]^{3+}$ の CDスペクトルと
表えられる。

こからの CDスペクトルと比較してわかるように L-酒石酸イオ
ンは正八面体場における $t_{1g} \leftarrow t_{1g}$ の d-d遷移に対応する $[Co(tn)_3]^{3+}$
の CDスペクトルに対しても立体選択性を示すが特に高波
数側の CDピーク付近に大きな変化を示す。 $[Co(tn)_3]^{3+}$ の
CDスペクトルにおけるリン酸イオンあるいは硫酸イオンを共存
させた場合にも同様のスペクトル変化が観測される⁵²⁾。これ
らの CDスペクトル変化の傾向と L-酒石酸イオンによる立体選
択性は先に述べた $[Co(en)_3]^{3+}$ の場合に非常に類似している。だが
 $[Co(tn)_3]^{3+}$ は L-酒石酸イオンとのイオン結合における $[Co(en)_3]^{3+}$ -
L-酒石酸イオンのイオン対と類似の構造をとる立体選択性を示
すと考えることが妥当である。

$[Co(tn)_3]^{3+}$ のキレート環の可能な配座には大きく分けて chain,
hel-twist (kew-boat), ob-twist (boat) の三種がある。この中で
ob-twist は他の二種に比べて明らかに不安定であるが⁵³⁾、よ
りうる配座とこれは前二者を差し小ばよい。この二種のトリス錯
体の構造を Fig. 21 に示す。

トリメチレンジアミンのキレート環は結晶中ではビス錯体 ($trans-[CoCl_2(tn)_2]Cl \cdot H_2O \cdot HCl$)⁵⁴⁾ としてトリス錯体

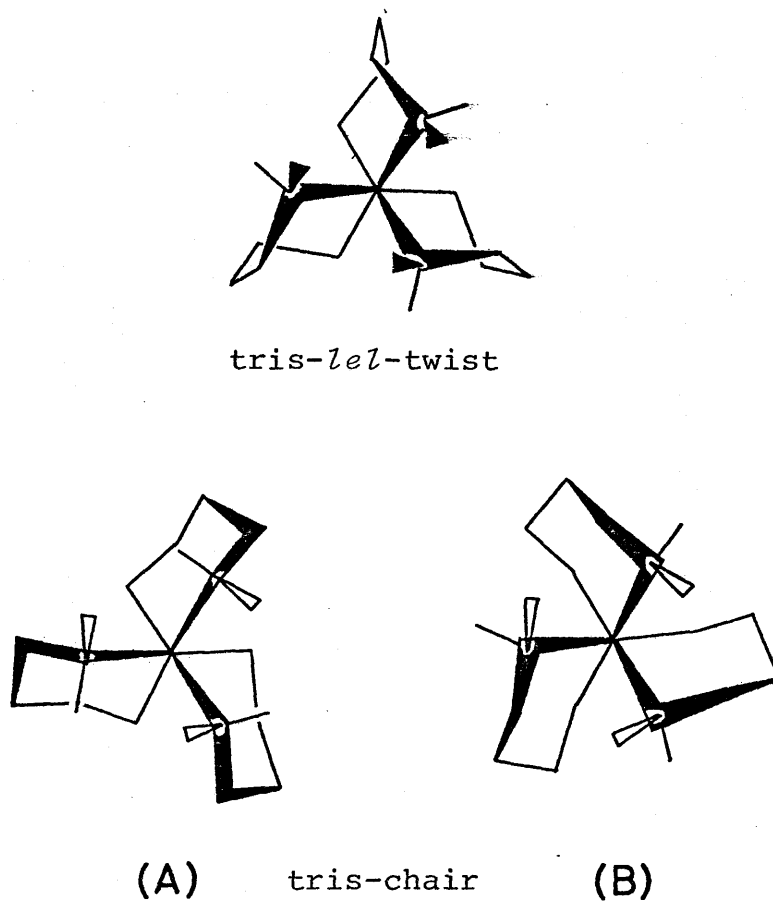


Fig. 21. Schematic representation of the structures of $[\text{Co}(\text{tn})_3]^{3+}$ viewed along the approximate C_3 axis.

$(\Lambda(-)_D - [Co(en)_3]Br_3 \cdot H_2O)^{55}$ とキラ chair 配座があるが溶液中の配座については二説に分かれている。すなはち、トリス錯体に対する Beddoes とは chair 配座が溶液中で安定である 70% の割合で存在する⁵⁶⁾、Butler & Snow はコンフォーメーション解析の結果から気体状態で tris-lcl-twist が tris-chair に比べて 0.9 kcal/mol ほど安定である水溶液中でもリン酸イオンとの水素結合を経由するイオン結合有利であるとしてこの配座が存在すると考へる⁵⁷⁾。この錯体の PMR の測定結果は常温の水溶液中でトリメチレンジアミンキレート環の配座が相互変換してることを示唆しているが⁵⁸⁾、結晶を水溶液に溶かした時イオン対形成と共に配座が chair 型から lcl-twist 型に変化することはありうるであろう。

Fig. 21 からわかるように tris-lcl-twist 構造は D_3 対称があり lcl₃ 構造の $\Lambda-[Co(en)_3]^{3+}$ (Fig. 7) に比べて三回軸に対する平行性は少く悪いがこの方向にのべた三本の N-H の組がある。一方の tris-chair 構造では C_3 対称であり、三回軸の一方の側ではほぼ lcl₃ 型の $[Co(Pn)_3]^{3+}$ と同様である (Fig. 21(B))。またもう一方の側では三本の N-H は三回軸にはとんど直交する方向にのべておりかつ、となり合うメチレン基が三回軸方向に N-H よりも突き出した構造をもつている (Fig. 21(A))。正小故に、三回軸方向から接近

する酸素酸イオンとの水素結合には tris-lol-twist 型の配座が tris-chair 型に比べて構造的に非常に有利である。実際、硫酸イオンとの結合におけるこの配座をとることとは先章の4項の溶離順の測定結果からも推定できる。すなはち、もし tris-chair 構造であれば "N-H の三回軸方向からの傾き" から溶離順は $[Co(pn)_3]^{3+}$ (obf_3) もろいのは $[Co(tmd)_3]^{3+}$ と同じくといふことはない。しかし実際には $[Co(en)_3]^{3+}$ よりは少しが離れて $[Co(pn)_3]^{3+}$ ($\text{lol}_{\perp} \text{obf}$) よりも少しだけ前に溶離され $[Co(tmd)_3]^{3+}$ よりはかなり早く溶離されてしまう。 $[Co(tn)_3]^{3+}$ の配座は硫酸イオンとのイオン結合状態におけるのは tris-lol-twist であると推定できる。

これらのことから $[Co(tn)_3]^{3+}$ は水溶液中で tris-lol-twist (skew-boats) の配座をとる L-酒石酸イオンと水素結合したイオン対を形成すると考えられる。そしてこのイオン対の構造は $[Co(en)_3]^{3+}$ と L-酒石酸イオンとのイオン対に類似している。L-酒石酸イオンに対しても $[Co(en)_3]^{3+}$ と同様の立体選択性を示すものと考えられる。 $[Co(tn)_3]^{3+}$ は A 异性体にあり tris-lol-twist 構造をとった場合錯体の三回軸方向へ配向した三本の N-H の組は時計回りの方向にねじれている (tris-chair 構造をとったときもこの傾向は同様である) (Fig. 21)。このねじれの方向は前の章で述べたよ

ラト $[Co(en)_3]^{3+}$ の人異性体の場合と全く逆の傾向である(Fig. 7)。

このことから L-酒石酸イオンの、二ホドトリスジアミンコバルト(III)錯体に対する立体選択性に三四軸方向への伏た三本のN-Hの組のうちの向きは関係があるとしそもその影響は非常に小さくと考えらる。

5. 結論

酒石酸基をエステル結合あるいはエーテル結合でセフアテックスに結合させた二種類の光学活性セフアテックス陽イオン交換体(TA(ES)-セフアテックスとTA(ET)-セフアテックス)を簡単に非常に簡単な方法で合成することができた。特に TA(ES)-セフアテックス(エステル型結合の場合、イオン交換容量を容易に増加することができ、このイオン交換体を担体とするカラムクロマトグラフィーで硫酸ナトリウム水溶液を溶離液とし $[Co(en)_3]^{3+}$ を効果的に完全分離することができる。これは液体クロマトグラフ法の溶離液に分離剤(光学活性体)を含まない; 実質的にははじめこの錯体分離の例である。一方、エーテル結合をもつ TA(ET)-セフアテックスは $[Co(en)_3]^{3+}$ に対する立体選択性((したがって分離効率)は TA(ES)-セフアテックスに比べて低いから完全分離するという目的には向きであるが、

分離可能な構造かどうかの判定(光学活性証明法)の目的には十分適用可である。又ホタルアルカリ性溶液中でも酒石酸基の結合が切れるところがなく、また緩衝液条件下で使用することができるることは TA(ET)-セフアテックスの一つの利点である。

$[Co(en)_3]^{3+}$ の分離は前に述べたように他のクロマトグラ法によつて完全分離が達成されることはから今回の分離自体は重要ではないかもしれない。しかし今回のように担体に光学活性基を結合して用いるという方法は種々の光学活性体の場合に適用可能である。なぜなら、光学活性体が貴重で高価なものであるのも一度結合しておけば溶離液にはこの光学活性体を必要としないからである。

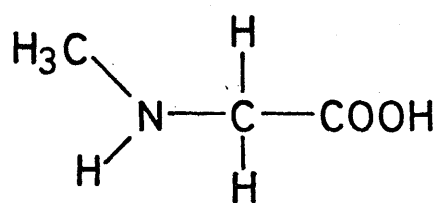
また、D-TA(ES)-セフアテックスオラムの溶離液として L-酒石酸ナトリウム水溶液を用いて $[Co(en)_3]^{3+}$ を分離した場合のように二重の選択性を利用して分離効率を飛躍的に向上させることもできるから、今回的方法は液体クロマトグラフ法による金属錯体の分離法のさらに広い応用あるいは発展に十分寄与できるものであると考えられる。

III. サルコシナトビス(エチレンジアミン)コバルト(IV)錯体の立体選択性と立体選択性イオン会合

I. 序論

二級アミンの一種であるサルコシン($N\text{-X}\text{キルグリシン}$)はコバルトイオンに配位する時配位した窒素原子は不齊性をおぼることになる。すなはち窒素原子のまわりの絶対配置がRかSのみに存在することになる。これでサルコシナトビス(エチレンジアミン)コバルト(IV)錯体 ($[\text{Co}(\text{AAz})(\text{en})_2]^{2+}$) はコバルトイオンのまわりの絶対配置すなはち Δ と Λ の配置と合わせて全部で四種の異性体が可能である。これらは $\Delta(R)$, $\Delta(S)$, $\Lambda(R)$, $\Lambda(S)$ の四種である(ニコタニコ内は窒素原子のまわりの絶対配置を示す)。これらの中で $\Delta(R)$ と $\Lambda(S)$ 及び $\Delta(S)$ と $\Lambda(R)$ はお互いに対掌体の関係であるから構造上のちがいは $\Delta(R)$ と $\Delta(S)$ と $\Lambda(R)$ と $\Lambda(S)$ と説明できる。Fig. 21にこれら二種の構造を示す。

分子模型(ドライディングモテル)の考察によると $\Delta(R)$ 異性体ではサルコシナトの $N\text{-X}\text{キル基}$ がとなり合う一つのエチレンジアミンキレート環に近づき $X\text{キル基}$ の水素とエチレンジアミンのメチレン基の水素との間の非結合性の相互作用(反発)が増加する。しかし



Sarcosine (N-methylglycine)

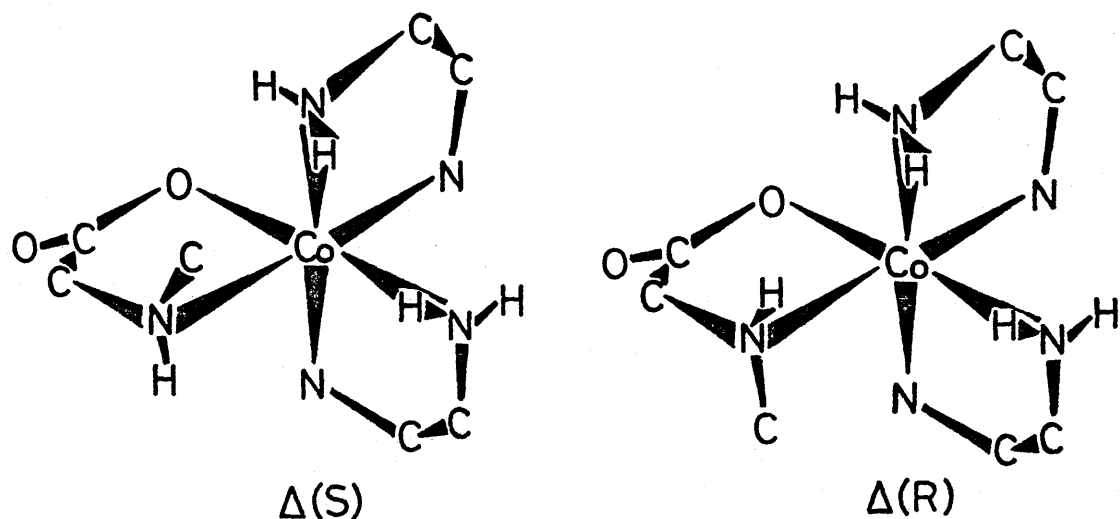


Fig. 22. Schematic representation of the structures of $\Delta\text{-}[\text{Co}(S\text{-sar})(\text{en})_2]^{2+}$ and $\Delta\text{-}[\text{Co}(R\text{-sar})(\text{en})_2]^{2+}$ viewed along the pseudo- C_3 axis.

$\Delta(S)$ 異性体とはこの N -エチル基は錯体の擬似三回軸方向に向ひ、
この上のような相互作用からのがれています。このため $\Delta(R)$ 異性体
は $\Delta(S)$ 異性体に比べ構造的に不安定であると見えます。

この錯体の異性現象について最初に研究したのは Meisenheimer
氏である(1924年)⁵⁹⁾。彼らはこの錯体について窒素原子のまわり
の絶対配置が異なる異性体に分割が可能であるとし、実際一部
の異性体については純粹(化学的に純粹)存在状態であることが示
されたと主張した。

$[\text{Co}(\text{Ph}_3)(\text{en})_2]^{2+}$ をまず(+)-ブロモカンファースルфон酸を用いて分
割すると $[M]_D = +2020^\circ$ と $[M]_D = -923^\circ$ の値をもつ(+)-ブロモカン
ファースルfon酸塩が得られた。この中で $[M]_D = +2020^\circ$ のジアス
テレオマーは再結晶をくり返したところ $[M]_D = +2290^\circ$ となつた。
このものは水溶液に放置すると変旋光を起こす(再び $+2020^\circ$ と
なる)たゞこれは $[M]_D = +2290^\circ$ のジアステレオマーは純粹な
 $(\text{Co}^+, \text{N}^+)$ 異性体であり、^{*5)} これが水溶液中にありて窒素原子の
まわりの絶対配置の反転により $(\text{Co}^+, \text{N}^-)$ となるとした。一方、
 $[M]_D = -923^\circ$ のジアステレオマーは再結晶により $[M]_D = -860^\circ$

*5) Meisenheimer 氏は旋光度の符号にしたがって + と - が Co^+
原子と窒素原子のまわりの絶対配置をあらわした。これによると
四種の異性体は $(\text{Co}^+, \text{N}^+)$, $(\text{Co}^+, \text{N}^-)$, $(\text{Co}^-, \text{N}^+)$, $(\text{Co}^-, \text{N}^-)$ となる。

となり、これは水溶液中でやはり変旋光と最初のものとはとんでも同じ -930° にあるから、 $[M]_D = -860^\circ$ のジアステレオマーは $(Co-, N+)$ 異性体であり水溶液中で $(Co-, N\pm)$ となるだと考えた。

これらのことから Meisenheimer は $[Co(sal)(en)_2]^{2+}$ を (+)-フロモカンファースルフォン酸塩とし分割するとコバルト原子のまわりの絶対配置にしたが、この分割が達成され、各々のジアステレオマーをさらに再結晶することにより窒素原子のまわりの配置が異なる異性体に分離することができたと考えたのである。

Halpern は 1966 年にサルコシナトテトラアンミンコバルト(Ⅲ)錯体 ($[Co(sal)(NH_3)_4]^{2+}$) の分割に成功し,⁶⁰⁾ これらが分割された対掌体が、配位したサルコシナトの窒素原子のまわりの絶対配置を異なる光学異性体であることを明らかにした。⁶¹⁾ そしてこの窒素原子のまわりの絶対配置は水溶液中で容易に反転することを見出した。

同年に Buckingham は $[Co(sal)(en)_2]^{2+} \rightleftharpoons$ Meisenheimer の実験を追試した。⁶²⁾ 彼は $[Co(sal)(en)_2]^{2+}$ を (+)-フロモカンファースルフォン酸塩として分割して $[M]_D = +2050^\circ$ と $[M]_D = -970^\circ$ のジアステレオマーを得たが、これらの再結晶生成物において水溶液中における変旋光を観測することができなかつた。そこで上の二つのジアステレオマーをヨウ化物に変えたも

のについに各種の測定を行ない次のような結論を導いた。

$[Co(sal)(en)_2]^{2+}$ は Meisenheimer とのうよううちに窒素原子のまわりの絶対配置を異にする異性体（ただしユバルト原子のまわりの配置が同じものについては）が両方とも存在するのみではなく、サルコシナトは立体選択性的に配位する結果、より安定な構造を有する $\Lambda(R)$ と $\Delta(S)$ 両異性体のみを生成するというのである。

彼らはまた配座エネルギー解析を行ない、 $\Delta(S)$ 異性体は $\Lambda(R)$ 異性体に比べて安定であり、三つとの間のエネルギー差は $10.5 \text{ kcal mol}^{-1}$ と大きいことから $\Delta(R)$ 異性体が生成しないことがよく説明できることとした。こゝのことに加えて彼らの得た $[M]_D = -970^\circ$ のジアステレオマーをヨウ化物に変えたものの X 線結晶解析を行なった結果こゝが $\Delta(S)$ 異性体と帰属されたこともある⁶³⁾ が、構造的に不安定なもう一方の異性体 $\Lambda(R)$ (あるいは $\Lambda(S)$) は実在しないと信じられた。そしてこゝ以来現在までこの $[Co(sal)(en)_2]^{2+}$ 鎌体は配位子間の立体規制のために不安定な異性体のみを生成する典型的な例の一つであるとされてきたのである。⁶⁴⁾

しかし、その後(1975年) Buckingham は再びより精密に配座エネルギー解析を行ない $\Lambda(S)$ 異性体と $\Delta(R)$ 異性体との間のエネルギー差が以前の値ほど大きくないという結果を得た。⁶⁵⁾ このエネルギー差から $\Delta(R)$ 異性体は計算上は約 5% ほど存在することに

存すると示唆したが、彼らはこの異性体の存在を確認することができなかつたためむしろ彼ら自身の計算結果を否定する方向にある。

ところで今回の研究では $[Co(Aar)(en)_2]^{2+}$ における左側の四種の異性体のすべてが実在するのかどうかという Meisenheimer の研究以来 50 年間にわたる問題に決着をつけることを目的とした。この錯体の $\Delta(R)$ 異性体と $\Lambda(S)$ 異性体は実際に存在しないと単離されるべきであるが、この異性体は構造的に興味深いものである。なぜなら Fig. 22 からわかるように、これら二つの異性体には擬似三回軸方向にはほぼこれと平行にのびた三本の N-H が存在しており三回軸方向の一方の側は $[Co(en)_3]^{3+}$ と類似の構造をもつて同様の立体選択性イオン会合を示すことが期待されるからである。

2. 実験

試料の合成： サルユシナトビス(エチレンジアミン)コバルト(III)ヨウ化物は Lin と Douglas の方法⁶⁶⁾に従って $trans-[CoCl_2(en)_2]Cl$ とサルコシンから合成した。得られたヨウ化物は少くアルコールを加えた水から二回再結晶して精製後減圧下で乾燥した。

元素分析値(計算値)： C, 16.14 (16.55); H, 4.26 (4.18); N, 13.44 (13.52)%。

異性体の分配： Buckingham の方法⁶²⁾と少し変えて
 $[Co(Aar)(en)_2]^{2+}$ の分配を行なった。約 40 °C に加温した錯体のラセミ体水溶液に、錯体に対してほんの少し過剰の (+)-ブロモカンファースルフォン酸銀 ($Ag(+)-BCS$) を水にけんたくさせたものを加ええてかくはんした。約 30 分後に生じたヨウ化銀の沈澱をろ別し、沈澱を水で洗った。ろ液と洗液は合せ水浴上で蒸発乾固した。得られた錯体の (+)-ブロモカンファースルフォン酸塩, $[Co(Aar)(en)_2]\{(+)-BCS\}_2$, を水とアルコールの混合溶媒から再結晶した。結晶は 518 nm 附近で最大の負の CD 強度を示し、一方母液は同様の波長域で正のピークを示した。この後分別結晶をくり返した。分配程度を推定するためすこに述べたみかけの不斉係数すなうす値 ($\Delta \varepsilon_{518}/\varepsilon_{495}$) を結晶と母液について測定し、この値が最大ではとんど一定値となつたところを別結晶をやめた。結局もとも不溶性の結晶についてこの値は -0.014 となり、母液側では +0.015 となつた。このようして 1 の分配された異性体のうち前者の異性体を M 錯体(異性体)とし、後者を P 錯体(異性体)と以下ではよぶことにする。

SP-セファデックスカラムクロマトグラフによる分離： M 錯体の (+)-ブロモカンファースルフォン酸塩(約 0.2 g)の水溶液を小容量(約 5 ml)の SP-セファデックスカラムに注ぎ、錯体を吸着させた。

この SP-セニアテックスを別の SP-セニアテックスカラム($\phi 2.7 \times 137$ cm)の上部に移し 0.12 M ヒタルトトラトアニチエニ酸ナトリウム, $\text{Na}_2[\text{Sb}_2(\text{L}-\text{C}_4\text{H}_2\text{O}_6)_2]$, (pH 約 3.5) で溶離したところ \rightarrow のバンドに分かれた。こゝらのバンドを溶離順に M-I, M-II とする (Fig. 23(c)).^{*6)} 同様に、P 鎮体を溶離するとやはりニシツのバンド (P-I と P-II) に分かれた (Fig. 23(f))。一方、分離前のラセミ体をそのまま溶離したところニシツのバンド (こゝらの溶離順に A, B C とする) に分かれた (Fig. 23(a))。こゝらのカラムクロマトグラフィーにおける分離したバンドを表す M-I, M-II, P-I, P-II の記号はこゝらのバンド中に含まれる異性体あるいはその混合物を示す時に用いることにする。

溶出液から異性体の塩化物の単離： M-I バンドの溶出液は、塩酸で酸性にした水 (pH 約 3, ここでは酸性にしたのはさきほど異性化を防ぐためである) で約 20 倍に希釈後、再び小容量の SP-セニアテックスカラムに通して鎮体を吸着させた。SP-セニアテックスの未吸着部分を完全に H 型にするため大過剰の塩酸酸性水でカラムを洗った後、0.5 M 塩酸で溶離した。M-I 異性体を含む 0.5 M 塩酸溶液は五酸化リンと水酸化カリウムを入れた真空デシ

*6) ただし Fig. 23 は $\phi 1.5 \times 121$ cm のカラムを用いて行った結果を示したものである。

ケーター中で減圧下にほんと乾固するべからままで濃縮した。得られた濃厚溶液にエタノール次いでエーテルを加え、塩化物を沈澱させ、過後減圧下で乾燥させた。全く同様な方法でM-II, P-I, P-II異性体の塩化物が得られた。以下にこゝに異性体の元素分析値を示す。

M-I(P-I) 実測値: C, 20.47(20.51); H, 6.55(6.33); N, 16.57
(16.57)%.

計算値 $[\text{Co}(\text{CH}_3\text{NHCH}_2\text{COO})(\text{C}_2\text{H}_8\text{N}_2)_2]\text{Cl}_2 \cdot 2\text{H}_2\text{O} \cdot \text{HCl}$:
C, 20.47; H, 6.63; N, 17.06%.

M-II(P-II) 実測値: C, 22.24(22.40); H, 6.33(5.88); N, 18.15
(18.38)%.

計算値 $[\text{Co}(\text{CH}_3\text{NHCH}_2\text{COO})(\text{C}_2\text{H}_8\text{N}_2)_2]\text{Cl}_2 \cdot 2\text{H}_2\text{O}$:
C, 22.47; H, 5.93; N, 18.72%.

測定装置: 吸収スペクトルは島津 UV200S 型分光光度計を用いて室温中で 1cm 石英セルにより測定した。測定試料溶液は 0.5 M 塩酸に約 4×10^{-3} M の錯体を溶かしたものである。CDスペクトルは同様に 0.5 M 塩酸に溶かした約 10^{-3} M の錯体溶液について 1cm セルを用いて日本分光 J-20 型 CD 測定装置で測定を行なった。

^{13}C NMR の測定には日本電子 JNM FX-60 型を用いた。測定温

度はプローブ内温度(35°C)である。 0.5 cm の内管を挿入した内径 1.0 cm の試料管を用い、内管中の D_2O (ロイクシグナル用)に溶かしたジオキサンを化学シフトの外部標準として用いた。化学シフト値はジオキサンより低磁場側を負、高磁場側を正とした。試料溶液は濃度約 0.1 M であり、明りょうなスペクトルを得るために $40000\sim 50000$ 回の積算を行なった。

変旋光速度の測定(異性化速度の測定)：各異性体を 0.1 M 酢酸緩衝溶液($\text{pH } 5.66$)に $3.0 \times 10^{-3}\text{ M}$ の濃度で溶かしCDスペクトルの時間変化を測定した。測定温度は 30.0°C (一部は 28°C)である。IとIIの異性体は 465 nm 付近でもっとも著しいCD強度変化を示すから、波長を 465 nm に固定してCD強度の変化を観測した。測定は少なくとも半減期の約3倍時間まで行なった。

異性体の平衡濃度比の測定：各異性体約 20 mg をTable 13にあげてある各種の水溶液約 10 ml に溶かし水酸化ナトリウム水溶液を少し加えて微アルカリ性(pH 約8)にした。この溶液を 25.0°C で三日間放置して異性化させ十分に平衡に達せしめた後、 0.5 M 塩酸を加えて酸性にした(pH 約3)。この溶液を塩酸酸性にした水で希釈して小容量のSPセファデックスに吸着させた。このSPセファデックスを別のSPセファデックスカラム($\phi 1.5 \times 87\text{ cm}$)の上部にかけ $0.12\text{ M Na}_2[\text{Sb}_2(\text{L-C}_4\text{H}_2\text{O}_6)_2]$ の溶離液とLカラムクロマ

トグラフーを行なった。そして溶離曲線の各バンドの面積比から各異性体の濃度比を得た。

3. 結果と考察

3.1 クロマトグラフーにおける挙動と異性体の同定

Fig. 23 は同条件で溶離した M 錫体(c), P 錫体(f) そしてラセミ体(a) の溶離曲線を示すものである。各溶離曲線において分離したバンドの面積比は M 錫と P 錫体とはともに約 1:4.5 で、ラセミ体の場合は約 1:1:9 である。これら 3 の溶離曲線の比較からラセミ体における A と B のバンドは 3 つとも M-I と P-I に対応することは明々かである。またこの後述べるが A と B の CD スペクトルは全く対掌的であるからこれら A と B の異性体はお互いに対掌体である。バンド C の先端部分の溶出液は 518 nm 附近で正のピークを、そして後端部分の溶出液は負のピークを示しかつこれらの CD スペクトルはほぼ対掌的であることからバンド C は一組の対掌体の混合物である。これらうち先に溶出される異性体を C₁ そして遅く溶出される C₂ とする。

結局、面積比と溶離順からバンド C は P-II と M-II を含むセトウトに対応し、C₁ は P-II に、C₂ は M-II に対応させることができる

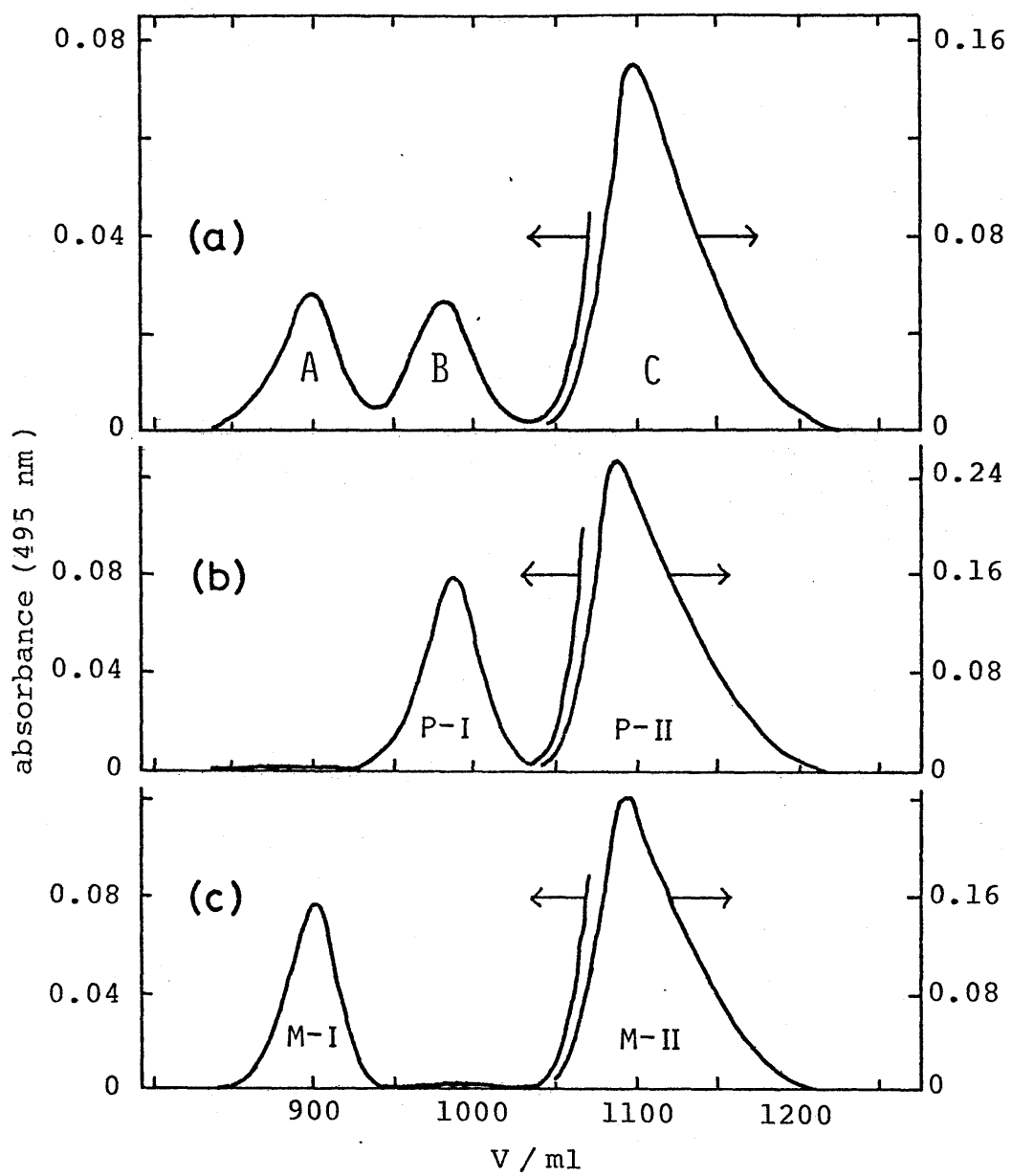


Fig. 23. Elution curves of $rac\text{-}[\text{Co}(\text{sar})(\text{en})_2]^{2+}$ (a), $\{+\}_{518}[\text{Co}(\text{sar})(\text{en})_2]^{2+}$ (b), and $\{-\}_{518}[\text{Co}(\text{sar})(\text{en})_2]^{2+}$ (c), eluted with 0.12 M sodium L-tartratoantimonate (III) on a SP-Sephadex column ($\phi 1.7 \times 121$ cm).

る。バンド C の錯体だけを “異性体の平衡濃度比の測定” の項と同様の方法で平衡させた後再度クロマトグラフィーを行なうと Fig. 23(A) と全く同様の溶離曲線を与えること、またバンド A (あるいはバンド B) の錯体を水溶液中で平衡後再溶離するとバンド A (バンド B) とバンド C の $C_2 (C_1)$ に相当する二つのバンドに分かれることから A は可逆的に C_2 に \rightleftharpoons B は可逆的に C_1 に異性化することがわかる。

かくして、 $[Co(Am)(en)_2]^{2+}$ のラセミ体水溶液には四種の異性体すなはち二組の対掌体が存在することがわかる。そこでクロマトグラフィーによりラセミ体を溶離した場合このうちの一組の対掌体は二つのバンド (A と B) に分かれ完全分離され、もう一組は部分分離される (C_1 と C_2)。しかし存する、(+)-ブロモオノアースルファン酸塩による分離を併用することにより完全に分離することは分離された四種の異性体 (P-I, P-II, M-I, M-II) を得ることができる。これらの中の異性体は、 $[Co(Am)(en)_2]^{2+}$ の二組の対掌体からなる四種の可能異性体すなはち $\Lambda(R)$, $\Delta(S)$, $\Lambda(S)$, $\Delta(R)$ に対応するものである。

M-II 異性体の CD スペクトル (Fig. 25) は Buckingham ⁶²⁾ によれば得られた (-)_D- $[Co(Am)(en)_2]^{2+}$ のそれと非常に類似している。そこでこの異性体の絶対配置は X 線結晶解析により $\Delta-[Co(S-Am)(en)_2]^{2+}$

と帰属さるといふが⁶³⁾ M-II はこの $\Delta(S)$ 異性体に帰属さる。したがつて M-II 異性体と対掌的な関係にある P-II 異性体は $\Lambda(R)$ 異性体と同定さる。また今回のように実験条件のもとでコバルト原子のまわりの配置の反転(ラセミ化)が起こることは考えらるなりことと、上述べてきた異性化の関係から M-I 異性体と M-II 異性体はサルコシナトの窒素原子のまわりの絶対配置だけが異なる関係にあると考えらる。だから M-I 異性体は $\Delta(R)$ 異性体と同定さるとして同様の関係から P-I 異性体は $\Lambda(S)$ 異性体に帰属さる。

各異性体の帰属の結果を Table 10 にまとめ示す。

結局、M-I ($\Delta(R)$) と M-II ($\Delta(S)$) そして P-I ($\Lambda(S)$) と P-II ($\Lambda(R)$) はお互にサルコシナトの窒素原子のまわりの配置を異にする異性体の関係にある。pH 3.2 の水溶液である 0.12 M $\text{Na}_2[\text{Sb}_2(\text{L}-\text{C}_4\text{H}_2\text{O}_6)]$ を用いてこくの異性体を分離することができたことから、酸性水溶液中ではサルコシナトの窒素原子のまわりの配置の変化するうちエピ化反応は非常に遅いことが推定される。このことは P-I 異性体を溶離剤である 0.12 M $\text{Na}_2[\text{Sb}_2(\text{L}-\text{C}_4\text{H}_2\text{O}_6)_2]$ の中では上述べた塩酸酸性の水に溶かして一週間室温で放置しても測定さるほどの CD 变化を示さなかったことからも確かめられた。

M 鎌体の (+)-ブロモカンファースルフォン酸塩を酸性の水(pH 約 3)に溶かしたものについて実験の項述べたカラムクロマトグラフ

Table 10. Assignments and abbreviations of the isomers

Isomer	Assignment	CD sign ^{a)}	Abbrev.	Relative stability
P-I	$\Lambda (+)_{589} [\text{Co}(S\text{-sar})(\text{en})_2]^{2+}$	{+} ₅₁₈	$\Lambda(S)$	less stable
P-II	$\Lambda (+)_{589} [\text{Co}(R\text{-sar})(\text{en})_2]^{2+}$	{+} ₅₁₈	$\Lambda(R)$	stable
M-I	$\Delta (-)_{589} [\text{Co}(R\text{-sar})(\text{en})_2]^{2+}$	{-} ₅₁₈	$\Delta(R)$	less stable
M-II	$\Delta (-)_{589} [\text{Co}(S\text{-sar})(\text{en})_2]^{2+}$	{-} ₅₁₈	$\Delta(S)$	stable

a) The $\{+\}_{\lambda}$ and $\{-\}_{\lambda}$ symbols represent the sign of CD at λ nm.

一を行なつた時溶離曲線はM-Iに対応する非常に小さなピークと
M-IIの大きなバンドにかかる、これらの面積比は1:23であった。
普通の中性の水溶液中の場合にはこの比率は1:4.5であったから
M-I異性体が非常に少いことがわかる。このことは(+)-プロモカ
ンフアースルフォン酸塩との分別結晶における難溶性塩との得ら
れたジアステレオマー(M錯体)はほとんどM-II異性体のみから
成ることを示すものである。一方、中性あるいはアルカリ
性水溶液中ではただちに上のエピ化反応が起きてM-I異性体と
M-II異性体の平衡混合物となる。

溶離曲線の比較からわかるようにより不安定な構造の異性体す
れどもM-IとP-Iが安定な異性体M-IIとP-IIに比べて早く溶離さ
ることは、前者の対掌体の組が溶離液中の $[Sb_2(L-C_4H_8O)_2]^{2-}$ イオ
ンとより強くイオン結合していることを示すものである。さうに
この対掌体の組は完全分割されこのイオンに対する立体選択性がM-I異性体とP-I異性体の間で大きく異なることを示
している。こみのことはM-I異性体とP-I異性体の構造的存特
徴から帰因すると考えられる。このことについては後の項で詳
く述べることにする。

3.2 各異性体の吸収スペクトルとCDスペクトル

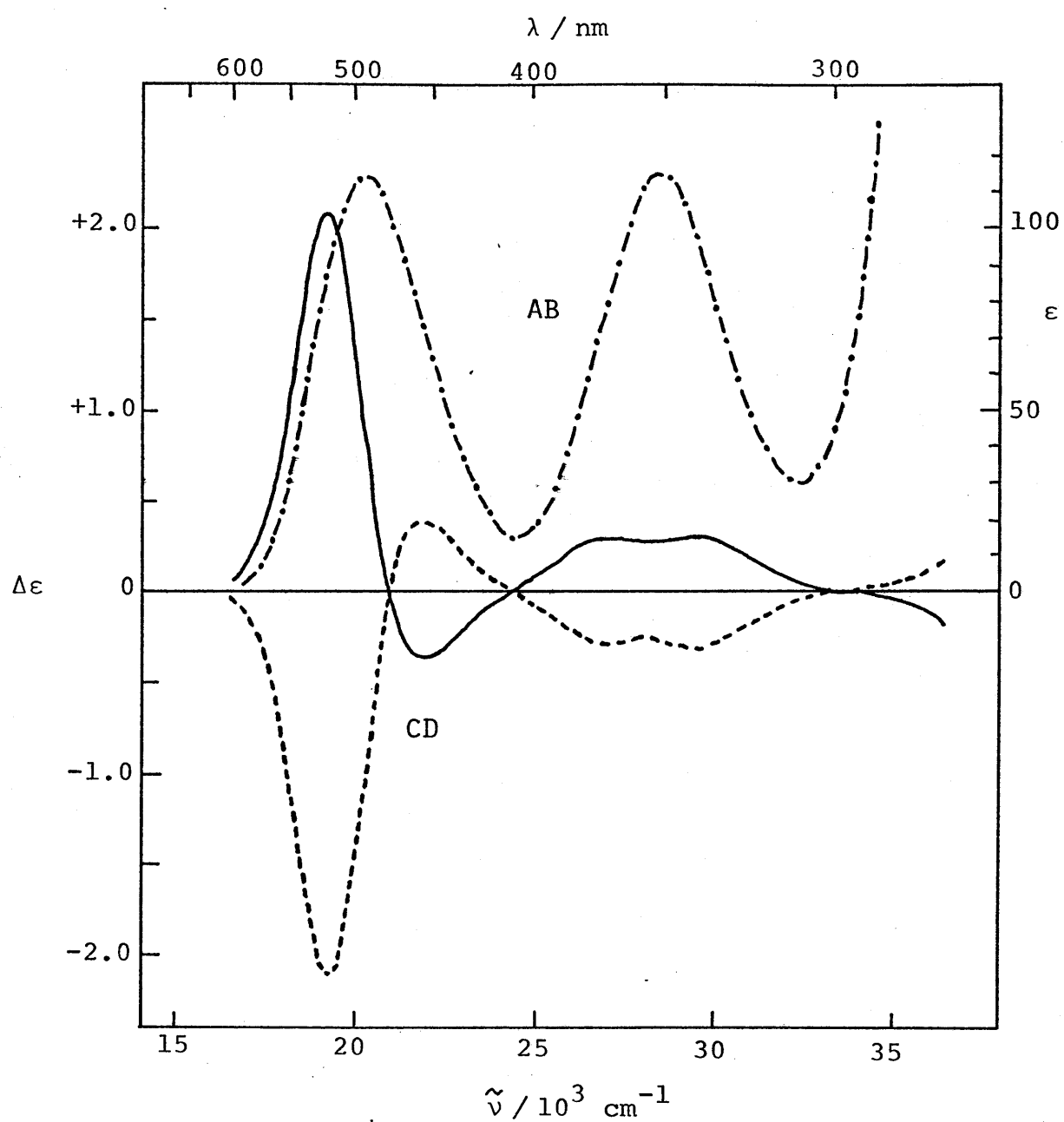


Fig. 24. Absorption spectrum (— —) of P-I and circular dichroism spectra of P-I (—) and M-I (---) in 0.5 M HCl solutions.

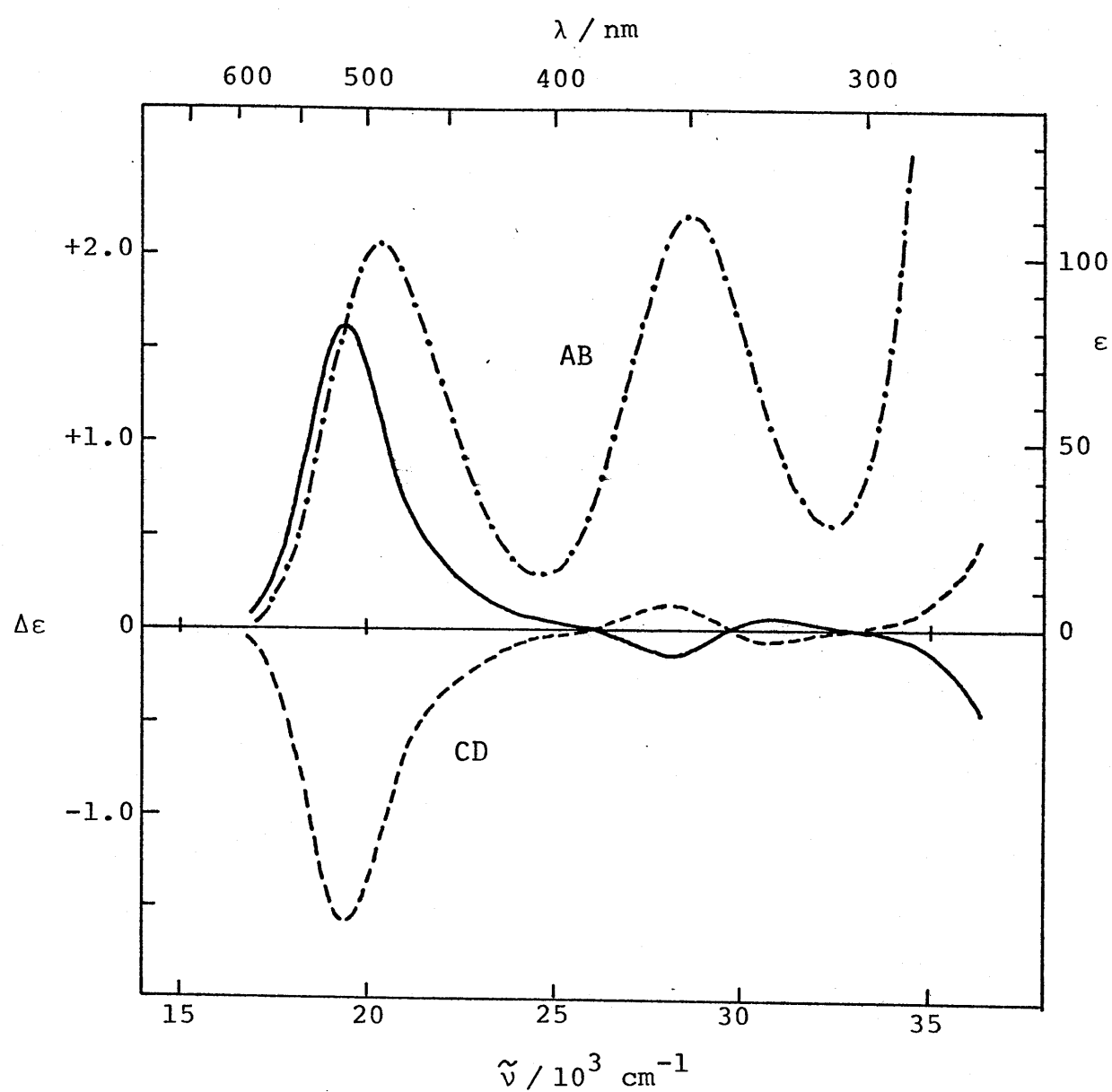


Fig. 25. Absorption spectrum (—) of P-II and circular dichroism spectra of P-II (—) and M-II (---) in 0.5 M HCl solutions.

Table 11. Absorption(AB) and circular dichroism(CD) spectral data

Complex	AB peaks			CD peaks		
	$\tilde{\nu}/10^3 \text{ cm}^{-1}$	ϵ	$\tilde{\nu}/10^3 \text{ cm}^{-1}$	$\Delta\epsilon$		
$\Delta\{-\}_{518} [\text{Co}(R\text{-sar})(\text{en})_2]\text{Cl}_2 \cdot 2 \text{H}_2\text{O} \cdot \text{HCl}$ (M-I)	1st band	20.3	114	19.2	-2.10	
				21.9	+0.38	
	2nd band	28.4	115	27.1	-0.29	
				29.4	-0.31	
$\Delta\{-\}_{518} [\text{Co}(S\text{-sar})(\text{en})_2]\text{Cl}_2 \cdot 2 \text{H}_2\text{O}$ (M-II)	1st band	20.4	103	19.5	-1.59	
				28.1	+0.13	
	2nd band	28.6	111	30.8	-0.04	

Fig. 24 と Fig. 25 に得られた四種の異性体(塩化物)の吸収スペクトルと CDスペクトルを示す。また Table II に M-I 異性体と M-II 異性体に関するこれらのスペクトルの数値的データを示す。

吸収スペクトルを比較するとより不安定な構造をもつと思われる M-I 異性体のオーミック吸収帶はともに M-II 異性体に比べて $100 \sim 200 \text{ cm}^{-1}$ ほどの低波数側にシフトしている。M-I 異性体では配位子場が少く弱くなっていることを示している。M-I 異性体と P-I 異性体の CDスペクトルは予期したとおり完全に鏡像関係となる。M-II 異性体と P-II 異性体におけるも同様である(Fig. 25)。M-I(P-I)と M-II(P-II)異性体の CDスペクトルは正八面体場の ${}^1\text{T}_{1g} \leftarrow {}^1\text{A}_{1g}$ の d-d 吸収帶領域の主要なピークはともに負(+)であるが、他の点では明らかに異なる。

光学活性な $[\text{Co}(\text{AAr})(\text{en})_2]^{2+}$ のキラリティーはエバルト原子のまわりの絶対配置と、サルコミナトの窒素原子の不育性の二種から成る。これら四種の異性体の CDスペクトルから A 配置効果による CD 曲線と不育な窒素原子(R 配置)による隣接効果の CD 曲線を求めた。これらの結果を Fig. 26 に示す。この図には比較のため $\Lambda (+)_{546} - [\text{Co}(\text{gly})(\text{en})_2] \text{I}_2^{66}$ と $(-)_{436} - [\text{Co}(\text{R}-\text{AAr})(\text{en})_2] (\text{NO}_3)_2^{62}$ の CDスペクトルを併せて示す。前者は A 配置による

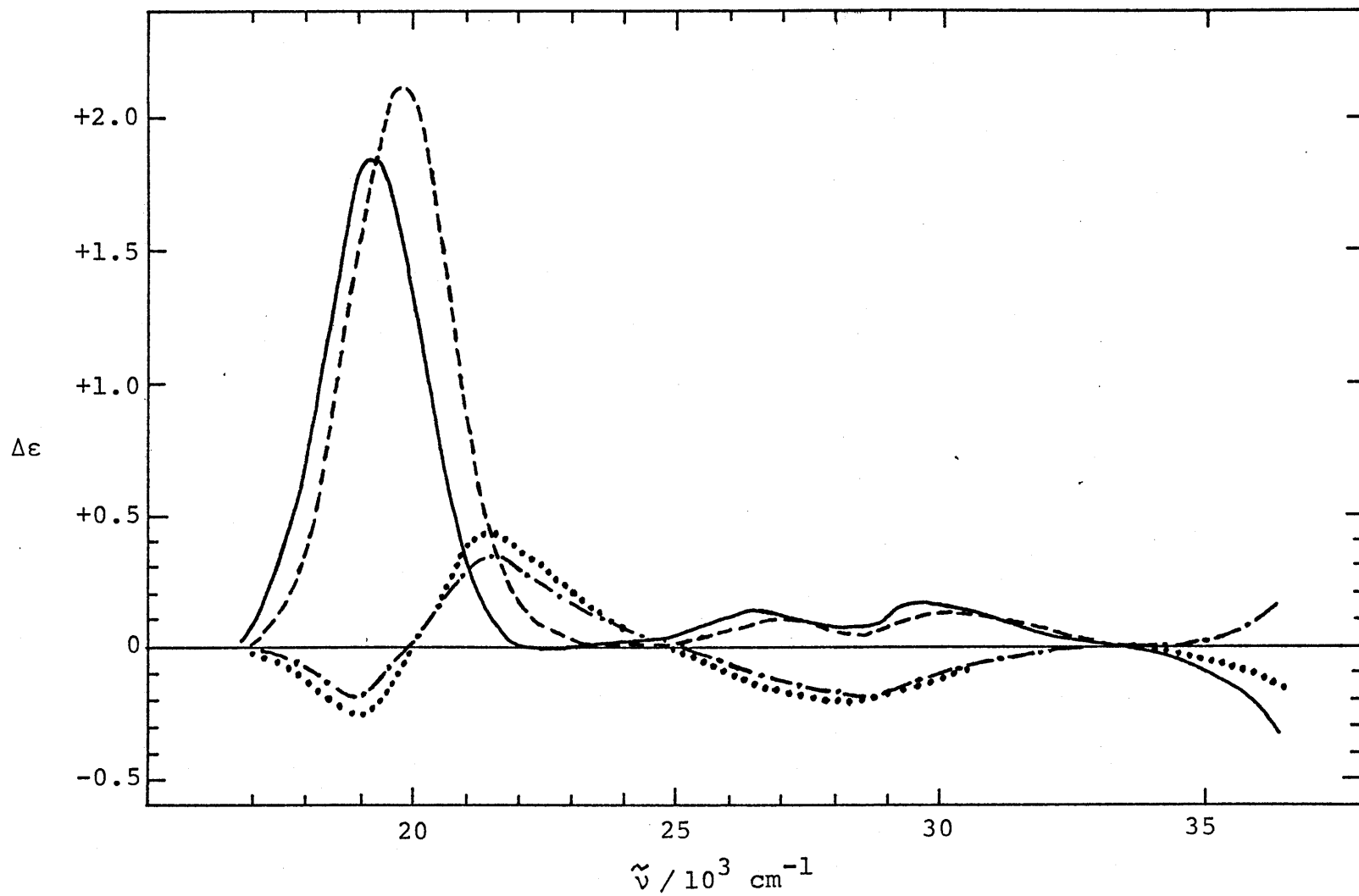


Fig. 26. Configurational and vicinal curves of $[Co(sar)(en)]^{2+}$:
 $1/2 \times \{(P-I) + (P-II)\}$ (—) and $1/2 \times \{(M-I) - (M-II)\}$ (···),
respectively, compared with the CD spectra of $\Lambda-[Co(gly)(en)]^{2+}$
(---) and $(-)_{589}[Co(R-sar)(NH_3)_4]^{2+}$ (-·-).

キラリティーだけをもつてあり、後者はサルコシナトウ不育窒素原子によるキラリティー（R配置）だけを保持しているものである。Fig. 26 からわかるように配置効果曲線と隣接効果曲線はともにかなりよく対照錯体の CDスペクトルと一致している。このことはまた得られた四種の異性体の絶対配置の帰属が正確かつたことを示すものである。

得られた八配置効果曲線は対照錯体である $\Delta(+)\text{Hg}-[\text{Co}(\text{gly})(\text{en})_2]^{2+}$ の CDスペクトルと主要な正のピークの $\lambda = 322 \text{ nm}$ 附近で一致するが、これはエチレンジアミンのキレート環の配座のちがいからくる効果かもしれない。 $\Delta-\text{[Co(S-pen)(en)}_2]\text{I}_2 \cdot 2\text{H}_2\text{O}$ の X 線結晶解析の結果によると、⁶³⁾ この異性体の二つのエチレンジアミンキレート環の配座はよど入である。すなはちこの錯体の擬似三回軸に対しエチレンジアミンの一のキレート環は *lll* 配座でありもう一のキレート環は *llf* 配座となる。一方、Buckingham は⁶⁵⁾ 配座解析の計算からこの異性体において δ 入の配座と入入 (*llz*) の配座は同じ最小エネルギーをもつことなどを $\Delta(R)$ 異性体についても示した。すなはち $\Delta(S)$ 異性体すなはち M-II 異性体と $\Delta(R)$ 異性体すなはち M-I 異性体はお互いに異なる配座のキレート環をもつことはありうることである。されば、各異性体の CDスペクトルから求め

したがって配座にはこのような配座のちがいによる効果が加わることもあるかもしれない。

3.3 ^{13}C NMR スペクトル

Fig. 27 は $[\text{Co}(\text{par})(\text{en})_2]\text{Cl}_2$ の P-II(a) × P-I(b) × ラセミ体(c)の ^1H テンポリング ^{13}C NMR スペクトルである。すべての測定は異性化を防ぐため 0.5 M 塩酸中で行なっている。ただラセミ体の場合は水溶液中で十分平衡させた後に塩酸を加え 0.5 M 塩酸溶液としたものである。

ここのスペクトルの比較からラセミ体のスペクトルは P-II 異性体 × P-I 異性体のスペクトルを重ね合せたものになつてあり、ラセミ体水溶液が II の異性体を主成分とし、I の異性体を少く含む I × II の異性体の混合物であることは明らかである。

$[\text{Co}(\text{par})(\text{en})_2]^{2+}$ 錯体には 7 個の炭素原子が存在する。すなはち、二つのエチレンジアミントリエチレン基の各 4 個の炭素原子と、サルコシナトにおけるメチル基、メチレン基、カルボキシル基の各 1 個の炭素原子である。ここの炭素原子数に対応して P-II 異性体のスペクトルはたしかに 7 本の、ほとんど同強度(ただし最も低磁場側の 1 本を除く)のシグナルを示す(Fig. 26(a))。一般にカルボキシル基の炭素原子は緩和時間が長いため弱いシグ

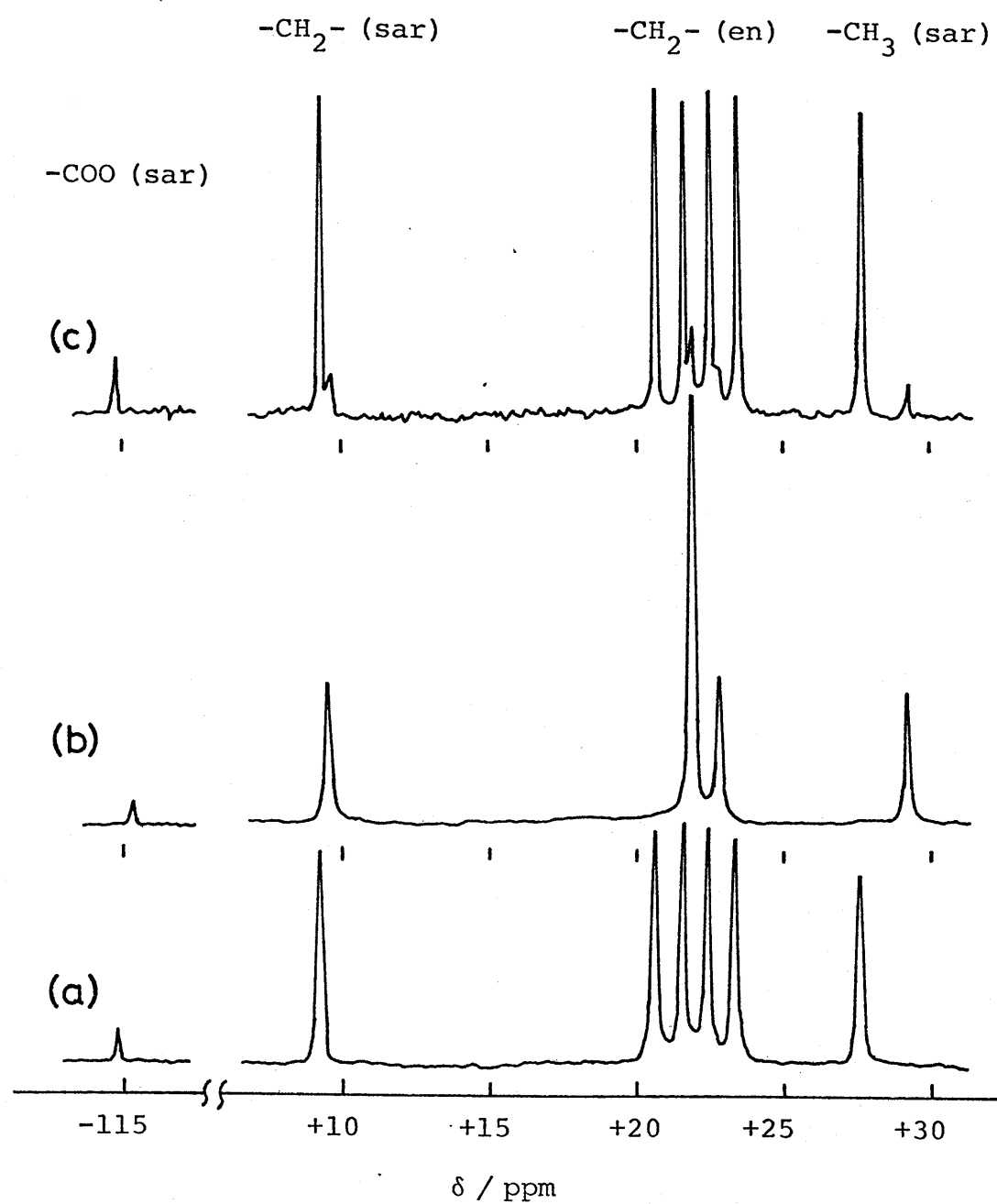


Fig. 27. ^{13}C NMR spectra of $[\text{Co}(\text{sar})(\text{en})_2]^{2+}$ in 0.5 M HCl solutions using dioxane as an external standard: P-II, (a); P-I, (b); racemic complex, (c).

ナルを示すが、非常に位磁場側にあらざるから、⁶⁷⁾ これら 7 本のシグナルのうちも、位磁場側にある比較的弱いシグナルはカルボキシル基の炭素原子に帰属される。¹H-NMRアブリングさせた場合のスペクトルからさしに他の炭素原子のシグナルの帰属ができる。最も高磁場側にあるシグナルは四重線に分裂することから、このシグナルはサルコシナトのメチル基の炭素原子に帰属される。錯体のアミノ基の水素を重水素化したものを D₂O に溶かしてアブリング実験を行なうと、サルコシナト配位子中のメチレン炭素原子のシグナルはエチレンジアミン中のメチレン炭素原子によるシグナルと区別することができる。なぜなら、後者の炭素原子による三重線はとなり合うメチレン基の水素原子との "long range coupling" によりより複雑になるからである。しかししながら、エチレンジアミンキレート環の 4 個の炭素原子によるシグナルを個々の炭素原子に帰属することは困難である。今回帰属することはできなかった。各スペクトルのシグナルの帰属と化学シフト値を Table 12 に示す。この Table 中には同一条件下測定された、NaC-[Co(gly)(en)₂]Cl₂に対する化学シフト値も含まない。

P-I 異性体のサルコシナトキレート環のすべての炭素原子のシグナルは P-II 異性体のそれらに比べて高磁場側にあらざるところである。これらのうちで最も大きくシフトしていくのはメチル基のシグ

Table 12. ^{13}C NMR spectral data

Compound	Chemical shifts, $\delta^{\text{a})}$				
	$-\text{CH}_3$ (sar)	$-\text{CH}_2-$ (en)	$-\text{CH}_2-$ (sar)	$-\text{COO}$ (sar)	
$[\text{Co}(\text{sar})(\text{en})_2]^{2+}$					
P-II	+27.3	+23.2(1) ^{b)} +22.3(1) +21.4(1) +20.4(1)		+9.14	-116.4
P-I	+28.9	+22.6(1) ^{b)} +21.7(3)	+9.40.		-116.0
Racemic	+28.7 +27.2	+22.5 ^{c)} +23.2 +21.7 +22.3 +21.4 +20.4	+9.33 ^{c)} +9.06	---	-116.4
$[\text{Co}(\text{gly})(\text{en})_2]^{2+}$		+22.9 +21.8 +21.6 +21.0	+20.5 ^{e)}		-118.4 ^{f)}

a) Shifts in ppm from dioxane: positive values, upfield; negative values, downfield.

b) Figures in parentheses are relative intensities. c) Shoulders.

d) Peak not detected. e) Glycinato methylene carbon. f) Glycinato carboxyl carbon.

ナルであるからこのP-I異性体に対しても観測された高磁場側へのシフトはサルコシナトキレート環のひずみすなうち、メチル基となり合うエチレンジアミンキレート環と接近して非結合性の反発が増加することによってもたらされたひずみからくるものである。このようなひずみの存在は前に述べたように、P-I異性体の吸収スペクトルがP-II異性体に比べて長波長側へシフトしていることからも推定できる。P-I異性体とP-II異性体の ^{13}C NMRスペクトルでもラーフの大きな著しい差がいはエチレンジアミンキレート環の4個の炭素原子のシグナルである。P-II異性体においてはほとんど等しい間隔で配列した4本のピークを示すのに対し、P-I異性体ではこれら4個の炭素原子のシグナルのうち3個の炭素原子のシグナルが見かけ上等価になり1本のピークになつてゐる(Fig. 27(f))。

P-II異性体と同様にP-I異性体は構造の対称性から考えてエチレンジアミンキレート環の4個の炭素原子は互いに等価であるから、ここでもさしたシグナルの積重に対する理由は明確ではない。 $[\text{Co}(\text{aae})(\text{en})_2]^{2+}$ に比べてメチル基が存在しないことから極めて少ないと思われる $[\text{Co}(\text{gly})(\text{en})_2]^{2+}$ の場合、4個のエチレンジアミン炭素原子はP-II異性体と同様明確に分裂して4本のピークを与える(Table 12)。これらのことから上記述

ベタメチル基の存在による非結合性の反発相互作用がP-I異性体において増大しここが偶然三本のエチレンジアミン炭素原子のシグナルにおいて見かけ上の等価性を引き起こしたものと考えられる。

3.4 変旋光速度(エビ化速度すなうしサルコシナトの窒素原子のまわりの絶対配置反転速度)

サルコシナトビス(エチレンジアミン)コバルト(III)錯体の一つの異性体は中性あるいはアルカリ性水溶液中でその一部がコバルト原子のまわりの絶対配置を保つたまま比較的速度く窒素原子のまわりの絶対配置の反転(エビ化)を起こして異性化(たとえば $\Lambda(R) \rightarrow \Lambda(S)$)する。この結果平衡混合物となる。これらの異性体間にはCDスペクトルが異なるからこのような異性化に伴ってCDスペクトルが変化する。Fig. 28はP-I異性体を酢酸緩衝溶液に溶かした時の480-380nmの領域におけるCDスペクトル変化の例を示したものである。P-I異性体のCDスペクトルは403nmに等吸収点をもつ時間とともに変化し、最後にP-I異性体とP-II異性体との平衡混合物のCDスペクトルを与える。このようなCDスペクトルの時間変化の様子からエビ化反応以外の反応が起きていることが推定される。

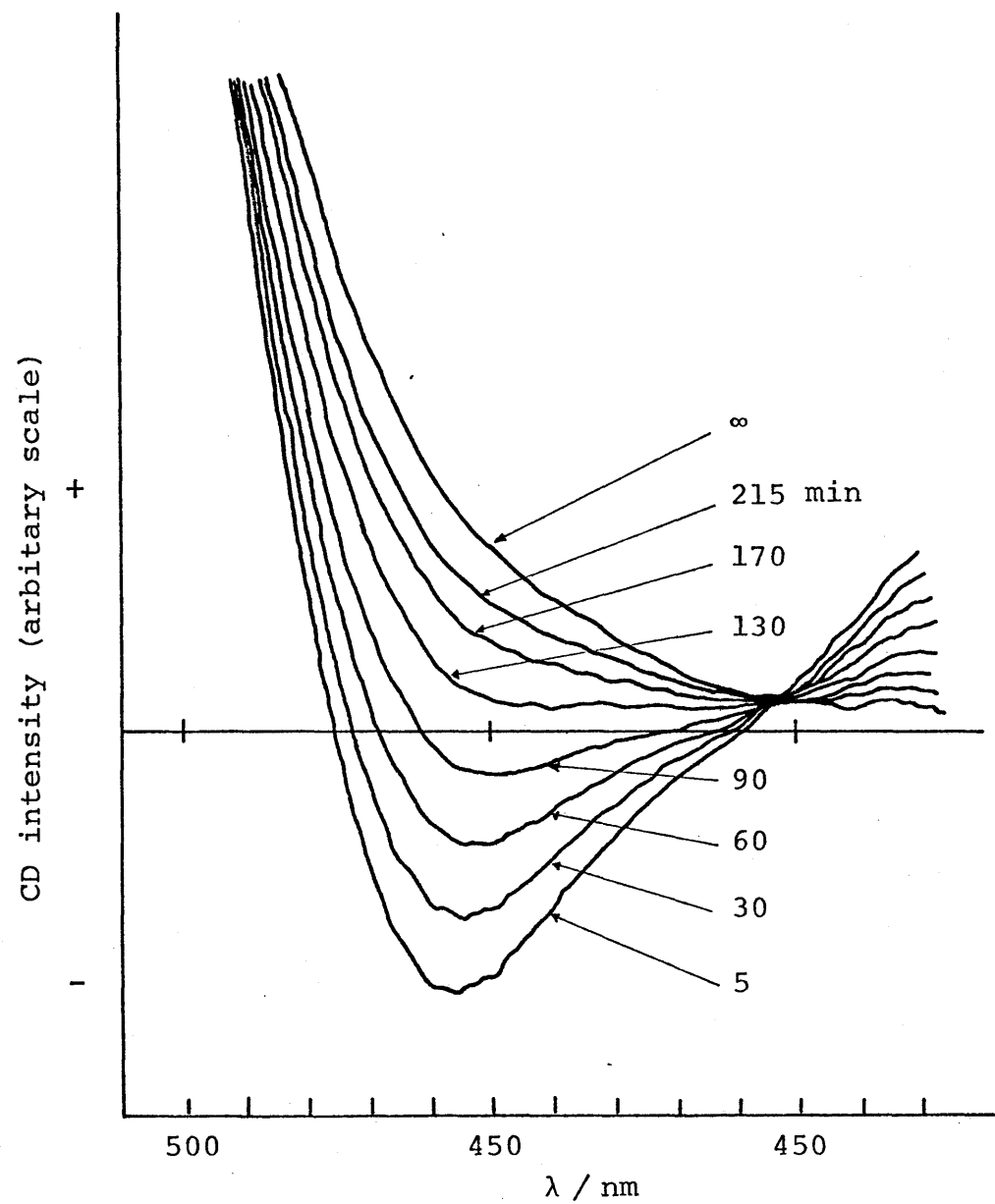
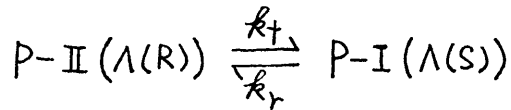


Fig. 28. CD spectra of the P-I isomer in a 0.1 M acetate buffer at 28 °C measured at time intervals.

CD強度変化の測定はP-I異性体を出発物質とする場合とP-II異性体を出発物質とする場合の両方に亘って存在した。どちらの場合にも $\ln |(\Delta\varepsilon)_t - (\Delta\varepsilon)_{\infty}|$ 対 時間のプロットは少なくとも半減期の約3倍以上の時間に亘って直線となつた。こ \equiv $(\Delta\varepsilon)_t - (\Delta\varepsilon)_{\infty}$ は30分時間と無限大時間(平衡に到達後)における 465nm の CD強度である。これらの直線のこうばいから擬似一次反応速度定数 k_{obsd} が求められる。

P-I異性体を用いた時この値は $3.32 \times 10^{-4}\text{s}^{-1}$ であり、P-II異性体を出発物質とした時には $3.37 \times 10^{-4}\text{s}^{-1}$ となつて非常によく一致した。

次の可逆的異性化反応(エピ化反応)



における正反応速度定数 k_f と逆反応速度定数 k_r は、観測された一次速度定数 k_{obsd} と平衡定数 K との間に次のような関係がある:

$$k_{obsd} = k_f + k_r \quad (13)$$

$$K = k_f / k_r \quad (14)$$

平衡到達後測定に用いた反応溶液のカラムクロマトグラフィー(実験の項を参照)により異性体の存在比を測定して $K = 0.177$ (Table 13を参照)と求めることができた。この K 値と k_{obsd} の平均値と

用(1)と(13)式と(14)式から k_f と k_r の値が求められる。

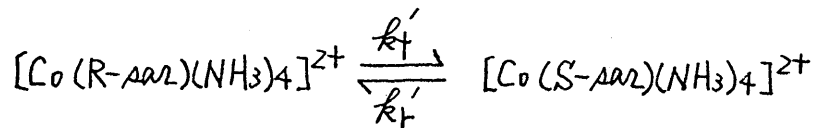
$$k_f = 0.50 \times 10^{-4} \text{ s}^{-1}, \quad k_r = 2.85 \times 10^{-4} \text{ s}^{-1}$$

このようなエビ化反応は水酸イオン(OH^-)の濃度に比例することがあるが、(1)式から、⁶⁰⁾ $k_{\text{obsd}} = k_f - k_r$ に対応する二次反応速度定数すなはち k , $k_1 \equiv k_f - k_r$ の値を求めることができる：

$$k = k_{\text{obsd}} / [\text{OH}^-], \quad k_1 = k_f / [\text{OH}^-], \quad k_2 = k_r / [\text{OH}^-]$$

これらより $k = 7.32 \times 10^4 \text{ M}^{-1} \text{s}^{-1}$, $k_1 = 1.1 \times 10^4 \text{ M}^{-1} \text{s}^{-1}$, $k_2 = 6.2 \times 10^4 \text{ M}^{-1} \text{s}^{-1}$ となる。

一方、Halpern は 30.3°C における 0.1 M 酢酸緩衝液中で次のようないう $[\text{Co}(\text{AAZ})(\text{NH}_3)_4](\text{NO}_3)_2$ のラセミ化速度(エビ化速度)を測定した：



彼らの得た速度定数は $k' = 1.9 \times 10^4 \text{ M}^{-1} \text{s}^{-1}$ であった。このラセミ化の場合 $k'_1 = k'_2 = 1/2 k'$ であるから $k'_1 = k'_2 = 1.0 \times 10^4 \text{ M}^{-1} \text{s}^{-1}$ となる。

この錯体の場合サルコシナト以外にキレート環がないから $[\text{Co}(\text{AAZ})(\text{en})_2]^{2+}$ 錯体に与られたようなキレート環の間の非結合性の反発によるひずみは存在しない。このような錯体の窒素原子の絶対配置の反転速度と、 $[\text{Co}(\text{AAZ})(\text{en})_2]^{2+}$ における $\Lambda(R) \rightarrow \Lambda(S)$ の反転

速度がほとんど一致することは注目すべき結果である。なぜなら後者における反転はよりひずんだ構造への移動である、予想とこれは大きく違えるからである。だから k_2 の値がこれらより数倍も大きいことは $\Delta(S)$ 異性体内部における立体的不障害(ひずみ)が存在することにより $\Delta(S)$ から $\Delta(R)$ へのエピ化反応が“促進”されることは想像した方が妥当である。

3.5 平衡時ににおける異性体存在比と立体選択性イオン会合

$[Co(sal)(en)_2]^{2+}$ 鎌体の一つの異性体は水溶液中でサルコシナトの窒素原子のまわりの絶対配置の反転を起こして別の異性体との平衡混合物を生ずる。この平衡混合物における各異性体の存在比はおのずの異性体の、溶液中における構造的不安定性のみやすくなるものである。そこで一つの異性体(たとえば M-I 異性体)を 25.0°C で各種の水溶液に溶かして平衡させこの溶液中に含まれる異性体(M-I と M-II)をカラムクロマトグラフィーで分離して異性体の濃度比を求めた。得られた結果を Table 13 に示す。他の反応(たとえば鎌体の分解あるいはコバルト原子まわりの絶対配置の反転)がこの平衡反応の過程におけることとはこのカラムクロマトグラフィーに対応する異性体だけが溶離されなくなるから確かである。

Table 13. Equilibrium isomer distributions for $[\text{Co}(\text{sar})(\text{en})]^{2+}$
in various solutions at 25 °C

Solution	Isomer ^{a)}	Isomer portion (%)		Isomer ratio I/II
		I	II	
H_2O	M-I	15.4	84.6	0.182
	M-II	15.1	84.9	0.177
	P-II	15.1	84.9	0.178
0.1 M NaCH_3COO ^{b)}	P-II	15.1	84.9	0.177
0.3 M NaCH_3COO	M-II	15.3	84.7	0.181
	P-II	15.7	84.3	0.187
	racemic	7.90+7.61	84.5	0.184
0.1 M Na_2SO_4	M-II	18.1	81.9	0.221
	P-II	17.7	82.3	0.215
0.1 M $\text{Na}_2(\text{L-C}_4\text{H}_6\text{O}_6)$	M-II	16.3	83.7	0.195
	P-II	16.3	83.7	0.195
0.3 M $\text{Na}_2(\text{L-C}_4\text{H}_6\text{O}_6)$	M-II	17.0	83.0	0.205
	P-II	17.8	82.2	0.217

a) Starting substance for equilibration.

b) Kinetic run in the acetate buffer at 30.0 °C (see text).

Table 13 にある水に溶かした時の平衡濃度比からもかくように M-I 異性体から出発してもまた M-II 異性体から出発しても約 3% の誤差範囲内に同じ異性体存在比を与える。このことから他の一連の実験は出発物質として、より安定な異性体 (M-II あるいは P-II) のどちらかを用いて行なつてよい。

水中での平衡における I 異性体と II 異性体の存在比は平均してそれぞれ 15.2% と 84.8% であった。この存在比から 25.0°C における平衡定数 $K = 0.177$ たがって自由エネルギーの差 $\Delta G = 4.26 \text{ kJ mol}^{-1}$ の値が得られた。

Buckingham は N-メチルアラニナトビス(エチレンジアミン)ユバレート(III)錯体 ($[\text{Co}(\text{N-Meala})(\text{en})_2]^{2+}$) の立体選択性に関する実験を行ないこの錯体の異性体の平衡濃度比を測定した。⁶⁸⁾ その結果, $\Lambda\text{-R-}[\text{Co}(\text{N-Me-(S)-ala})(\text{en})_2]^{2+}$: $\Delta\text{-R-}[\text{Co}(\text{N-Me-(S)-ala})(\text{en})_2]^{2+} = 80 : 20$ あるいは $\Lambda\text{-R-(S)} : \Delta\text{-R-(S)} = 80 : 20$ の存在比を得た。ここでは外側の R と S はメチル基のついた窒素原子に関する絶対配置を示し、カッコ内の R と S はアラニナトの不斉炭素の絶対配置を示す。 $\Delta\text{-R-(S)}$ の鏡像体は $\Lambda\text{-S-(R)}$ であるから $\Lambda\text{-R-(S)} : \Lambda\text{-S-(R)} = 80 : 20$ である。 $[\text{Co}(\text{ala})(\text{en})_2]^{2+}$ における異性体存在比は $\Lambda\text{-(S)} : \Lambda\text{-(R)} = 50 : 50$ であるから⁶⁹⁾ 上の二つの異性体におけるアラニナトの炭素原子の絶対配置のうちには異性体の

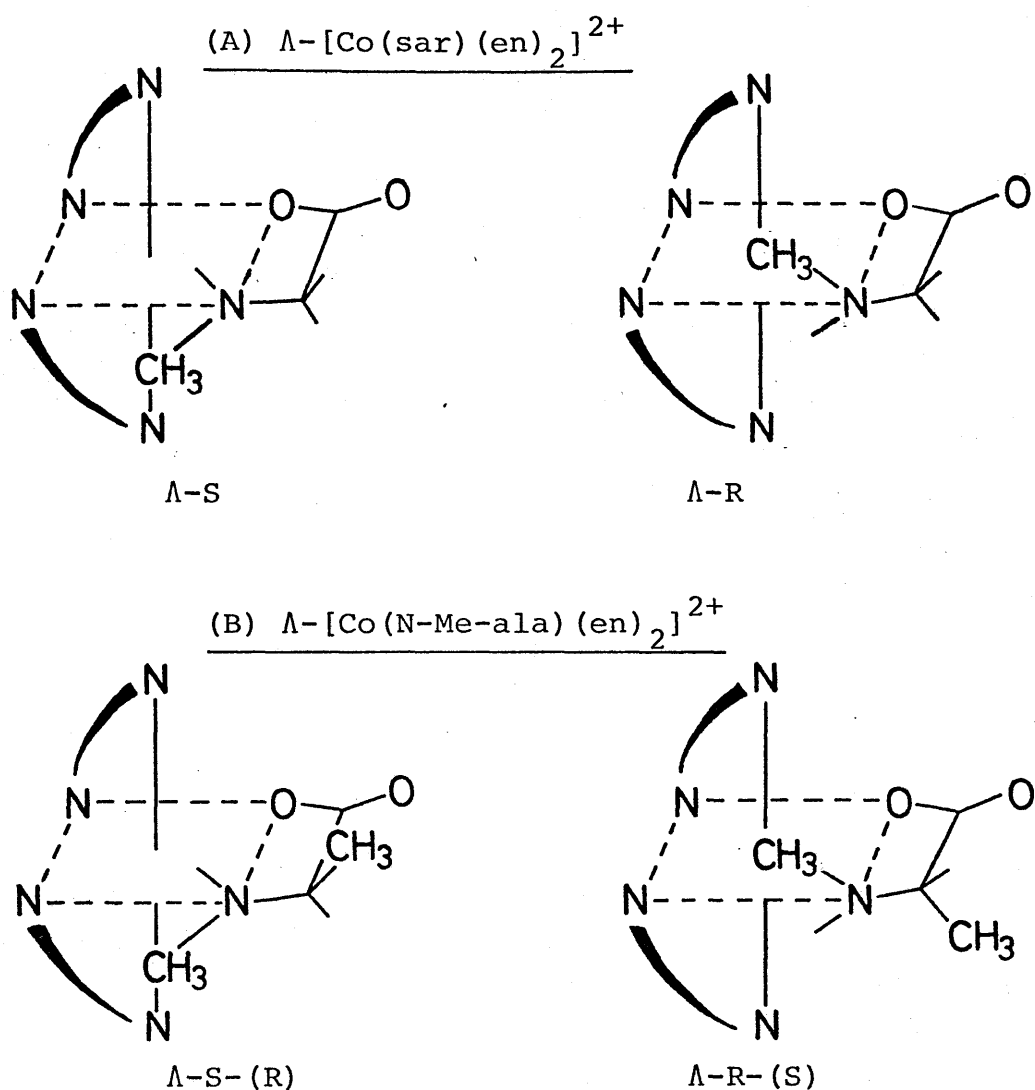


Fig. 29. The structures of the isomers of $\Lambda - [\text{Co}(\text{N-Me-ala})(\text{en})_2]^{2+}$ corresponding to $\Lambda - [\text{Co}(R\text{-sar})(\text{en})_2]^{2+}$ and $\Lambda - [\text{Co}(S\text{-sar})(\text{en})_2]^{2+}$, viewed along the pseudo- C_3 axis.

存在比に影響しない) L, A-R-(S) × A-S-(R) の錯体では N-X キル基と C-X キル基はスタガードの関係となるといふ (Fig. 29(B) 参照) これら X キル基間の立体規制はかなり小さなものであると考える
ところ。⁷⁰⁾ これらのことから A-R-(S) × A-S-(R) の異性体は Fig. 29 に示されるように $[Co(Aar)(en)_2]^{2+}$ 錯体のそれより A(R) または P-II と A(S) または P-I 異性体に対応する構造をもつてゐるといえるであろう。

実際にも今回の $[Co(Aar)(en)_2]^{2+}$ 錯体の結果はほぼ同様の存在比すなはち 15:85 を示した。しかしながら A-S-(R) の存在比は少し大きすぎるようだ。なぜなら A-R-(S) ⇌ A-S-(R) の異性化反応の場合 N-X キルアラニнатの炭素原子の配置の反転とともにアラニнатの炭素原子のまわりの配置の反転を伴うから C-X キル基の立体反発が問題となり、少なくとも A-[Co(S-Aar)(en)₂]²⁺ よりは錯体内でのひずみが増加していふと考えられるからである。

$[Co(Aar)(en)_2]^{2+}$ 錯体の I と II の異性体間ににおける ΔG の値は Buckingham によると配座エネルギー解析の計算から求められたひずみエネルギーの差すなはち $0.9 \text{ kcal mol}^{-1}$ ($= 3.8 \text{ kJ mol}^{-1}$) とよく一致する。彼らは ΔG にあつて、すこし 3・ス項で述べたように δA-S と A-S の異性体に同じ最小ひずみエネルギー $3.8 \text{ kcal mol}^{-1}$ をもつて A-R の配座に対して最小ひずみエネルギー

一、 $4.7 \text{ kcal mol}^{-1}$ とえども。だから δH (ある) は入入-S
は入入-R も $0.9 \text{ kcal mol}^{-1}$ だけ安定であると見てよ。

酸素酸イオンを添加することにより平衡時における I 異性体の存在比が高められる。0.3 M 酢酸ナトリウム中ではこのような傾向は実験誤差によつて多少かくさぶこりではつきりしないが、0.1 M 硫酸ナトリウムの場合にはこの効果が非常によくあらわれている。同一濃度の L-酒石酸イオンを共存させた時には硫酸ナトリウムの時はどどはないがやはり I 異性体の存在割合が増加している。しかし、この濃度での共存では P 鎌体と M 鎌体の間の存在比に差は見られない。0.3 M L-酒石酸ナトリウムの場合には明らかに P-I 異性体の方が M-I 異性体に比べて存在比が大きくなつており L-酒石酸イオンの、この異性体に対する立体選択性が存在するところがわかる。

P-I異性体とM-I異性体間にあり L-酒石酸イオンに対する立体選択性が存在することは次のようなカラムクロマトグラフィーの実験からも確かめられる。

*7) しかしながら、このような計算結果を得たにもかからず
彼らは通常の方法によつても不安定な方の異性体を分離できなか
つたことから、この異性体はやはり実在しないか非常に少ないと
しており実際の ΔG 値は約 2 kcal mol^{-1} とこえると言つてゐる。

塩酸の酸性にした水に P-I 異性体と M-I 異性体を等濃度で溶かし、この溶液を SP-セフテックスカラム ($\phi 1.5 \times 90\text{ cm}$) の上部に流し、錯体の混合物を吸着させた。酸性に保たないと各異性体は異性化を起こすから L-酒石酸ナトリウム水溶液のかわりに 0.24M L-酒石酸水素ナトリウム (pH 約 3.4) を溶離液として溶離した。この時溶離曲線はただ一つのバンドを示すのが流出液の各フラクションの CD スペクトルを測定することにより P-I ($\Lambda(s)$) 異性体と M-I ($\Delta(R)$) 異性体の順次溶離された割合が行なわれたことがわかる。この様子を示したもののが Fig. 30 である。

比較のために行なわれた $[\text{Co}(\text{en})_3]^{3+}$ の溶離曲線から L-酒石酸水素イオンは L-酒石酸イオンと同様の立体選択性があることが示される (Fig. 30(B)).³⁸⁾ これらのことから P-I 異性体 ($\Lambda(s)$) は M-I 異性体 ($\Delta(R)$) に比べて L-酒石酸イオンに対するより強く立体選択性イオン結合を示すことがわかる。

このような L-酒石酸イオンに対する立体選択性は I 異性体の構造における特徴を考察することにより理解できる。すなわち、I 異性体 (P-I と M-I) はもしエチレンジアミンキレート環の配座が二つとも *lll* となるならば、錯体の擬似三回軸方向にはほぼ平行にのびた三本の N-H の組 (このうち一つはサルコシナトからもう一つはエチレンジアミンから由来するもの) がある。しかし II 異

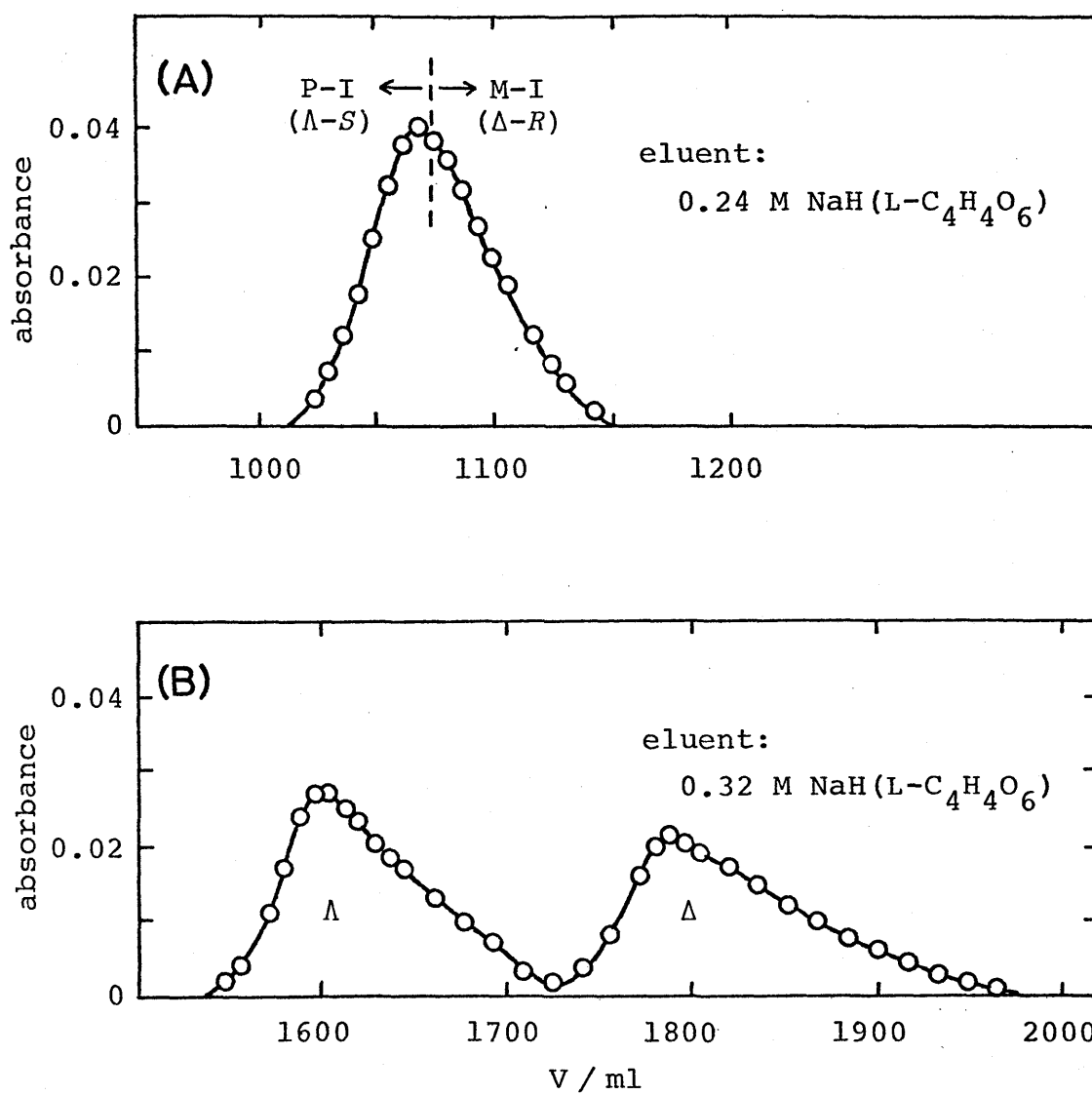


Fig. 30. Elution curves of the mixture of P-I and M-I isomers (A), and $[\text{Co}(\text{en})_3]^{3+}$ (B) on columns ($\phi 1.5 \times 90 \text{ cm}$) of SP-Sephadex. Eluent: $\text{NaH}(\text{L-C}_4\text{H}_4\text{O}_6)$ solutions (pH 3.4).

性体 (P-II と M-II) においては N-X イル基がこの方向に並んでいる (Fig. 22)。かくして、 $[Co(en)_3]^{3+}$ の三回軸方向の一つの面と類似した構造をとる。この工異性体は硫酸イオンあるいは L-酒石酸イオンと水素結合によるイオン対を形成しやすいう点において II 差性体に比べて有利である。又故にトルイオンが共存する水溶液中では工異性体の構造が、これらが共存している状態よりも安定化されるためにその存在割合が増加すると考えられる。硫酸イオンは上の結果から工異性体と安定なイオン対をつくりやすくと推定されるが、このことは $[Co(en)_3]^{3+}$ の場合に硫酸イオンとの結合定数は L-酒石酸イオンとのそれと比べて約 2 倍大きいという結果⁵⁾ あるいはすでに述べた我々の実験結果とも一致する傾向である。また工異性体の L-酒石酸イオンに対する立体選択性は $[Co(en)_3]^{3+}$ と L-酒石酸イオン間の立体選択性的イオン対形成と同様な方法で説明されるであろう。前者の場合の立体選択性が後者の場合に比べて小さいのは錯体の電荷が小さいことと主に関係があると思われる。 $[Co(gly)(en)_2]^{2+}$ 錯体においても L-酒石酸イオンに対する立体選択性が小さいことはこのことさう簡単でよいようだ。しかしその他に工異性体において二つのエチレンジアミンキレート環が *del* 配座であるにもサルコシナトのキレート環は平面に近いゴー・シュ構造をとっているためその N-H はエチレンジ

アミンキレート環からの二つの N-H に比べて三回軸方向への平行性は良くないすなうち $[Co(pm)_3]^{3+}$ 鎔体の $h_{elz}ob$ 構造と同様な N-H の配向があるようだ。このことまた L-酒石酸イオンに対する立体選択性を小さくしている原因の一因と考えられる。

L-タルトラトアンチモン酸イオンにより示される立体選択性は L-酒石酸イオンによるものとはかなり異ったものである。この L-タルトラトアンチモン酸イオンは $[Co(Aar)(en)_2]^{2+}$ の I 異性体に対して非常に大きな立体選択性を有し、Fig. 23(a) が示すように M-I と P-I の対掌体を完全に分割させる。この場合の立体選択性は L-酒石酸イオンによるものとは逆である。すなうち、M-I ($\Delta(R)$) 異性体が先に溶離されることから L-タルトラトアンチモン酸イオンは M-I ($\Delta(R)$) 異性体に対して大きな立体選択性を示すのである。このことは $[Co(en)_3]^{3+}$ の場合には L-酒石酸イオンと L-タルトラトアンチモン酸イオンともに同様の立体選択性を示すことと対照的である。

L-タルトラトアンチモン酸イオンが L-酒石酸イオンと同じ錯体に対してお互いに異なる(反対方向)立体選択性を示すことは他の場合にも見られる。たとえば $[Co(tac)_3]^{3+}$ の場合である。前の章で述べたように L-酒石酸イオンは $\Lambda-[Co(tac)_3]^{3+}$ に対して選択性により強い相互作用を示す。一方、SP-セフアテックスオラム

にあり $[Co(en)_3]^{3+}$ を L-タルトラトアンチモン酸ナトリウム水溶液と溶離した時少しあくに部分分離が行なわれ、 $[Co(en)_3]^{3+}$ が先に溶離される。⁷¹⁾ このことは L-タルトラトアンチモン酸イオンは L-酒石酸イオンとは異り $[Co(en)_3]^{3+}$ に対する選択性的により強い相互作用をもつことを示すものである。

こゝのことが L-タルトラトアンチモン酸イオンは L-酒石酸イオンとは異なる機構により $[Co(Aar)(en)_2]^{2+}$ とのイオン対を形成すると見えるのが妥当であろう。L-タルトラトアンチモン酸イオンではすべての水酸基（カルボキシル基も含め）がアンチモン(IV)イオンに配位している、⁷²⁾ 水素結合には関与しないことからも上述べたことはありうるであろう。

4. 結論

サルコシナトビス(エチレンジアミン)コバルト(IV)錯体の理論的に可能な四種の異性体はすべて実際に存在し、水溶液中ではこゝが平衡混合物となることが明らかになった。そしてこゝの四種の異性体は (+)-ブロモオクタースルフォン酸塩を用いる方法、ジアステレオマー法、SP-セフデシクスカラムを用いるクロマトグラフ法を合せることによつてすべてを分離、分

割合を算出したところができた。

算出した各異性体は水溶液中でコバルト原子のまわりの絶対配置を保持した状態で、サルコシナトの窒素原子のまわりの絶対配置の反転（エピ化； 30.0°C の速度、 $7.32 \times 10^4 \text{ M}^{-1}\text{s}^{-1}$ ）を起こし窒素原子のまわりの絶対配置だけを異にする別の異性体との平衡混合物となる。このことは $[\text{Co}(\text{sal})(\text{en})_2]^{2+}$ の異性現象に関する Meisenheimer による最初の指摘が正しいことを示すものである。

平衡時における異性体の濃度比は 25°C における $\Delta - [\text{Co}(\text{R-sal})(\text{en})_2]^{2+} : \Delta - [\text{Co}(\text{S-sal})(\text{en})_2]^{2+} = 15.2 : 84.8$ ($\Delta G = 4.26 \text{ kJ mol}^{-1}$) となった。ここでは前者の異性体すなわち $\Delta - [\text{Co}(\text{R-sal})(\text{en})_2]^{2+}$ ($\Delta(\text{R})$) と $\Lambda - [\text{Co}(\text{S-sal})(\text{en})_2]^{2+}$ ($\Lambda(\text{S})$) が今回はじめて存在が確認された。算出したものである。これらの異性体の存在はラセミ体水溶液の ^{13}C NMR スペクトルの測定からも確認できた。

存在比の小さることからわかるように $\Delta(\text{R})$ と $\Lambda(\text{S})$ の両異性体は他の異性体に比べて不安定である。これは主としてサルコシナトのメチル基による分子内における立体障害のためにあることが吸収スペクトルと ^{13}C NMR スペクトルの測定から確かめられた。

また $[\text{Co}(\text{sal})(\text{en})_2]^{2+}$ 錠体の CD スペクトルはコバルト原子のまわりのキラリティーからの寄与（配置効果）と、配位したことによ

この生ずるサルコシナトの窒素原子のまわりのキラリティーからの寄与（隣接効果）との加成性により非常によく説明できた。

この錯体における $\Delta(R)$ と $\Lambda(S)$ の異性体の組はこれらの中の異性体である $\Delta(S)$ と $\Lambda(R)$ に比べて、存在比からもようやく明らかに不安定な構造をもつことがあるが、酸素酸イオンが水溶液中に共存する場合にはこの構造の安定化が起こるためにこれら異性体の存在比が増加する。たとえば 0.1M 硫酸ナトリウム中では Λ 異性体の存在比が約 18% にまで上昇した。また L-酒石酸ナトリウムが共存する場合には同様に存在比が増加すとともに $\Delta(R)$ と $\Lambda(S)$ の異性体の間の存在比に差が生じて存在比の関係は $\frac{\Lambda(S)}{\Lambda(R)} > \frac{\Delta(R)}{\Delta(S)}$ となった。このような陰イオン共存の効果をさばに L-酒石酸イオンによる $\Lambda(S)$ と $\Delta(R)$ の異性体に対する立体選択性はこれらの異性体が擬似三回軸方向の一方の側の $[Co(en)_3]^{3+}$ と類似した構造をもつことにから説明できた。すなはち、この側において $\Lambda(S)$ と $\Delta(R)$ の異性体はより安定なイオン対をつくることができる。されば、これらの陰イオンの共存する水溶液中ではこれらの異性体の構造が安定化されるのである。

IV. 文 献

- 1) A. Werner, *Ber.*, 45, 121 (1912).
- 2) S. F. Mason and B. J. Norman, *J. Chem. Soc.*, A 1966, 307.
- 3) Y. Saito, K. Nakatsu, M. Shiro, and H. Kuroya, *Acta Crystallogr.*, 8, 729 (1955); *Bull. Chem. Soc. Jpn.*, 30, 795 (1957).
- 4) H. Iwasaki and Y. Saito, *Bull. Chem. Soc. Jpn.*, 39, 92 (1966).
- 5) K. Ogino and U. Saito, *Bull. Chem. Soc. Jpn.*, 40, 826 (1967); K. Ogino, *ibid.*, 42, 447 (1969).
- 6) H. Yamatera and M. Fujita, *Bull. Chem. Soc. Jpn.*, 42, 3043 (1969).
- 7) H. Yoneda and T. Miura, *Bull. Chem. Soc. Jpn.*, 43, 574 (1970); *ibid.*, 45, 2126 (1972).
- 8) B. Norden, *Acta Chem. Scand.*, 26, 111 (1972).
- 9) D. H. Busch, *J. Am. Chem. Soc.*, 77, 2247 (1955).
- 10) "Inorg. Syntheses", Vol.VI, p.195 (1960).
- 11) "Inorg. Syntheses", Vol.VI, p.192 (1960).
- 12) P. K. Glasoe and F. A. Long, *J. Phys. Chem.*, 64, 188 (1960).
- 13) K. Mikkelsen and S. O. Nielsen, *J. Phys. Chem.*, 64, 632 (1960).
- 14) F. Basolo, J. W. Palmer, and R. G. Pearson, *J. Am. Chem. Soc.*, 82, 1073 (1960).
- 15) J. W. Palmer and F. Basolo, *J. Phys. Chem.*, 64, 778 (1960).
- 16) V. K. LaMer, *Chem. Revs.*, 19, 363 (1936).
- 17) H. Yoneda, K. Miyoshi, S. Suzuki, and T. Taura, *Bull. Chem. Soc. Jpn.*, 47, 1661 (1974).

- 18) H. Yoneda and T. Taura, *Chem. Letters*, 1977, 63.
- 19) J. W. Palmer and F. Basolo, *J. Inorg. Nucl. Chem.*, 15, 279 (1960).
- 20) T. H. Martin and B. M. Fung, *J. Phys. Chem.*, 77, 637 (1973).
- 21) S. Katayama and R. Tamamushi, *Bull. Chem. Soc. Jpn.*, 41, 606 (1968).
- 22) P. Flodin, "Dextran Gels and their Applications in Gel Filtration", Pharmacia, Uppsala, Sweden (1962).
- 23) Y. Yoshikawa and K. Yamasaki, *Inorg. Nucl. Chem. Letters*, 6, 523 (1970).
- 24) Y. Yoshikawa and K. Yamasaki, *Bull. Chem. Soc. Jpn.*, 45, 179 (1972).
- 25) F. R. Keene and G. H. Searle, *Inorg. Chem.*, 9, 2173 (1974).
- 26) R. Kuroda and Y. Saito, *Acta Crystallogr.*, B 30, 2126 (1974).
- 27) M. Iwata, K. Nakatsu, and Y. Saito, *Acta Crystallogr.*, B 25, 2562 (1969).
- 28) S. Sato and Y. Saito, *Acta Crystallogr.*, B 31, 1378 (1975).
- 29) H. L. Smith and B. E. Douglas, *Inorg. Chem.*, 5, 784 (1966).
- 30) E. J. Corey and J. C. Bailar, *J. Am. Chem. Soc.*, 81, 2620 (1959).
- 31) J. L. Sudmeier and G. L. Blackmer, *J. Am. Chem. Soc.*, 92, 5238 (1970); J. K. Beattie, *Accounts Chem. Revs.*, 4, 253 (1971).
- 32) J. L. Sudmeier, G. L. Blackmer, C. H. Bradley, and F. A. L. Anet, *J. Am. Chem. Soc.*, 94, 757 (1972).
- 33) E. N. Duesler and K. N. Raymond, *Inorg. Chem.*, 10, 1486 (1971).

- 34) J. E. Sarneski and F. L. Urbach, *J. Am. Chem. Soc.*, 93, 884 (1971).
- 35) F. P. Dwyer, F. L. Garvan, and A. Shulman, *J. Am. Chem. Soc.*, 81, 290 (1959).
- 36) T. A. Montzka, T. L. Pindell, and J. D. Matiskella, *J. Org. Chem.*, 33, 3993 (1968).
- 37) H. P. Jensen and F. Galsbol, *Inorg. Chem.*, 16, 1294 (1977), and the references cited therein.
- 38) M. Fujita, Y. Yoshikawa, and H. Yamatera, unpublished work.
- 39) Y. Kushi, M. Kuramoto, and H. Yoneda, *Chem. Letters*, 1975, 135.
- 40) R. Tsuchida, M. Kobayashi, and A. Nakamura, *Nippon Kagaku Zasshi*, 56, 1339 (1935); *Bull. Chem. Soc. Jpn.*, 11, 38 (1936); H. Kuroya, M. Aimi, and R. Tsuchida, *Nippon Kagaku Zasshi*, 64, 995 (1943).
- 41) G. Karagounis and G. Coumoulos, *Nature*, 142, 162 (1938).
- 42) R. C. Fay, A. Y. Girgis, and U. Klabunde, *J. Am. Chem. Soc.*, 92, 7056 (1970), and the references cited therein.
- 43) H. Krebs, J. A. Wagner, and J. Diewald, *Chem. Ber.*, 89, 1875 (1956).
- 44) B. E. Douglas and S. Yamada, *Inorg. Chem.*, 4, 1561 (1965).
- 45) H. Krebs and R. Rasche, *Z. anorg. u. allgem. Chem.*, 276, 236 (1954); H. Krebs, J. Diewald, H. Arlitt, and J. A. Wagner, *Z. anorg. u. allgem. Chem.*, 287, 98 (1956).
- 46) L. T. Taylor and D. H. Busch, *J. Am. Chem. Soc.*, 89, 5372 (1967).
- 47) G. R. Brubaker, J. I. Legg, and B. E. Douglas, *J. Am. Chem. Soc.*, 88, 3446 (1966).

- 48) Y. Yoshikawa and K. Yamasaki, *Inorg. Nucl. Chem. Letters*, 4, 697 (1968).
- 49) K. Kobayashi and M. Shibata, *Bull. Chem. Soc. Jpn.*, 48, 2561 (1975).
- 50) R. R. Judkins and D. J. Royer, *Inorg. Chem.*, 13, 945 (1974).
- 51) C. J. Hawkins, "Absolute Configuration of Metal Complexes", p.213, Wiley-Interscience, New York (1971).
- 52) M. Kojima, M. Fujita, and J. Fujita, *Bull. Chem. Soc. Jpn.*, 50, 898 (1977).
- 53) R. J. Geue and M. R. Snow, *J. Chem. Soc.*, A 1971, 2981; S. R. Niketic, K. Rasmussen, F. Woldbye, and S. Lifson, *Acta Chem. Scand.*, A 30, 485 (1976).
- 54) H. Kawaguchi, N. Yano, and S. Kawaguchi, *Bull. Chem. Soc. Jpn.*, 42, 136 (1969).
- 55) Y. Saito, T. Nomura, and F. Marumo, *Bull. Chem. Soc. Jpn.*, 41, 530 (1968).
- 56) P. G. Beddoe, M. J. Harding, S. F. Mason, and B. J. Peart, *J. Chem. Soc. Chem. Commun.*, 1971, 1283.
- 57) K. R. Butler and M. R. Snow, *Inorg. Chem.*, 10, 1838 (1971).
- 58) I. R. Jonasson, S. F. Lincoln, and D. R. Stranks, *Aust. J. Chem.*, 23, 2267 (1970).
- 59) J. Meisenheimer, L. Angermann, and H. Holsten, *Justus Liebigs Ann. Chem.*, 438, 261 (1924).
- 60) B. Halpern, A. M. Sargeson, and K. R. Turnbull, *J. Am. Chem. Soc.*, 88, 4630 (1966).
- 61) S. Larsen, K. J. Watson, A. M. Sargeson, and K. R. Turnbull, *J. Chem. Soc. Chem. Commun.*, 1968, 847.

- 62) D. A. Buckingham, S. F. Mason, A. M. Sargeson, and K. R. Turnbull, *Inorg. Chem.*, 5, 1649 (1966).
- 63) J. F. Blount, H. C. Freeman, A. M. Sargeson, and K. R. Turnbull, *J. Chem. Soc. Chem. Commun.*, 1967, 324.
- 64) R. H. Holm and E. H. Abbott, "Coordination Chemistry, Vol. I", A. E. Martell, Ed., Van Nostrand Reinhold Co., New York, 1971.
- 65) B. F. Anderson, D. A. Buckingham, G. I. Gainsford, G. B. Robertson, and A. M. Sargeson, *Inorg. Chem.*, 14, 1658 (1975).
- 66) C. T. Liu and B. E. Douglas, *Inorg. Chem.*, 3, 1356 (1964).
- 67) K. D. Gailey, K. Igi, and B. E. Douglas, *Inorg. Chem.*, 12, 2956 (1972).
- 68) D. A. Buckingham, J. Dekkers, A. M. Sargeson, and M. Wein, *Inorg. Chem.*, 12, 2019 (1973).
- 69) D. A. Buckingham, L. G. Marzilli, and A. M. Sargeson, *J. Am. Chem. Soc.*, 89, 5133 (1967).
- 70) M. Saburi and S. Yoshikawa, *Inorg. Chem.*, 9, 1890 (1968); G. W. Svetich, A. A. Voge, J. G. Brushmiller, and E. A. Berends, *J. Chem. Soc. Chem. Commun.*, 1972, 70.
- 71) Y. Yoshikawa and K. Yamasaki, unpublished work.
- 72) B. Kamenar, D. Grdenic, and C. K. Prout, *Acta Crystallogr.*, B 26, 181 (1970).

副 論 文

- 1) "Hydrogen-Deuterium Exchange of Several Optically Active Complexes of Cobalt(III) in D₂O Solutions",

Hideo Yamatera and Miho Fujita,

Bull. Chem. Soc. Jpn., 42, 3043 (1969).

- 2) "Preparation of Optically Active Cation Exchangers with L-Tartrate Groups and its Application to the Resolution of [Co(en)₃]³⁺ Ion",

Miho Fujita, Yuzo Yoshikawa, and Hideo Yamatera,

Chem. Letters, 1974, 1515-1518 (1974).

- 3) "Highly Efficient Chromatographic Resolution of [Co(en)₃]³⁺ Ion with a Column of TA(ES)-Sephadex Containing D-Tartrate Groups",

Miho Fujita, Yuzo Yoshikawa, and Hideo Yamatera,

Chem. Letters, 1975, 473-474 (1975).

- 4) "Enantiomers of Tris(trimethylenediamine)cobalt(III) Ion of 100% Optical Purity: Preparation and Circular Dichroism Study",

Miho Fujita, Yuzo Yoshikawa, and Hideo Yamatera,

J. Chem. Soc. Chem. Commun., 1975, 941-942 (1975).

- 5) "The Structure of Ion-pairs of Λ - and Δ -[Co(en)₃]³⁺ Ions with L-Tartrate and Related Anions as Deduced from Circular Dichroism Spectra",

Miho Fujita and Hideo Yamatera,

Bull. Chem. Soc. Jpn., 49, 1301-1303 (1976).

- 6) "Column-chromatographic Study on the Isomerism of the Bis(ethylenediamine)sarcosinatocobalt(III) Ion with Two Asymmetric Centers",
 Miho Fujita, Yuzo Yoshikawa, and Hideo Yamatera,
Chem. Letters, 1976, 959-962 (1976).
- 7) "Association Constants of Optically Active $[\text{Co}(\text{en})_3]^{3+}$ with (+)-Tartrate and Fumarate Ions Determined from the Kinetic Data of Hydrogen-Deuterium Exchange",
 Miho Fujita and Hideo Yamatera,
Bull. Chem. Soc. Jpn., 50, 2672-2673 (1977).
- 8) "Four Isomers of the Bis(ethylenediamine)sarcosinatocobalt(III) Ion: Separation, Identification, and Characterization",
 Miho Fujita, Yuzo Yoshikawa, and Hideo Yamatera,
Bull. Chem. Soc. Jpn., 50, 3209-3215 (1977).

参考論文

- 1) "化合物中の酸性水素(D_2O と交換可能な水素)の分光光度定量法",
 山寺秀雄, 藤田美保, 永井進
日本化学会誌, 92卷, 182-183 (1971)。
- 2) "化合物中の活性水素の定量",
 山寺秀雄, 藤田美保, 分析機器, 11卷, 59-64 (1973)。

- 3) "High-speed Liquid Chromatography of Metal Complexes",
Yuzo Yoshikawa, Masaaki Kojima, Miho Fujita, Masayasu Iida,
and Hideo Yamatera,
Chem. Letters, 1974, 1163-1166 (1974).
- 4) "Circular Dichroism Studies of a Series of (Ammine) [(*RR*)-
2,4-pentanediamine]cobalt(III) Complexes",
Masaaki Kojima, Miho Fujita, and Junnosuke Fujita,
Bull. Chem. Soc. Jpn., 50, 898-906 (1977).

謝 辞

本研究に対し終始御指導をいただきました山寺秀雄教授と
して多くの有意義な御助言をいただきました吉川雄三博士に深く
感謝します。また、円偏光二色性スペクトル等の測定に御便宜を
はかりましたと同時に、本論文の内容に関する御助言をいた
だきました藤田純之祐教授に感謝します。